République Algérienne Démocratique et Populaire Ministère de l'Enseignement Supérieur et de la Recherche Scientifique Université A.MIRA-BEJAIA



Faculté des Sciences de la Nature et de la Vie Département de Microbiologie

Mémoire

Présenté Par

Mr **BOUSSAA Abdelhalim** Pour løobtention du diplôme de Magister

Filière: Biologie

Option: Microbiologie Appliquée aux Substances Antimicrobiennes

Thème

Séparation des composés phénoliques de *Pulicaria* odora par chromatographie et étude de leurs activités antimicrobiennes

Soutenu le : 23/06/2013 Devant le jury composé de :

Mr. BENALLAOUA Said Professeur **UAM** Bejaia Président M^{me} BEDJOU Fatiha Professeur **UAM** Bejaia Rapporteur Mr TOUATI Abdelaziz Professeur UAM Bejaia Examinateur M^{me} BENABDESSLAM Fadila Professeur UAM Bejaia Examinatrice Mme OUKIL Naima M.C.B UAM Bejaia Invitée

Année Universitaire: 2012/2013



Remerciements

Mes remerciements søadresse en premier lieu à Mme Bedjou Fatiha membre du laboratoire de biotechnologie végétale et ethnobotanique pour avoir accepté de superviser ce travail; mais également pour la confidence quøil møa témoigné et la liberté quøil møa accordé tant dans le choix du sujet que dans la prise døinitiatives. Quøil reçoive løexpression de ma vive gratitude.

Je souhaite remercier également Mme Oukil Naima pour mœavoir accueilli au sein de son laboratoire.

Je remercie Mr Benallaoua Said professeur à løuniversité A.M de Béjaia qui møa fait løhonneur de présider ce jury.

Egalement, je remercie les membres de jury; Mr Touati Abdelaziz maitre de conférences A à løuniversité A.M. de Bejaia et Mme Benabdesslam Fadila maitre de conférences A à løuniversité A.M. de Bejaia, pour le temps quøils ont bien voulu consacrer à lire et à juger ce travail en tant quøexaminateurs.

Je remercie Mme Oukil Naima maitre de conférences B à løuniversité A.M. de Béjaia qui a bien voulu apporter une appréciation à ce mémoire et être parmi les membres du jury.

Je remercie Mr Idoui Tayeb professeur à lœuniversité de Jijel pour me permettre de faire une analyse par HPLC.

Je remercie également Mme Makhlouf Hassina responsable de la P.G de la FSNV ainsi que tous mes collègues de l'université A.M. pour løaide quøils møont apporté et leur soutien pendant ces deux années de formation.

Il mœst particulièrement agréable dæxprimer mes remerciements au Dr Touati, chef de Département de microbiologie pour mœavoir procuré leur aide matériel.

Ma profonde reconnaissance à Mr Bensaid et Mlle Bouktite pour leurs précieuses formations en analyse des données et techniques døanalyses biologiques.

Un immense merci également aux ingénieurs de laboratoire dont je citerai, Mme Guechtal, Mme Azil, Mme Galloul, Mlle Belhadi, Mr Bouchenoua, Mr Amrouche, Mme Rahmani, Mme Kharbachi (université de Bejaia), Bouhali Souhila, Mme Roula Massikaet et Wasina (Université de Jijel).

Mes grands remerciements søadressent à Boucheffa Karima, Guellel Drifa et Aroune Nadia.

Je fini par remercier toute personne que je n¢ai pas cité, ayant contribué de près ou de loin à la réalisation de ce travail.

Liste des abréviations

CGP: Chromatography en phase gazeuse.

HPLC: High Performance Liquid Chromatography.

UV: Ultra-violet.

DI: Diamètre Interne.

: coefficient døabsorption molaire.

RMN: Résonance magnétique nucléaire.

CCM: Chromatographie sur couche mince.

DCVC: Dry column vacuum chromatography.

R*f* : Rapport frontale.

mg Eq AG: milligramme équivalent løAcide gallique.

mg EQ: milligramme équivalent la quercétine.

DMSO: Diméthyle sulfoxyde.

CMI: Concentration minimale inhibitrice.

CMB: Concentrations minimales bactéricides.

CMF: Concentrations minimales fongicides.

HSD: Honestly significant difference.

Liste des tableaux

| Tableau I : Taxonomie de <i>Pulicaria odora</i> í í í í í í í í í í í í í í í í í í | 5 |
|--|------|
| Tableau II : Composition de løhuile essentielle de Pulicaria odoraí í í í í í í í í | 9 |
| Tableau III: Gradient descendant du système délutioní í í í í í í í í í í í í í í í í í í | 37 |
| Tableau IV: Résultats de løactivité antibactérienne des différents extraits de Pulicaria | |
| odoraí í í í í í í í í í í í í í í í í í í | 42 |
| Tableau V: Résultats de leactivité antifongique des différents extraits de Pulicaria | |
| odoraí í í í í í í í í í í í í í í í í í í | 44 |
| Tableau VI: Les concentrations minimales inhibitrices, bactéricides et fongicides de | |
| løextrait éthanolique à 100% de <i>Pulicaria odora</i> . | 45 |
| Tableau VII: Résultats de la séparation des composés phénoliques de Pulicaria odora | |
| par CCMí í í í í í í í í í í í í í í í í í | 47 |
| Tableau VIII: Activité antibactérienne des fractions récupérées par chromatographie | |
| sous vide sur colonne sèche, de l\(\phi\) extrait de <i>Pulicaria odora</i> | 49 |
| Tableau IX: Identification de quelques composés phénoliques de <i>Pulicaria odora</i> , en | |
| utilisant des standardsí í í í í í í í í í í í í í í í í í í | 50 |
| Tableau X : Résultats de løanalyse par HPLC de la fraction active Ií í í í í í í í í . | 51 |
| Tableau XI: Résultats de løanalyse par HPLC de la fraction active IIí í í í í í í í í | .51 |
| Tableau XII : Résultats de løanalyse par HPLC de la fraction active IIIí í í í í í í í í | 51 |
| Tableau XIII: Résultats de løanalyse par HPLC de la fraction active IVí í í í í í í | .51 |
| Tableau XIV: Lignes directrices sur les paramètres de taille et volume pour la | |
| chromatographieí í í í í í í í í í í í í í í í í í í | xe I |
| Tableau XV: Résultats du rendement de extractioní í í í í í í í í í ííAnnex | e II |
| Tableau XVI: Résultats du dosage des polyphénols totauxí í í í í í í í íAnnexe | e II |
| Tableau XVII: Résultats du dosage des flavonoïdesí í í í í í í í í í í í í í í í í í í | e II |
| Tableau XVIII : Résultats de loactivité antimicrobienne vis-à-vis do E. colií í í í . Annexo | e II |
| Tableau XIX : Résultats de loactivité antimicrobienne vis-à-vis de <i>P.aeruginosa</i> í .Annexo | e II |
| Tableau XX : Résultats de loactivité antimicrobienne vis-à-vis de <i>S. aureus</i> í í //í Annexe | e II |
| Tableau XXI: Résultats de løactivité antimicrobienne vis-à-vis de L.innocuaí íAnnexe | e II |
| Tableau XXII : Résultats de loactivité antimicrobienne vis-à-vis do A. flavusí í í . Annexe | lI ė |
| Tableau XXIII : Résultats de loactivité antimicrobienne vis-à-vis do A.nigerí í íAnnexo | |
| Tableau XXIV: Résultats de loactivité antimicrobienne vis-à-vis de <i>T. reeseií í í</i> .Annexo | e II |

Liste des figures

| Figure 1: Capitule avec bractéesí í í í í í í í í í í í í í í í í í í | 3 |
|---|-------|
| Figure 2: Type døinflorescence de la famille des Astéracéesí í í í í í í í í í í | 4 |
| Figure 3 : Pulicaria odoraí í í í í í í í í í í í í í í í í í í | 5 |
| Figure 4 : Structure du 2-isopropyl-4-methyl et de løacide isobutirique-2-isoproopyl-4- | |
| methyl-phenylester, isolés à partir de løhuile essentielle de Pulicaria odoraí í í í í | 8 |
| Figure 5 : Dispositifs de la chromatographie sous vide sur colonne sècheí í í í í | 25 |
| Figure 6 : Photos de Pulicaria odora dans son milieu naturelí í í í í í í í í í í | 27 |
| Figure 7: Schéma de extraction des composés phénoliques í í í í í í í í í í í í í í í í í í í | 28 |
| Figure 8: Dosage des polyphénols totauxí í í í í í í í í í í í í í í í í í í | 29 |
| Figure 9 : Schéma du dosage des flavonoïdesí í í í í í í í í í í í í í í í í í í | 30 |
| Figure 10 : Schéma du test døactivité antimicrobienneí í í í í í í í í í í í í í | 31 |
| Figure 11: Schéma de détermination des concentrations minimales inhibitrices (CMI) | 32 |
| Figure 12: Détermination des concentrations minimales bactéricides CMB et | |
| fongicides CMFí í í í í í í í í í í í í í í í í í í | 32 |
| Figure 13 : Séparation des composés phénoliques par CCMí í í í í í í í í í í | 34 |
| Figure 14 : Dispositif utilisé pour la chromatographie sous vide sur colonne sècheí | 35 |
| Figure 15: Tassement de du gelí í í í í í í í í í í í í í í í í í í | 35 |
| Figure 16: Colonne sèche prête à løutilisationí í í í í í í í í í í í í í í í í í í | 36 |
| Figure 17: Pré-élution de la colonneí í í í í í í í í í í í í í í í í í í | 37 |
| Figure 18 : Elution des composés phénoliquesí í í í í í í í í í í í í í í í í í í | 38 |
| Figure 19 : Rendement de extraction des composés phénoliques de <i>Pulicaria odora</i> í | 38 |
| Figure 20 : Teneur en polyphénols totaux des différents extraits de <i>Pulicaria odoraí</i> | 39 |
| Figure 21 : Teneur en flavonoïdes des différents extraits de $Pulicaria\ odorai\ i\ i\$ | 41 |
| Figure 22 : Zones døinhibition de læxtrait éthanolique à 100% de <i>Pulicaria odora</i> í | 43 |
| Figure 23 : Quelques plaques CCM révélées par UV à 365 nmí í í í í í í í í í | 48 |
| Figure 24 : Quelques plaques CCM révélées par UV à 254 nmí í í í í í í í í í | 48 |
| Figure 25: Chromatogramme de la fraction active Ií í í í í í í í í í í í í í í í í í í | 51 |
| Figure 26 : Chromatogramme de la fraction active IIí í í í í í í í í í í í í í í í í í | 52 |
| Figure 27 : Chromatogramme de la fraction active IIIí í í í í í í í í í í í í í í í í í | 53 |
| Figure 28 : Chromatogramme de la fraction active IVí í í í í í í í í í í í í í í í í í í | 53 |
| Figure 29 : Courbe détalonnage des polyphénols totauxí í í í í í í í í í . Annexe | |
| Figure 30 : Courbe détalonnage des flavonoïdesí í í í í í í í í íí í íAnnexe | e III |

Liste des abréviations Liste des tableaux Liste des figures

SOMMAIRE

| Introductioní í í í í í í í í í í í í í í í í í í |
|---|
| Synthèse bibliographique |
| Chapitre I: Pulicaria odoraí í í í í í í í í í í í í í í í í í í |
| Chapitre II : Activités biologiques des composés phénoliquesí í í í í í í í í í í10 |
| II. 1. Rôles biologiques des composés phénoliques dans la planteí í í í í í í í í í í í í í í í í í í |
| Etude expérimentale |
| Matériel et méthodes |
| I. Matériel végétalí í í í í í í í í í í í í í í í í í í |

| V. 2. Chromatographie sur sous vide colonne sèche í í í í í í í í í í í í í í í í í í í |
|--|
| V. 2. 1. Préparation de la colonneí í í í í í í í í í í í í í í í í í í |
| V. 2. 2. Application de løéchantilloní í í í í í í í í í í í í í í í í í í |
| V. 2. 3. Préparation de la phase mobileí í í í í í í í í í í í í í í í í í í |
| V. 3. Analyse des fractions actives par HPLCí í í í í í í í í í í í í í í í í í í |
| $\pmb{VI.} Analyses statistiques \'i $ |
| |
| Résultats et discussion |
| I. Rendement de løextraction des composés phénoliquesí í í í í í í í í í í í í í í í í í í |
| II. Analyse phytochimiqueí í í í í í í í í í í í í í í í í í í |
| II. 1. Dosage des polyphénols totauxí í í í í í í í í í í í í í í í í í í |
| II. 2. Dosage des flavonoïdesí í í í í í í í í í í í í í í í í í í |
| III. Etude de l¢activité antimicrobienneí í í í í í í í í í í í í í í í í í |
| II. 1. Etude de løactivité antibactérienneí í í í í í í í í í í í í í í í í í |
| III. 2. Etude de løactivité antifongique í í í í í í í í í í í í í í í í í í í |
| III.3. Détermination des concentrations minimales inhibitrices, bactéricides et fongicidesí 40 |
| IV. Séparation des composés phénoliquesí í í í í í í í í í í í í í í í í í í |
| IV. 1. Détermination du meilleur système de séparation par CCMí í í í í í í í í á 42 |
| IV. 2. Chromatographie sous vide sur colonne sècheí í í í í í í í í í í í í í í í í í í |
| IV. 3. Analyse des fractions actives par HPLCí í í í í í í í í í í í í í í í í í í |
| IV. 3. 1. Le chromatogramme de la fraction active Ií í í í í í í í í í í í í í í í í í í |
| IV. 3. 2. Le chromatogramme de la fraction active IIí í í í í í í í í í í í í í í í í í |
| IV. 3. 3. Le chromatogramme de la fraction active IIIí í í í í í í í í í í í í í í á í á |
| IV. 3. 4. Le chromatogramme de la fraction active IVí í í í í í í í í í í í í í í í 49 |
| Conclusioní í í í í í í í í í í í í í í í í í í |
| Références bibliographiquesí í í í í í í í í í í í í í í í í í í |

Annexes

INTERVET SERVE

La maîtrise des infections bactériennes devient complexe du fait que de nombreuses bactéries ont développé une résistance à la plupart des antibiotiques ce qui a constitué un problème de santé important à løcchelle mondiale.

Cependant, il y a une préoccupation concernant les effets indésirables des molécules synthétiques destinées à la lutte contre les infections bactériennes. Il semble donc important de trouver une alternative à løutilisation des antibiotiques classiques.

Les remèdes à base de plantes constituent une alternative dans les systèmes de soins primaires et donc, une voie prometteuse pour le développement des médicaments utilisés traditionnellement et améliorés. Pour en faire des molécules utilisables en thérapeutique (Al-Hazimi et Al-khatan, 1992).

Actuellement, løintérêt pour les extraits des plantes grandit considérablement, ceci est dû à : la prise de conscience publique, qui va grandissante, à propos de løabus de løutilisation anarchique des antibiotiques qui induit à løapparition rapide de résistance, les effets indésirables vis-à-vis de certains produits synthétiques, le cout élevé des nouvelles génération døantibiotiques, la pollution environnementale due à la non biodégradation des substances synthétiques comparées aux substances naturelles (El-Seedi et al., 2013).

Notre travail est consacré à une plante médicinale locale *Pulicaria odora*, utilisée traditionnellement par la population maghrébine pour soulager certaines affections (plaies, blessures, ulcère gastrique).

Plusieurs activité biologiques ont été rapportées de quelques espèces du genre *Pulicaria*, tel que la cytotoxicité de *Pulicaria crispa* et *Pulicaria orientalis* (Al-Yahya et al., 1988; Awadh et al., 2001), activité antibactérienne de *Pulicaria undulata* et *Pulicaria dysenterica* (El-Kamali et al., 1998; Bahman et al., 2002), activité antispasmodique de Pulicaria glutinosa (Tanira et al., 1996), et læffet antihistaminique de *Pulicaria dysenterica* (Mahfouz et al., 1973). Ainsi que deux études sur læctivité antibactérienne de løhuile essentielle de *Pulicaria odora* (Ezoubeiri et al., 2005; Hanbali et al., 2005).

Ce travail et la première étude consacrée pour lœvaluation de lœactivité antimicrobienne des composés phénoliques de *Pulicaria odora*.

Ce mémoire søarticule en deux parties :

La première partie est consacrée à une synthèse bibliographique contenant trois chapitres, dont le premier décrit le matériel végétal étudié à savoir *Pulicaria odora*, son utilisation et sa composition.

Le deuxième chapitre explique les différentes activités biologiques des composés phénoliques.

Le troisième chapitre est consacré aux techniques de séparation des composés phénoliques qui sont utilisés au cours notre étude.

La deuxième partie est consacrée à une étude expérimentale divisée en trois parties :

La première est l\(\prescript{\alpha}\) analyse phytochimique qui s\(\prescript{\alpha}\) intéresse \(\alpha\) la d\(\text{determination des taux des polyph\(\text{polyph\(\end{a}\) noiëdes.} \)

La deuxième partie est consacrée à lœstimation de lœstivité antimicrobienne avec la détermination des CMI, CMB et CMF.

La troisième partie est consacrée à la séparation des composés phénoliques par CCM, puis sur colonne sèche sous vide, avec une analyse par RP-HPLC des fractions actives.

SINTESE BIBLICCRAPHIQUE

ENTER ENTER E

Chapitre I : Pulicaria odora

Pulicaria est un genre appartenant à la famille des Astéracées, contenant plus de 77 espèces à travers le monde (**Algabr et al., 2012**). De manière générale, ce genre nœst pas homogène du point de vue chimique. Toutefois, les sesquiterpènes et les flavonoïdes sont les produits les plus communs chez les espèces de *Pulicaria* déjà étudiées (**Al-Hazimi et Al-khathlan, 1992**).

I. 1. Présentation de la famille Asteraceae

Les Astéracées représentent 8 to 10% des espèces døangiospermes, avec 1600-1700 genres, environ 24000 espèces (**Petacci et al., 2012**).

Les plantes de la famille des astéracées sont principalement des herbes, vivaces (tubéreuses) ou non, mais aussi des arbustes ou sous-arbrisseaux, parfois des arbres, rarement des plantes aquatiques ou des plantes grimpantes ou des épiphytes (Gaussen et al., 1982). Les feuilles sont alternes, opposées ou basilaires, simples ou composées. Les inflorescences sont en capitule (s), simulant une fleur unique entourée de bractées formant loinvolucre (Fig. 1) (Timbal et al., 1989).

Les fleurs sont tubulées actinomorphes ou ligulées zygomorphes (**Fig. 2**). Elles sont hermaphrodites ou unisexuées. Le calice est réduit avec un réceptacle du capitule nu, ou avec des paillettes entre les fleurs (**Timbal et** *al.*, **1989**).



Figure 1 : Capitule avec bractées (Timbal et al., 1989).

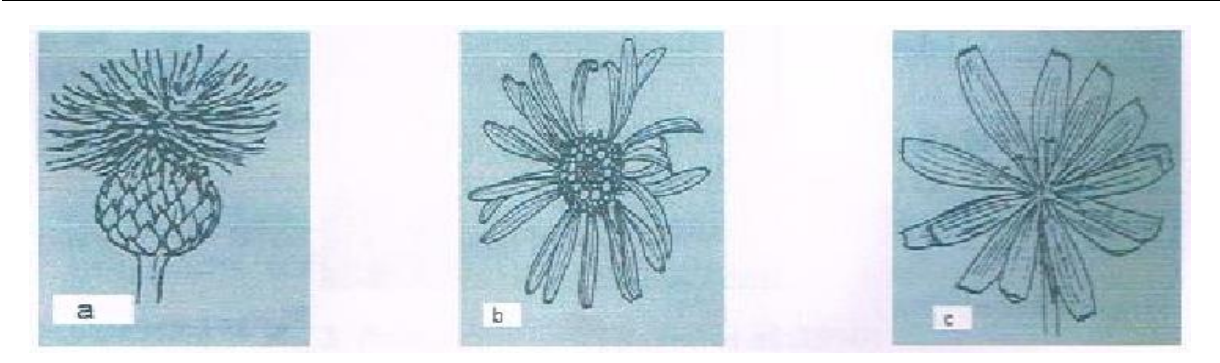


Figure 2 : Type døinflorescence de la famille des Astéracées. (a) fleurs toutes tubulées, (b) fleurs ligulées autour, tubulées au centre, (c) fleurs toutes ligulées (Timbal et al., 1989).

I. 2. Description de Pulicaria odora

I. 2. 1. Description botanique

Pulicaria est une plante vivace à tige atteignant 20 à 90 cm de haut, dressée, simple ou rameuse au sommet. Elle est peu odorante malgré son nom, velue ou laineuse à souche tubériforme et émettant des fibres épaisses mais non des rejets (**Quezel et Santa**, **1963**).

Pulicaria non pas de stolons, des tiges plus ou moins à poils laineux, simples ou ramifiées, scarieuses, des feuilles basales à pétiole court, ovoïdes, pointues, verte en floraison. Les feuilles de la tige sont alternes, allongées, à demi engainantes, les feuilles inferieures auriculées, à dents glanduleuses, face supérieure verte, rugueuse, inferieure gris laineux. Les capitules sont isolés ou groupés par quelques-uns, 2-3 cm de large, à demi sphérique, pédoncule 3-15 cm de long, en haut épaissi, à bractées, involucre sur plusieurs rangées. Les feuilles de loinvolucre sont linéaires, pointues, plus au moins laineuses et glanduleuses. Les fleurs sont linguiformes jaune or, dépassant loinvolucre de 8mm, à tube jaune (Fig. 3). Les fruits vont jusquoà 1,8 mm de long, entourés à la base doune petite corolle membraneuse (Bayer et al., 1990).



Figure 3: Pulicaria odora (Bayer et al., 1990).

I. 2. 2. Nomenclature et classification

Selon Emberger et Chadefaud (1960), le genre *Pulicaria* appartient à la famille des composteae, tribu des Inuleae qui contient 100 espèces (**Ezoubeiri et al., 2005**).

Cette plante est connue au Maroc sous le nom døOuden El hallouf (**Hanbali et al., 2005**). En Algérie, exactement en petite Kabylie, elle est connue sous le nom de ¿Ouden eønadjaø, cependant le nom ¿Ouden El halloufø est destiné pour une autre plante non utilisée traditionnellement.

Nomenclature binomiale: Pulicaria odora (L.) Rchb (Quezel et Santa, 1963).

Nom commun : Pulicaire odorante.

Nom Kabyle : Amzough nøixsi.

La taxonomie de Pulicaria odora est résumée dans le tableau I.

Tableau I : Taxonomie de *Pulicaria odora*.

| Règne | Plantae | |
|----------|---------------------------|--------------------------|
| Division | Magnoliophyta | (Takht et Zimmerm, 1996) |
| Classe | Rosopsida | (Jenens, 1788) |
| Ordre | Asterales | (Lindl, 1833) |
| Famille | Asteraceae | (Dumort, 1822) |
| Genre | Pulicaria | (Gaertn, 1822) |
| Espèce | Pulicaria odora (L.) Rchb | |

I. 2. 3. Habitat et répartition géographique

Pulicaria odora est une plante qui colonise les maquis, clairières et les essarts (Bayer et al., 1990). Cette plante se trouve dans les lieux frais de la région méditerranéenne, Alpes-Maritimes, Var, Bouches-du-Rhône, Pyrénées-Orientales, Corse, mais aussi en Espagne, Portugal, Italie et Afrique septentrionale. Cæst une plante qui accepte quelques variations climatiques comme l'ensoleillement. Elle tolère aussi la variation de la texture du sol et la variation de pH (Bayer et al., 1990). En Algérie elle se trouve dans les lieux frais particulièrement dans la grande et petite Kabylie.

I. 2. 4. Utilisation traditionnelle

Pulicaria odora est une plante médicinale couramment utilisée en médecine traditionnelle dans le nord-africain pour traiter les douleurs de dos, les troubles intestinaux et les crampes menstruelles. Elle est également utilisée pour soigner les blessures et surtout pour guérir løulcère gastrique.

Elle est aussi utilisée en Maroc comme remède traditionnelle appelé "Mssakhen", donné aux femmes après loaccouchement. Elle est considérée comme épice appréciée pour sa saveur pour parfumer le pain et la viande (Ezoubeiri et al., 2005). Selon Bellekhdar (1977), traditionnellement, les racines de cette plante sont utilisées pour leurs propriétés anti-inflammatoires (Hanbali et al., 2005).

I. 3. Substances bioactives de *Pulicaria odora*

De nombreuses recherches ont été menées sur les différentes espèces du genre *Pulicaria* pour évaluer la composition de leurs huiles essentielles. Cependant dans ce terme il yøn quøune seule étude menée sur *Pulicaria odora* (Hanbali et al., 2005).

Les travaux de Williams et al. (2003), ont conduit à la caractérisation et løsolement des flavonoïdes vasculaires et ceux de la surface des feuilles de *Pulicaria odora*. Une autre étude døEzoubeiri et al. (2005), qui est complémentaire à celle de Hanbali et al. (2005), a permis døsoler et caractériser deux nouveaux composés à partir de løhuile essentielle de *Pulicaria odora*, dont lønn est doué dønne forte activité antibactérienne.

Aucune étude nota été menée sur les polyphénols de *Pulicaria odora*, et leurs activités biologiques.

I. 3. 1. Huile essentielle de Pulicaria odora

Une étude réalisée par **Hanbali et al.** (2005), a montré que la distillation à la vapeur des racines de *Pulicaria odora* produit de løhuile jaune. Løanalyse par chromatographie en phase gazeuse couplée à la spectrométrie de masse (GC-MS) de cette huile essentielle a indiqué quœlle se compose døun mélange de plus de 70 composés, donc cinq non identifiés.

Cette étude a montré que løhuile de *Pulicaria odora* est riche en composés oxygénés, qui représentent 93,77% de løhuile. Le thymol (47,83%) et løisobutyrate thymol (30,05%) ont été les principaux constituants. La teneur élevée en composés oxygénés peut expliquer løodeur caractéristique et parfumée de løhuile essentielle de *Pulicaria odora* (**Hanbali et al., 2005**).

La composition de løhuile essentielle de *Pulicaria odora* est résumée dans le **tableau II.**La séparation sur colonne chromatographique de gel de silice par **Ezoubeiri et al.** (2005), a conduit à løisolement de deux composés purs avec un rendement de 20,26% et 61,93% respectivement (**Fig. 4**). La structure du premier composé correspond au 2-isopropyl-4-methyl et le deuxième composé est løacide isobutirique-2-isopropyl-4-methyl-phenylester.

Ce dernier représente le constituant majeur de løhuile essentielle de *Pulicaria odora*. Ces deux composés peuvent être considérés comme des isomères du thymol isolés pour la première fois à partir du genre *Pulicaria*. Certains dérivés du thymol ont été déjà signalés dans døautres espèces de *Pulicaria* (Ezoubeiri et al. 2005).

Figure 4 : Structure du 2-isopropyl-4-methyl et de løacide isobutirique-2-isoproopyl-4-methyl-phenylester, isolés à partir de løhuile essentielle de *Pulicaria odora* (**Ezoubeiri et** *al.* **2005**).

Des tests døactivité antibactérienne ont été effectués par la méthode de diffusion. Cela a montré que løhuile essentielle et le composé 2-isopropyl-4-methyl-phénol de *Pulicaria odora* possèdent une activité inhibitrice contre toutes les souches testées (*Escherichia coli*, *Staphylococcus aureus*, *Salmonella typhimurium*, *Vibrio cholerae*, *Streptococcus pyogenes* et *Candida albicans*), à løexception de *Pseudomonas aeruginosa*. Par contre le composé isobutirique-2-isopropyl-4-methyl-phenylester søest montré inactif vis-à-vis de toutes les souches testées (**Ezoubeiri et al. 2005**).

I. 3. 2. Les flavonoïdes de Pulicaria odora

Pulicaria odora diffère de toutes les autres espèces européennes étudiées par la production fortement élevée døune série de dérivés du 6-hydroxy-keampferol méthyle, qui est le principal flavonoïde des feuilles et des inflorescences, et un composé complémentaire méthylé : éther 3, 5, 6, 7, 4ø-penta-méthyl. Un autre composé qui est le 3, 7, 4ø-triméthyl de -hydroxy-keampferol ether a été aussi retrouvé dans les feuilles de Pulicaria odora en quantité suffisante. Mais seules des traces des dérivés de la quercetagetine ont été détectés (Williams et al., 2003).

Une analyse plus approfondie a montré que les glucosides de flavonols sont des constituants caractéristiques des flavonoïdes de *Pulicaria odora*, par contre aucun glucoside de flavone nøa été détecté. La quercétine 3-glucoronide est présente seulement sous forme de traces dans les inflorescences de cette plante (**Williams et al., 2003**).

Pulicaria odora est lœspèce unique qui est capable de produire le 7-glucoside de la patuletin (quercétine 6-méthyl ether), et le 6-hydroxy-keampferol ether, qui sont de couleur jaune, fluorescent à la lumière UV (Williams et al., 2003).

Tableau II : Composition de løhuile essentielle de Pulicaria odora (Hanbali et al., 2005).

| Composé | Indice de rétention | Pourcentage |
|------------------------|---------------------|-------------|
| Methylpropanoic acid | 648 | 4.46 |
| Methylbutanoic acid | 730 | 0.712 |
| -Pinene | 939 | 0.02 |
| Camphene | 954 | tr |
| Benzaldehyde | 960 | tr |
| 5-Methyl furfural | 964 | tr |
| 6-Methy-5-hepten-2-one | 986 | tr |
| -Myrcene | 992 | tr |
| -Phellandrene | 1006 | tr |
| -Terpinene | 1017 | tr |
| <i>p</i> -Cymene | 1026 | tr |
| -Phellandrene | 1030 | 0.01 |
| 1,8-Cineole | 1031 | 0.01 |
| Benzylalcohol | 1032 | tr |
| Artemesia ketone | 1062 | 0.02 |
| Cresol | 1076 | 0.02 |
| Linalool | 1100 | 0.01 |
| Camphor | 1149 | 0.03 |
| p-Cymene-8-ol | 1189 | 0.03 |
| -Terpineol | 1192 | 0.02 |
| Thymol | 1293 | 47.83 |
| Carvacrol | 1302 | 2.78 |
| Modhephene | 1384 | 0.05 |
| Episantalene | 1447 | 0.11 |
| -santalene | 1460 | 0.02 |
| Thymol isobutyrate | 1513 | 30.05 |
| Caryophyllene oxide | 1583 | 0.24 |

Activités biologiques des composés phénoliques

Chapitre II : Activités des composés phénoliques

II. 1. Rôles biologiques des composés phénoliques dans la plante

Ces composés phénoliques sont synthétisés par les plantes, pendant leur développement normale et en réponse à certaines conditions de stress, telles que les radiations UV et løinfection par des phytopathogènes (Heim et al., 2002; Dembitsky 2005; Naczk et Shahidi, 2006).

Løintégration du métabolisme phénolique dans le programme générale de développement døun organe végétal pose en elle-même la question døun rôle éventuel de ces substances. Il a été montré que les phénols seraient associés à de nombreux processus physiologiques : la croissance cellulaire, la différenciation organogène, la dormance des bourgeons, la floraison, la tubérisation. Ils sont impliqués lorsque la plante est soumise à des blessures et aboutissent à la formation au niveau de la blessure døun tissu cicatriciel résistant aux infections. La capacité døune espèce à résister à løattaque des insectes et des micro-organismes et souvent corrélée à la teneur en composés phénoliques (Bahorun, 1997).

II. 2. Propriétés pharmacologiques des composés phénoliques

Les composés phénoliques sont actuellement løbjet de nombreuses études car il sont reconnus pour leur différentes activités biologiques (**Trabelsi et al., 2010**), et ils sont rapportés pour des propriétés pharmacologiques intéressantes et variées, à savoir leurs propriétés anti-inflammatoires (**Vergé et al., 1999**), anticancéreuse (**Derbel et Ghadira, 2005**), anti athérosclérose (**Halliwell, 2008**), anti-agrégation plaquettaire (**Martin et Andriantsitohaina, 2002**), antiallergique (**Cevallo-Casals et Cisneros-Zevallos, 2010**), inhibitrice dænzymes (**Pietta 2000, Manthey et al., 2001**), antioxydants et anti-radicalaires (**Smail et al., 2010**), antivirale (**Nijveldt et al., 2001**), antifongique (**Harborne et Williams, 2000**) et antibactérienne (**Kuete et al., 2010**).

II. 3. Composés phénoliques et activité antimicrobienne

Løactivité de ces substances vis-à-vis des microorganismes peut søexercer selon des modalités extrêmement diverses. Certaines exercent leur activité en oxydant ou en dénaturant les protéines bactériennes (Shiota et al., 2004); døautres ont un pouvoir plus spécifique en altérant des structures membranaires ou en inactivant des composés ou des fonctions essentielles de la cellule (Awadh-Ali et al., 2001; Eldeen et al., 2005; Song et al., 2007).

De ce fait il sont bactéricides ou bactériostatiques selon les concentration (**De Bruyne et** *al.*, 1999 ; Alcaráz et *al.*, 2000).

En dehors de løinfluence du caractère lipophile de la molécule, løactivité antibactérienne des composés phénoliques, notamment les flavonoïdes, dépend essentiellement de la longueur, la ramification et la position de la chaine de substitution liée au noyau phénolique, mais aussi de la nature des substituants et du degré døencombrement du noyau phénolique (Basile et al., 1999; Alcaráz et al., 2000).

II. 3. 1. Activité antimicrobienne des acides phénoliques

Les plantes médicinales contenant des acides phénoliques se sont avérées efficaces contre les bactéries (Samy et Gopalakrishnakone, 2008). Les acides phénoliques (acide cinnamique, acide coumarique, acide caféique et férullique) ont montré une bonne activité contre les bactéries à Gram positif et seulement une faible activité contre les bactéries à Gram négatif (Escherichia coli, Salmonella enterica) à forte concentration (Rodrigeuz-Vaquero et al., 2007a).

Ces variations de sensibilité vis-à-vis des composés phénoliques purs peuvent refléter les différences au niveau structural de la surface des cellules entre les bactéries Gram positif et Gram négatif (**Puupponen-Pimi et** *al.*, **2005a**).

Les composés phénoliques purs et les différentes concentrations de trois variétés de vin ont été évalués pour leur effet sur la croissance de *Listeria monocytogenes*. Løacide caféique dérivé de løacide hydroxycinnamique, était le plus puissant inhibiteur de sa croissance (Puupponen-Pimi et al., 2005a; Rodrigeuz-Vaquero et al., 2007a,b).

Dans une étude menée par **Chanwitheesek et** *al.* (2007), løactivité antimicrobienne de løextrait éthanolique de *Caesalpinia mimosoides* est attribuée à la présence døune substance antimicrobienne active, løacide gallique, qui a montré une activité contre *Salmonella Typhi* et *Staphylococcus aureus* avec des valeurs de CMI de 2,5 et 1,25 mg/ml, respectivement. Løhydrophobicité partiel de løacide gallique lui permet døagir efficacement; en effet, il a perméabilisé la souche de *Salmonella* par déstabilisation de sa membrane externe, en chélatant les cations bivalents (**Puupponen-Pimi et** *al.*, 2005b).

Il est démontré que la position et le nombre de groupements OH des acides phénoliques sont déterminants pour leur activité antimicrobienne et proportionnels à leur toxicité (**Kuete et al.**,

2007). De plus, les phénols hautement oxydés, tels que les acides cinnamique et caféique, sont les plus toxiques (Cowan, 1999). Løacide gallique et løacide protocatéchique ont trois et deux groupements hydroxyles dans leurs structures, respectivement, alors que løacide vanillique a un seul groupement hydroxyle, et un groupement méthoxy. Le faible effet inhibiteur de løacide vanillique comparativement au acides gallique et protocatéchique pourrait être dû à cette substitution (Rodrigeuz-Vaquero et al., 2007b).

II. 3. 2. Activité antimicrobienne et mode døaction des quinones

La littérature rapporte la toxicité des quinones pour des microorganismes pathogènes (Beattie et al., 2010; Yu et al., 2010), par leur propriétés de tannage et døalkylation des protéines (Dietrich et Pour-Nikfardjam, 2009). En effet, une anthraquinone de Cassia italica, un arbre pakistanais, a montré un effet bactériostatique contre Bacillus anthracis, Corynebacterium pseudodiphtiricum et Pseudomonas aeruginosa, et bactéricide contre Pseudomonas pseudomalliae (Cowan, 1999). Løanthraquinone de Cassia occidentalis présente une activité antibactérienne contre Escherichia coli et Staphylococcus aureus (Yadav et al., 2009).

Les quinones peuvent se complexer irréversiblement avec des acides aminés nucléophiles des protéines, menant souvent à loinactivation de ces protéines et à la perte de leurs fonctions. Pour cette raison, les effets antimicrobiens des quinones sont élevés et les cibles probables dans la cellule microbienne sont; les adhésines exposées en surface, les polypeptides de la paroi cellulaire et les enzymes membranaires. Les quinones peuvent également rendre des substrats indisponibles aux microorganismes (Cowan, 1999).

Løeffet bactéricide des extraits de plantes nøa pas été entièrement compris ; on croit que les composés actifs exercent des effets toxiques direct sur les microorganismes pathogènes (Nikitina et al., 2007). Dans le cas des phénols, cependant, les effets chimiques et biologiques sont connus pour être dus au système redox ; phénol/semiquinone/quinone ayant comme conséquence la formation døune quinone plus active et døun radical intermédiaire semiquinone qui constitue la molécule de base responsable des effets chimiques et biologiques des composés phénoliques. Les quinones peuvent former des complexes et font intervenir des réactions chimiques variées (Nikitina et al., 2007). Pour cette raison, les

polyphénols et les produits de leur oxydation ont des propriétés inhibitrice dœnzymes (Nikitina et al., 2007).

Les hydroquinones et les quinones provenant dø*Ircinia spinulosa* ont été étudiées pour leur activité antimicrobienne. Par conséquent, des études sur la relation structure-activité ont indiqué que la longueur optimale de la chaine latérale des composés à activité antimicrobienne devrait être de 5-15 atomes de carbone, suggérant que løactivité maximale contre *Staphylococcus aureus* dépend du nombre døatomes de carbone dans la chaine hydrophobe, des configurations des groupements fonctionnels et des doubles liaisons (**Orhan** et *al.*, 2007).

II. 3. 3. Activité antimicrobienne et mode døaction des coumarines

Les propriétés antimicrobiennes et antivirales de plusieurs coumarines ont été rapportées (Wong et Kitts, 2006; Kuete et al., 2007; Samy et Gopalakrishnakone, 2008; Kong et al., 2010). Løassociation de løacide hydroxycinnamique aux coumarines semble avoir une activité inhibitrice des bactéries à Gram positif. Selon Cottiglia et al. (2001); quelques composés appartenant à cette classe montrent une activité vis-à-vis de Staphylococcus aureus, Bacillus lentus, Escherichia coli et Pseudomonas aeruginosa.

Kuete et al. (2007), ont conclu, døaprès une étude sur la relation structure-activité des coumarines, que le cycle supplémentaire « furo » augmente løactivité antimicrobienne des coumarines. De ce fait les coumarines à trois cycles ont une meilleure activité antimicrobienne que celles à deux cycles (Kuete et al., 2007).

Il a été rapporté que les furocoumarines interagissent avec løADN et interrompent sa réplication (Wong et Kitts, 2006). La photoréactivation des furocoumarines (psoralène) contenues dans les plantes par les rayonnements UV présente des activités mutagènes ou même létales sur des microorganismes fongiques ou bactériens. Løactivation des furocoumarines linéaires conduit tout døabord à des réactions de cycloaddition sur les carbones C-3, C-4 et/ou C-4ø C-5ø avec les bases pyrimidine de løADN ou løARN; ainsi, ils peuvent établir des liaisons croisées entre les paires de bases des acides nucléiques (Brunton, 1999). La duplication des brins døADN ainsi que la traduction des ARN sont alors bloquées. Løactivation des dérivés du psoralène conduit également à des cycloaddition sur les acides gras insaturés membranaires (Gravot, 2002). Løintercalation des psoralènes dans løADN est importante dans leurs effets photobiologiques (Dembitsky, 2008).

II. 3. 4. Activité antimicrobienne et mode døaction des flavonoïdes

Une des fonctions incontestées des flavonoïdes est leur rôle protecteur des plantes contre løinvasion microbienne. Ceci nøimplique pas seulement leur présence dans les plantes en tant quøagents constitutifs mais également leur accumulation comme phytoalexines en réponse à løattaque microbienne (Harborne et Williams, 2000; Peer et Murphy, 2006; Orhan et al., 2007).

La littérature rapporte que les flavonoïdes ont des cibles cellulaires multiples et peuvent viser différents composants et fonctions dans la cellule microbienne (Rodrigeuz-Vaquero et al., 2007b; Boban et al., 2010). Cushnie et Lamb (2005a), ont rapporté que les mécanismes antimicrobiens de plusieurs flavonoïdes pourraient être attribués à løinhibition de la synthèse des acides nucléiques, løinhibition de la fonction de la membrane cytoplasmique ou løinhibition du métabolisme énergétique.

Les flavonoïdes sont des substances antimicrobiennes efficaces conte une large gamme de microorganismes (Basil et al., 1999; Ghedira, 2005; Al-Momani et al., 2007; González-Segovia et al., 2008; Orhan et al., 2010). Leur activité est probablement due à leur capacité à se complexer avec les protéines extracellulaires et à se complexer avec la paroi bactérienne. Les flavonoïdes les plus lipophiles peuvent également perturber les membranes bactériennes (Cowan, 1999). Plusieurs études ont rapporté læffet inhibiteur de certains anthocyanines sur les bactéries (Lev-Yadun et Gould, 2009), et de la quercétine contre Helicobacter pylori in vitro (González-Segovia et al., 2008).

La rutine, forme glycolysée de la quercétine, est la plus active des flavonoïdes avec une activité anti-Listeria (Rodrigeuz-Vaquero et al., 2007b). Les flavones sont de forts inhibiteurs des bactéries à Gram négatif, alors que les flavonoïdes contenant deux ou trois groupements hydroxyles sur les cycles A et B sont plus actifs contre les bactéries à Gram positif (Orhan et al., 2010). Rauha et al. (2000), ont rapporté que la quercétine et la naringenine sont actives contre Staphylococcus aureus, Staphylococcus epidermidis, Bacillus subtilis, Micrococcus luteus, Escherichia coli et Pseudomonas aeruginosa.

Le degré døhydroxylation pourrait affecter løactivité des composés phénoliques. La myricétine ; flavonol (trois groupement hydroxyle sur le cycle B) était le seul composé qui a montré des effets inhibiteurs importants sur la croissance des bactéries lactiques provenant de løappareil gastro-intestinal humain, aussi bien que pour *Enterococcus faecalis* et

Bifidobacterium, par contre, les salmonelles noont pas été affectées (**Puupponen-Pimi et al.**, **2005a**). De ce fait, le nombre de groupements hydroxyles sur le cycle B des flavonols et des flavones semble être associé à locativité antimicrobienne (**Puupponen-Pimi et al.**, **2005a**).

Il est évident quønne relation structure-activité existe entre divers flavonoïdes et leurs activités antimicrobiennes dans la plupart des cas (**Orhan et al., 2007**). Une étude comparative avec døautre flavonoïdes a indiqué que la structure de base dønn flavonoïde avec un groupement hydroxyle libre en position 3, une double liaison entre 2 et 3, un groupement cétonique en position 4 et une structure qui permet au proton du groupement hydroxyle en position 3 de ce tautomériser en un composé 3-céto sont essentiels pour løactivité mutagénique des flavonols (**Ong et Khoo, 1997**). Døautre part, løactivité antimicrobienne de løepigallocatéchine (EGC) a été liée à la présence de résidus galloyls dans sa structure (**Taguri et al., 2006**).

Les résultats de lætude de **Tsuchiya et ses collaborateurs** (1996), ont indiqué que 2\\(\text{9}\) 4\(\text{9}\) ou 2\(\text{9}\) 6\(\text{9}\) dihydroxilation du cycle B et 5,7-dihydroxylation du cycle A dans la structure du flavonone étaient importantes pour l\(\text{pactivité}\) anti-MRSA. Alcar\(\text{az}\) et al. (2000) ont également rapport\(\text{e}\) l\(\text{mimportance}\) du groupement hydroxyle en position 5 des flavonones et des flavones contre cette m\(\text{e}\) me souche. De plus, ils affirment que les chalcones sont plus efficaces contre ces souches que les flavonones et les flavones, et que le groupement hydroxyle en position 2\(\text{\epsilon}\) est important pour leur activit\(\text{e}\) anti staphylococcique. Yamamoto et Ogawa (2002) ont rapport\(\text{e}\) que l\(\text{\epsilon}\) citivit\(\text{e}\) antibact\(\text{e}\) riemando et de la lut\(\text{e}\) lut\(\text{o}\) important pour leur activit\(\text{e}\) antibact\(\text{e}\) riemando et de la lut\(\text{e}\) lut\(\text{e}\) lut\(\text{e}\) important pour leur activit\(\text{e}\) antibact\(\text{e}\) antibact\(\text{e}\) in mortant pour leur activit\(\text{e}\) antibact\(\text{e}\) antibact\(\text{e}\) antibact\(\text{e}\) in mortant pour leur activit\(\text{e}\) antibact\(\text{e}\) antibact\(\text

Løaction des flavonoïdes sur la membrane cellulaire a été largement étudiée (**Ikigai et al.**, **1993**; **Tsuchiya et Iinuma**, **2000**; **Caturla et al.**, **2003**; **Cushnie et Lamb**, **2005b**; **Poklar Ulrih et al.**, **2010**). En effet, il a été démontré par Sato et ses collaborateurs que les chalcones 2, 4, 2øtrihydroxy-5ø méthylchalcone peuvent induire la fuite de substances qui absorbent à 260 nm chez *S. mutans*. Ces auteurs ont proposé que le 2, 4, 2øtrihydroxy-5ø méthylchalcone exerce son effet antibactérien en modifiant la perméabilité de la membrane cellulaire et en perturbant sa fonction (**Sato et al.**, **1997**).

Haraguchi et ses collaborateurs ont étudié le mode døaction antibactérien de deux rétrochalcones (licochalcones A et C) des racines du *Glycyrrhiza inflata* doués døune activité inhibitrice contre les Gram positif. Les licochalcones se sont avérés de forts inhibiteurs de la consommation de løoxygène chez les souches susceptibles, en plus ils ont démontré que les licochalcones A et C inhibent effectivement la NADH-cytochrome c réductase, mais pas le cytochrome c oxydase, NADH-CoQ réductase et NADH-FMN oxydoréductase. Donc ils ont suggéré que le site døinhibition de ces rétrochalcones est entre le CoQ et le cytochrome c dans la chaine de transport des électrons de la chaine respiratoire bactérienne (Haraguchi et al., 1998).

Mirzoeva et ses collaborateurs ont conclu que les flavonoïdes de propolis provoquent une augmentation de la perméabilité de la membrane bactérienne interne et une dissipation du potentiel membranaire (Mirzoeva et al., 1997). Le gradient électrochimique des protons de part et doautre de la membrane est essentiel pour que les bactéries maintiennent la capacité de synthèse doATP et le transport membranaire (Cushnie et Lamb, 2005a). Ces auteurs ont suggéré que loeffet du propolis sur la perméabilité membranaire et le potentiel membranaire peut contribuer énormément à son activité antibactérienne et peut diminuer la résistance des cellules à doautres agents antimicrobiens, ce qui pourrait expliquer loeffet synergique qui produit entre le propolis et doautres antibiotiques (Stepanovic et al., 2003).

Les polyphénols de thé (TPP) extraits du thé vert coréen (Camellia sinensis) ont montré un effet bactéricide dose-dépendant sur E.coli. Løanalyse des acide gras de la membrane cellulaire des cultures døE.coli traité avec TPP a mis en évidence des changements uniquement des acides gras saturés et insaturés, tandis que løanalyse au microscope électronique à balayage a révélé la présence des perforations et des formes triangulaires irrégulières avec des surface froissées (rugueuses) des cellules traités avec les TPP (Cho et al., 2007).

Zhang et Rock (2004) ont montré que lœGCg est un puissant inhibiteur de -ketoacyl-ACP réductase (FabG) et de *trans*-2-enoyl-ACP réductase (FabI), enzymes impliquées dans la synthèse des acides gras de type II dœE. *coli*. EGCg inhibe les deux enzymes dœune façon compétitive en se liant sur le site de fixation du cofacteur NADHP. LæEGCg inhibe aussi le complexe enzyme-cofacteur (FabG-NADHP) pour empêcher la liaison du substrat (Zhang et al., 2004). Læffet des flavonoïdes sur la synthèse des acides mycoliques a été confirmée par les travaux de Brown et ses collaborateurs qui ont observé lænhibition de la croissance de

Mycobacterium bovis par l\(\perp\)inhibition de l\(\phi\)activit\(\epsilon\) des enzymes FAS-I et FAS-II impliqu\(\epsilon\) dans leur synth\(\epsilon\) et al., 2007).

Sudano Roccaro et al., (2004) ont constaté que lœEGCg peut inverser la résistance à la tétracycline dans les isolats de *Staphylococcus*. Cette interaction synergique agit par løinhibition de løactivité des pompes dæfflux de la tétracycline dans la cellule bactérienne, induisant une plus grande rétention intracellulaire de løantibiotique. Zhao et al. (2001) ont étudié 25 isolats de MRSA et ont trouvé que løEGCg et les -lactamines se fixent sur le même site; ils ont observé un effet synergique entre eux contre cette souche, en interférant avec løintégralité de la paroi cellulaire à travers une liaison direct au peptidoglycane. Løinhibition de løactivité de la pénicillinase a été également utilisée pour expliquer la synergie observée entre ces catéchines et la pénicilline chez les bactéries à Gram positif. Cependant, dans une autre étude Zhao et al. (2003) nøont observé aucune restauration de løactivité antibactérienne par la combinaison des -lactamines et de løEGCg contre les Gram négatif. Cela est peut être lié à la localisation des -lactamases chez ces bactéries.

Løactivité antimicrobienne des flavonoïdes a été attribuée à løinhibition de synthèse døADN (Shinozuka et al., 1988) et døARN (Ong et Khoo, 1997) et døautres macromolécules. De plus, les composés phénoliques avec plus de trois 3-OH sont doués døune activité antibactérienne (Ani et al., 2006).

Plaper et ses collaborateurs ont rapporté que la quercétine se lie à la sous-unité GyrB de løADN gyrase de *E.coli* et inhibe ses activités ATPasique (**Plaper et al., 2003**). Løactivité antibactérienne de la quercétine contre *E.coli* peut être en moins partiellement attribuée à løinhibition de løADN gyrase (**Ohemeng et al., 1993**). **Bernard et ses collaborateurs (1997**) ont constaté que le flavonoïde glycolysé, la rutine, était un inhibiteur spécifique de la topoisomerase IV dø*E.coli*. **Mori et ses collaborateurs (1987**) ont prouvé que la synthèse de løADN a été fortement inhibée par des flavonoïdes (EGC) chez *Proteus vulgaris*, tandis que la synthèse døARN était la plus affectée chez *S.aureus*. Ces auteurs ont suggéré que 3ø 4ø 5ø trihydroxy libre du cycle B et 3-OH libre des flavonoïdes étaient nécessaires pour leur activité antimicrobienne, ceci peut expliquer løaction inhibitrice sur la synthèse døADN et døARN.

II. 3. 5. Activité antimicrobienne et mode døaction des tannins

Plusieurs travaux ont mis en évidence lœffet antimicrobien des extraits de plantes riches en tannins (Luthar, 1992; Puupponen-Pimi et al., 2005a; Al-Momani et al., 2007; Briones-Nagata et al., 2007; Cimolai et Cimolai, 2007, Liu et al., 2008; Shuaibi et al., 2008; Kim et al., 2010).

Les plantes riches en tannins ont une nature astringente et sont utilisées dans le traitement des désordres intestinaux tels que les diarrhées et les dysenteries, de ce fait exhibant une activité antimicrobienne (Sharma et al., 2009). Les tannins hydrosolubles sont plus toxiques que les tannins condensés et leur toxicité est liée à leur taille moléculaire (Frutos et al., 2004; Widsten et al., 2010). Okuda (2005) a démontré løeffet inhibiteur de plusieurs tannins hydrolysables sur Helicobacter pylori.

Taguri et al. (2006) ont déduit que la présence de 3, 4, 5-trihydroxyphenyle (groupement pyrogallole) est liée à une forte activité antimicrobienne. Contrairement au gallotinnins, les ellagitannins sont plus difficiles à être dégradés par les microorganismes à cause de leur structure complexe (Scalbert, 1991; Min et al., 2008). Puupponen-Pimi et al. (2005b) ont trouvé que Candida albicans et Campylobacter jejuni sont sensibles aux extraits de mûrier, de framboise et de fraise et de toutes les baies, suggérant que les ellagitannins sont les principaux composés antimicrobiens qui sont à løorigine de cette activité.

La propriété astringente des tannins peut induire leur complexation avec les protéines (Akiyama et al., 2001) par des interactions non spécifiques, telles que les liaisons hydrogènes et hydrophobes, aussi bien que la formation des liaisons covalentes. Ainsi, leur mode déaction antimicrobien peut être lié à leur capacité à inactiver les adhésines microbiennes, les enzymes et les protéines du transport membranaire (Karou et al., 2005; Samy et Gopalakrishnakone, 2008).

Les tannins empêchent les substrats à traverser la paroi cellulaire, en diminuant sa perméabilité en formant des complexes avec les protéines de la paroi cellulaire. Ils sont également responsables des changements morphologiques de plusieurs espèces bactériennes (Goel et al., 2005). Jones et al. (2004) cité par Buzzini et al. (2007) ont postulé que la capacité des tannins à lier les polymères extracellulaires des bactéries pourrait être considérer à lørigine de løactivité observée. Néanmoins, malgré la formation des complexes avec des polymères extracellulaires, les pro anthocyanidines pénètrent dans la cellule en concentration

suffisante pour réagir avec un ou plusieurs composants internes et empêchent sélectivement la synthèse de la paroi cellulaire (Buzzini et al., 2007).

La complexation des tannins avec les ions métalliques dans lænvironnement bactérien pourrait être aussi un mécanisme possible de leurs propriétés antimicrobiennes (Buzzini et al., 2007; Min et al., 2008). Akiyama et al., (2001) ont rapporté que lœcide tannique a une grande capacité à lier le fer et peut fonctionner comme un sidérophore (Akiyama et al., 2001; Widsten et al., 2010). Ainsi, lœpuisement en métal peut affecter lœctivité des métalloenzymes des cellules microbiennes et la séquestration des minéraux (cuivre, cobalt et fer) peut influencer leurs réactions métaboliques (Scalbert, 1991; Puupponen-Pimi et al., 2005a). Lønhibition de la croissance des bactéries intestinales (B.fragilis, C. perfringens, E.coli et E. cloacae) par lœcide tannique est probablement liée à sa capacité élevée à lier le fer (Zaidi-Yahiaoui et al., 2008).

La diminution de loactivité enzymatique en contact des composés phénoliques est liée à leurs liaison avec les sites actifs des enzymes ou la précipitation des protéines enzymatiques, les empêchant de ce fait doatteindre leur substrats (Zaidi-Yahiaoui et al., 2008). Goel et al. (2005) ont suggéré que le changement conformationnel des enzymes en présence des tannins peut être une raison pour leur inhibition. La position et le nombre de groupements hydroxyle (OH) dans les tannins semblent être associés à leur toxicité relative pour les microorganismes, qui est proportionnelle au degré dohydroxylation (Min et al., 2008).

Løactivité antimicrobienne peut être aussi liée à løempêchement de løadhésion des bactéries aux cellules épithéliales, qui est une étape préalable à la colonisation et à løinfection de la plupart des microorganismes pathogènes (Puupponen-Pimi et al., 2005a; Puupponen-Pimi et al., 2005b; Dietrich et Pour-Nikfardjam, 2009). En effet Cimolai et Cimolai (2007) ont montré que les pro anthocyanidines de la canneberge ont une action antiadhésive sur *E.coli* (Cimolai et Cimolai, 2007) et sur *Helicobacter pylori* (Burger et al., 2002).

Akiyama et al. (2001) ont examiné loaction antibactérienne de plusieurs tannins sur la coagulation du plasma par *S. aureus*. Ils ont suggéré que le mécanisme doaction antibactérien passe par loinhibition de la formation des fibrines par *S. aureus*. Ils ont observé que loacide tannique inhibe la croissance de toutes les bactéries testées, mais loacide gallique et loacide ellagique noinhibent aucune doentre elles. De ce fait, ils ont conclu que la liaison ester entre

| løacide gallique et le glucose (pour former løacide tannique) était importante pour le potentiel antimicrobien de ces composés (Akiyama et al., 2001; Widsten et al., 2010). | | | |
|--|--|--|--|
| | | | |
| | | | |
| | | | |
| | | | |
| | | | |
| | | | |
| | | | |
| | | | |
| | | | |

ETUDE EXPERIMENTALE

Matériel et méthodes

I. Matériel végétal

I. 1. Collecte de la plante

La partie aérienne de *Pulicaria odora* a été récoltée de son milieu naturel au mois de juin 2011 entre 7h et 9h du matin dans la région døAin-skhoune, (W) de Bejaia. Lødentification est faite selon Quezel et Santa (1963), au niveau du laboratoire de biologie végétale de løuniversité de Bejaia.





Figure 6 : Photos de *Pulicaria odora* dans son milieu naturel.

I. 2. Préparation de løéchantillon

Les feuilles de *Pulicaria odora* sont soumises à un triage (pour éliminer les feuilles endommagées ou attaquées par des microorganismes), et un lavage à lœau de robinet (2 à 3 fois), les feuilles sont ensuite séchées à lœair libre à lœabri du soleil pendant 2 mois. Elles sont par la suite broyées à lœaide dœun broyeur (Janke et Kunkel, IKA labortechnik). La poudre est conservée dans des bocaux à lœabri de la lumière et de læhumidité.

II. Extraction des composés phénoliques

Løextraction est réalisée par la méthode de macération dans différents solvants (Ethanol, méthanol, acétone) ayant différentes polarités (100, 70 et 50%) selon le protocole de **Djeridane et al., 2006.** 1g de poudre de *Pulicaria odora* est additionné de 50 ml de solvant, la macération est faite pendant 24 heures au bain marie agitateur, à 35°C. Après cela løextrait est soumis à une centrifugation à 3000g/min pendant 5 minutes (Hettich MIKRO 120) et une filtration, le filtrat obtenu est ensuite séché à løaide døun appareil rota vapor à 40°C. Løextrait est reconstitué dans le méthanol absolu à une concentration de 50 mg/ml et conservé à 4°C à løabri de la lumière (**Fig. 7**).

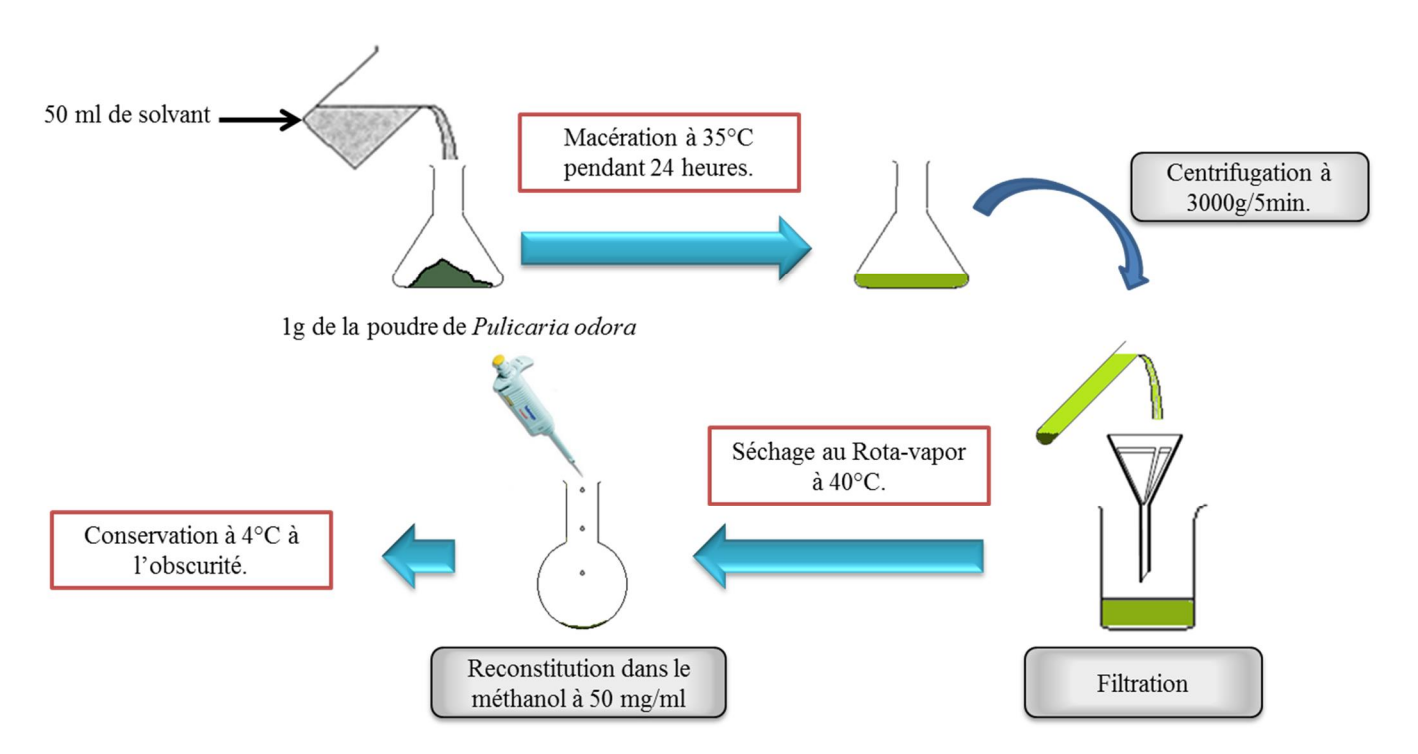


Figure 7 : Schéma de extraction des composés phénoliques.

Le rendement de lœxtraction est calculé par la formule suivante :

$$\% \ d\text{@extraction} = \left[\left(P_1 \text{-} P_0 \right) / E \right] \ 100$$

Avec:

P₀: poids du bécher vide (g).

P₁: poids du bécher après évaporation (g).

E : poids de léchantillon (g) (**Djeridane et al., 2006**)

III. Analyse phytochimique

III. 1. Dosage des polyphénols totaux

Il est réalisé selon le protocole de **Stanisavljevi et al.** (2009): 1,23 ml de réactif de Folin-Ciocalteu (dilué à 1/10 dans lœau distillée) est ajouté à 0,25 ml dœxtrait (dilué à 1/100 dans le méthanol absolu). Apres 2 minutes, 1ml de Na₂CO₃ (7,5%) est ajouté, le mélange réactionnel est incubé dans le bain-marie (memmert) à 50°C pendant 5min, puis refroidi rapidement dans la glace. Un témoin est réalisé dans les mêmes conditions en remplaçant lœxtrait par le méthanol. Lœbsorbance est mesurée à lœaide dœun spectrophotomètre (Zuzi 4111 RS) à 760 nm. Les résultats sont exprimés en milligramme équivalent dœacide gallique par gramme de matière sèche (mg Eq AG/ g de matière sèche) en comparant avec une courbe dœtalonnage standard de lœacide gallique (**Fig. 8**).

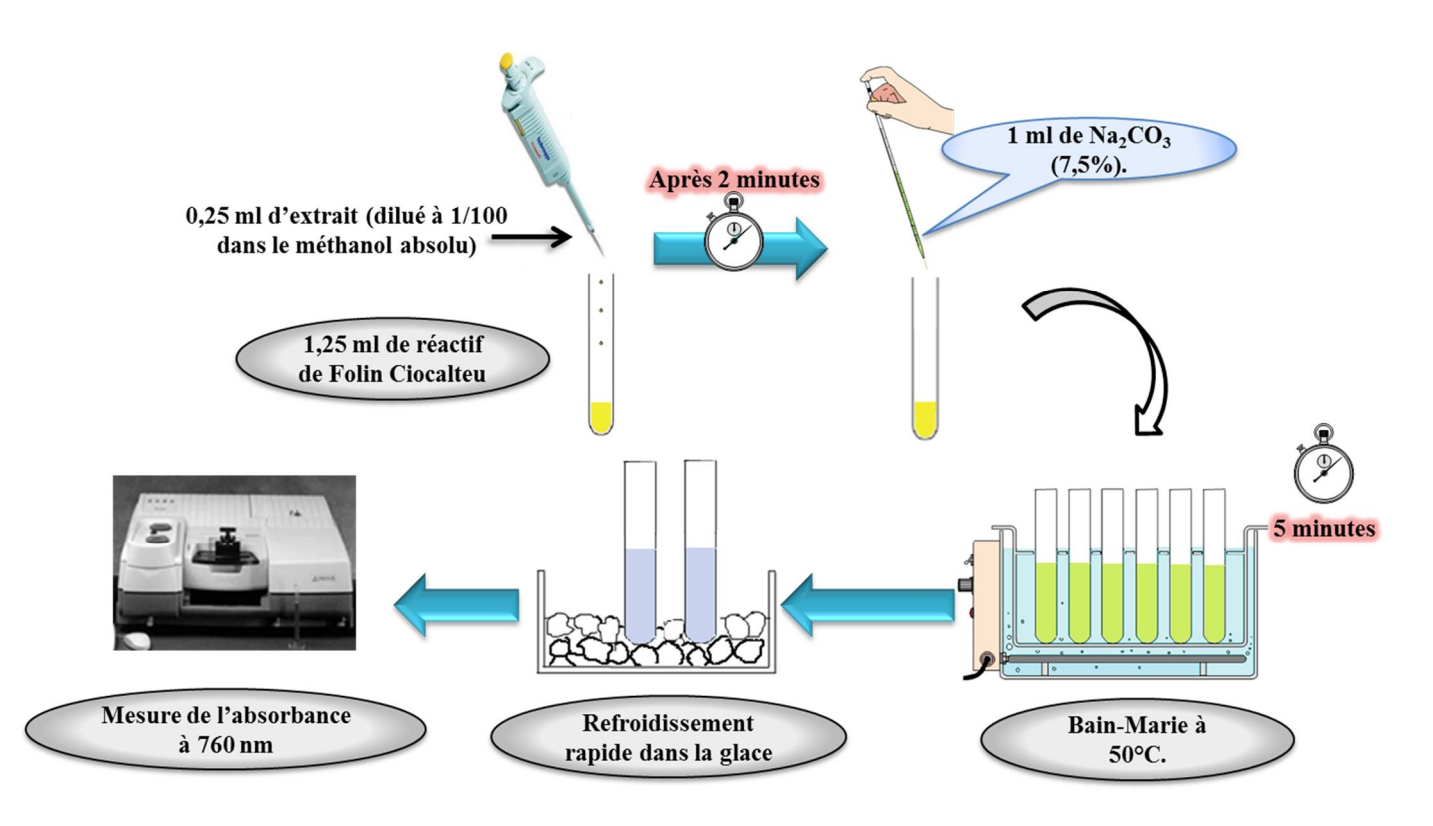


Figure 8 : Dosage des polyphénols totaux.

III. 2. Dosage des flavonoïdes

Il est réalisé selon le protocole de **Djeridane et al., 2005**: un volume de 1ml de lœxtrait (dilué à 1/100) est ajouté à un volume égal de AlCl₃ (2%), après 15 min de réaction à løbscurité les absorbances sont mesurées à 430 nm (**Fig. 9**). Le témoin est préparé en remplaçant læxtrait par le méthanol. La courbe døtalonnage est tracée en utilisant la

quercétine comme standard et les résultats sont exprimés en mg équivalent quercétine par g de la matière sèche (mg EQ/g matière sèche).

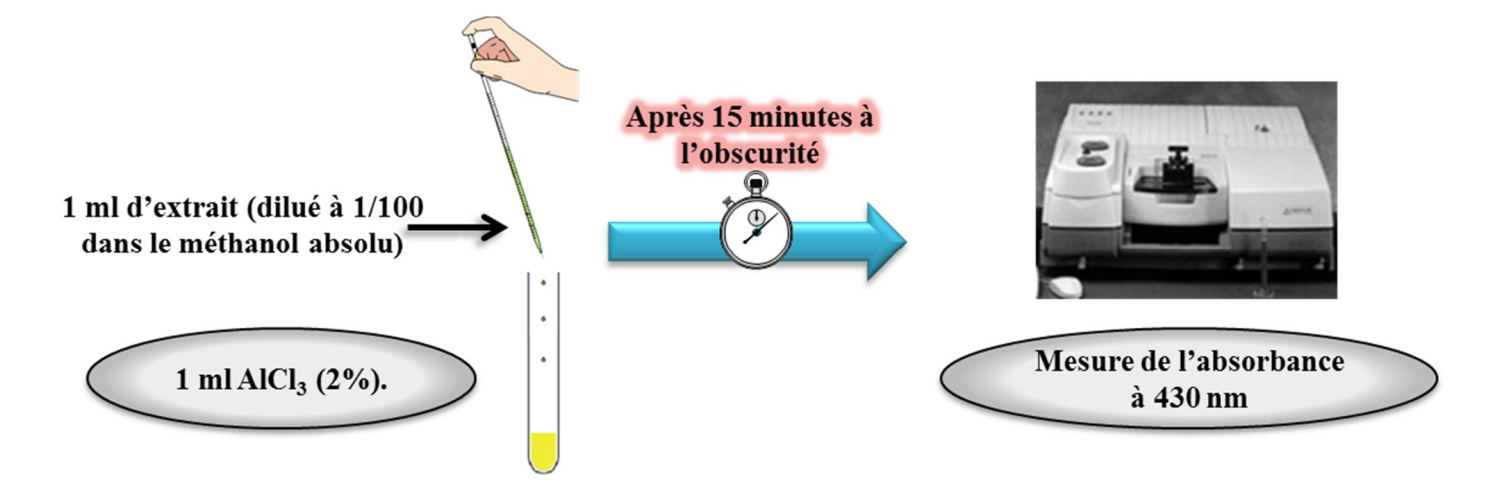


Figure 9 : Schéma du dosage des flavonoïdes.

IV. Etude de løactivité antimicrobienne

IV. 1. Les souches testées

Les extraits de *Pulicaria odora* sont testés à løégard de 4 souches bactériennes (*Escherichia coli* ATCC 25922, *Staphylococcus aureus* ATCC 25923, *Listeria innocua* CLIP 74915 et *Pseudomonas aeruginosa* ATCC 27853) et 3 souches fongiques (*Aspergillus flavus* 2CA 936, *Aspergillus niger* NRRL 391 et *Trichoderma reesei* ATCC 76765).

IV. 2. Standardisation des inocula

a) Souches bactériennes

Pour assurer leur pureté, les souches bactériennes sont repiquées successivement sur les milieux suivant : EMB pour *Escherichia coli*, Chapman pour *Staphylococcus aureus*, BCP pour *Pseudomonas aeruginosa* et sur gélose nutritive pour *Listeria innocua*.

A partir des cultures jeunes (18-24 heures) des suspensions bactériennes sont préparées à une absorbance entre 0,08 et 0,10 équivalent à 10⁶-10⁸ UFC/ml (Communiqué du CA-SFM, 2010).

b) Souches fongiques

A partir døune culture de 3 jours sur milieu Pomme de terre Dextrose Agar (PDA) des suspensions sporales sont préparées en coulant 5ml de Tween 20 (0,1%) sur chaque boite de

Pétri. Ensuite un comptage des spores est réalisé en utilisant la cellule de Malassez. Les suspensions sont ajustées à une concentration de 1-5.10⁶ spores/ml (**Rodriguez-Tudela, 2003**).

IV. 3. Test deactivité antimicrobienne

20 ml de gélose Muller-Hinton sont coulés dans une boite de Pétri, après solidification la gélose est ensemencée par écouvillonnage à partir des suspensions microbiennes. 20 1 de chaque extrait de *Pulicaria odora* (reconstitué dans le DMSO à 1%) sont déposé sur la surface de la gélose (**Stein et al., 2005**). Après une pré-incubation à 4°C pendant 3 heures, les boites sont incubées à 37°C pour les souches bactériennes et à 30°C pour les souches fongiques. Les diamètres des zones døinhibition sont mesurés après 18-24h (**Salie et al., 1996**)(**Fig. 10**). Le test du témoin négatif est effectué en remplaçant læxtrait par le DMSO à 1%, et les tests des témoins positifs sont réalisés en utilisant des solutions de løacide gallique, løacide tannique et la quercétine à des concentrations de 50mg/ml.

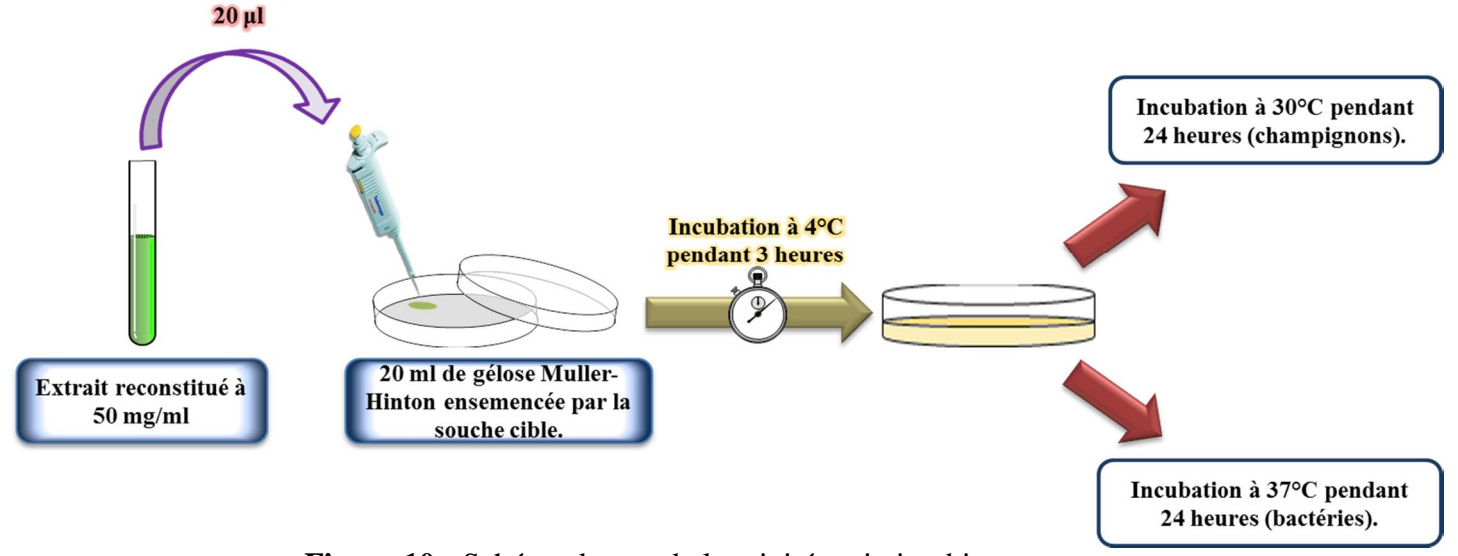


Figure 10 : Schéma du test de løactivité antimicrobienne.

IV. 3. Détermination des concentrations minimales inhibitrices (CMI)

Lœxtrait montrant la meilleure activité antimicrobienne, a subit des dilutions successives (1/2, 1/4, 1/8, 1/16, 1/32 et 1/64) afin de déterminer la faible concentration donnant une zone døinhibition, en mettant 20 l de chaque dilution sur une gélose préalablement ensemencée par les souches décrites précédemment (Urzua et al., 1998)(Fig. 11).

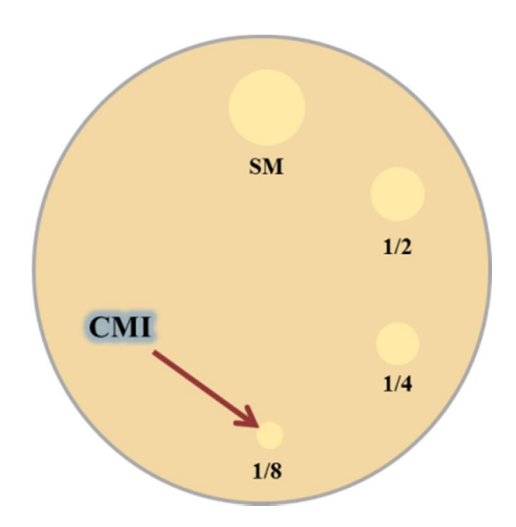


Figure 11: Schéma de détermination des concentrations minimales inhibitrices (CMI).

IV. 4. Détermination des concentrations minimales bactéricides CMB et fongicides CMF

La CMB est la concentration de la substance antimicrobienne permettant døbtenir, après 18 à 24 heures døincubation à 37°C, 0,1% de germes, cøest-à-dire une bactérie pour 1000 de løinoculum initial (**Rodríguez-Vaquero et al., 2010**). La surface de chaque zone døinhibition 1/2, 1/4, 1/8, 1/16, 1/32 et 1/64 (Test de CMI) est raclée à løaide døune pipette Pasteur. En suite des tubes de bouillon nutritif pour les bactéries, et de milieu Sabouraud pour les champignons sont ensemencés. Les tubes sont incubés à 37°C pendant 24h. Le tube contenant aucune croissance (pas de trouble) est déclaré comme contenant la CMB ou CMF (**Fig. 12**).

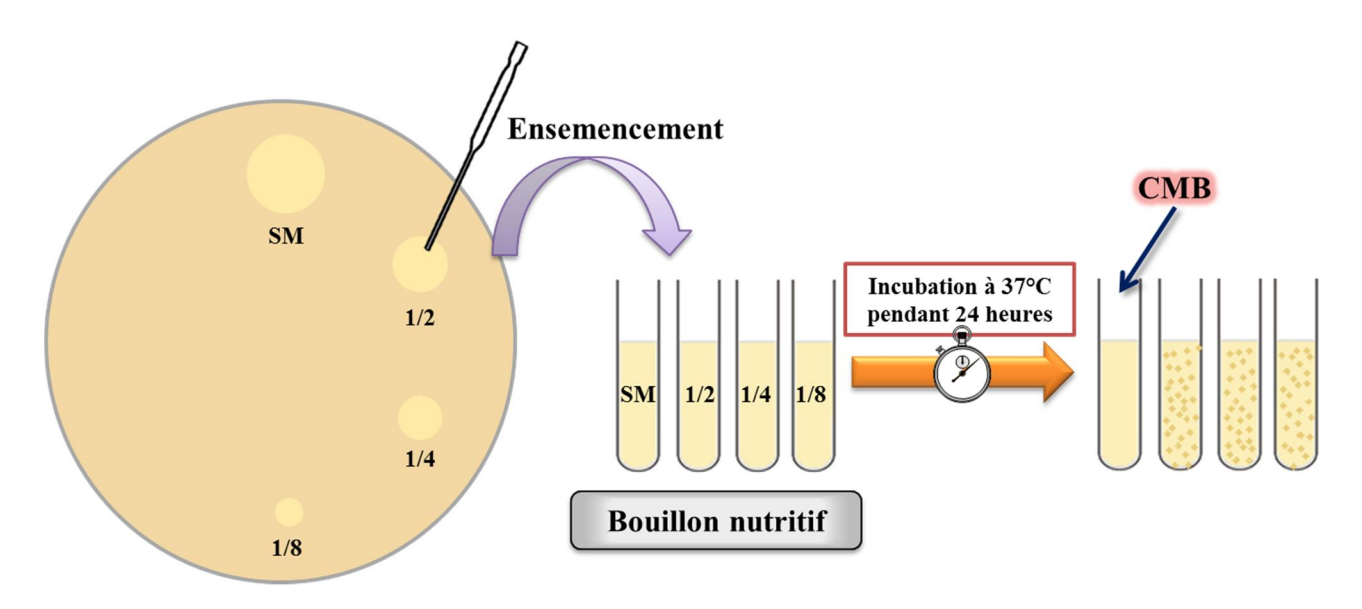


Figure 12: Détermination des concentrations minimales bactéricides CMB et fongicides CMF.

V. Séparation des composés phénoliques

V. 1. Détermination du meilleur système de séparation par CCM

26 combinaisons de systèmes solvants en utilisant cinq solvant, ont été testés pour leur aptitude à séparer les composés phénoliques de lœxtrait de *Pulicaria odora*, à savoir : Ether de pétrole/méthanol (1/1, 5/3, 8/3, 5/1, 2/1), Hexane/méthanol (8/3, 5/1, 2/1), Ether de pétrole/Chloroforme/Acétate dœthyle (2/2/1, 2/3/1, 1/1/3), Chloroforme/Acétate dœthyle (3/1, 2/5), Chloroforme/Acétone (1/4, 1/2), Ether de pétrole/Acétate dœthyle (1/2, 1/4, 1/3), Ether de pétrole/Méthanol (1/4, 1/3), Ether de pétrole/Chloroforme (5/1, 3/1, 3/2), Hexane/Acétate dœthyle/Méthanol (5/1/1, 5/0,5/1), Hexane/Chloroforme/Acétate dœthyle (1/3/1).

Le meilleur système sur CCM est destiné pour la chromatographie sur colonne sèche. La CCM est réalisée selon le protocole de **Kannan et** *al.* (2010) comme suit :

- 1. La cuve est remplie par le système solvant, jusqu'à que ce dernier atteigne 5 mm de hauteur.
- 2. La cuve est laissée pendant 30min, pour quœlle soit saturée par la vapeur de la phase mobile.
- 3. La ligne de départ est tracée soigneusement à 1 cm de lœxtrémité de la plaque en utilisant une règle.
- **4.** En utilisant une micro capillaire ou une micro pipette, les spots sont déposés soigneusement sur la ligne de départ.
- 6. La migration est arrêtée lorsque le solvant atteint 1cm de lœutre lœxtrémité de la plaque (Fig. 13).
- 7. Les spots sont révélés en utilisant la lampe à UV à une longueur døonde de 254 et 365 nm.

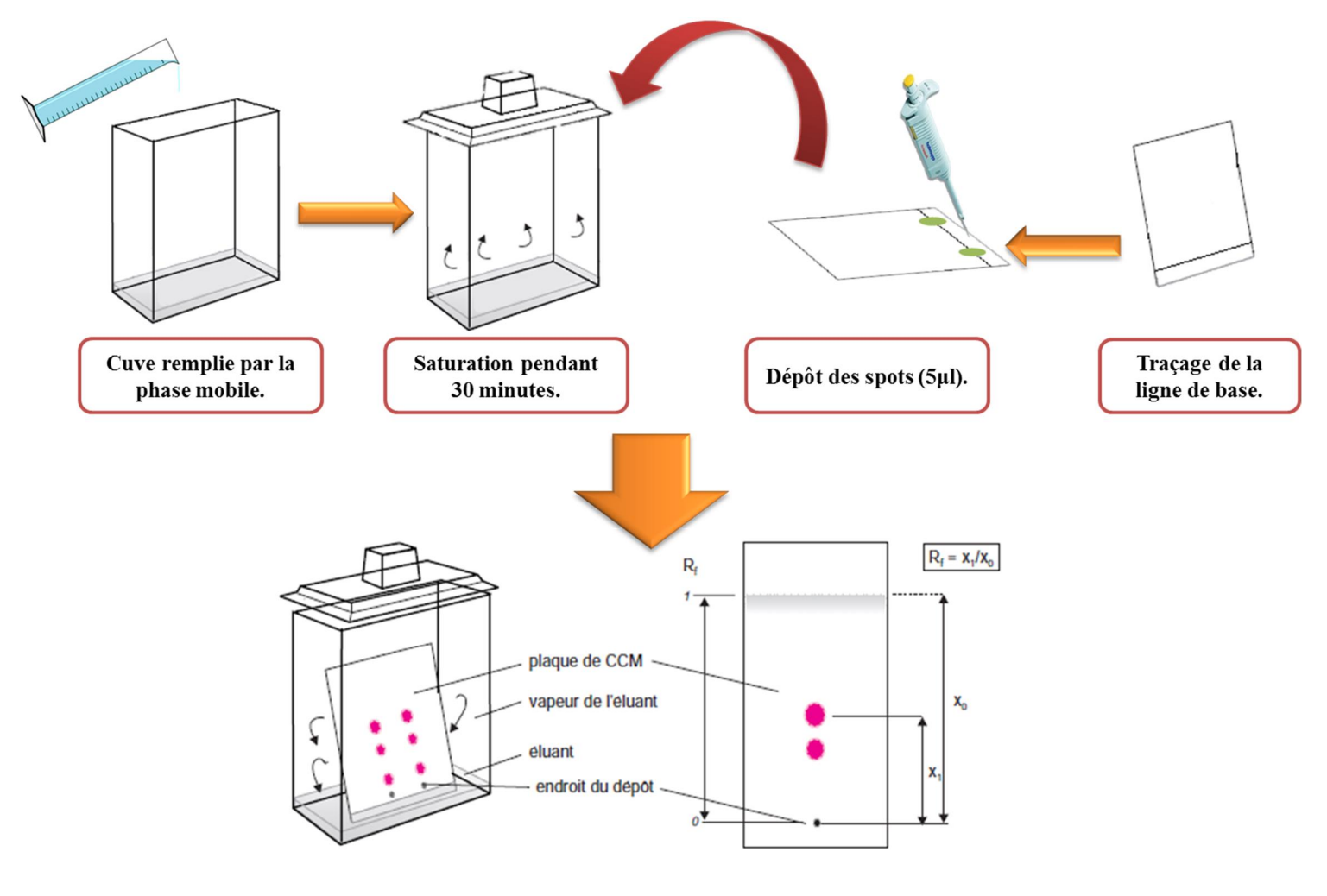


Figure 13 : Séparation des composés phénoliques par CCM.

V. 2. Chromatographie sous vide sur colonne sèche

V. 2. 1. Préparation de la colonne

La colonne est préparée selon le protocole de Pedersen et Rosenbohm (2001), comme suit :

- 1. 15 g du gel de silice 60 Merck 15111 (15ó40 m) est pesé. Des lignes directrices suggérées sont présentés dans (**Tableau I, Annexe I**).
- 2. Le dispositif utilisé est représenté dans la figure 14 :

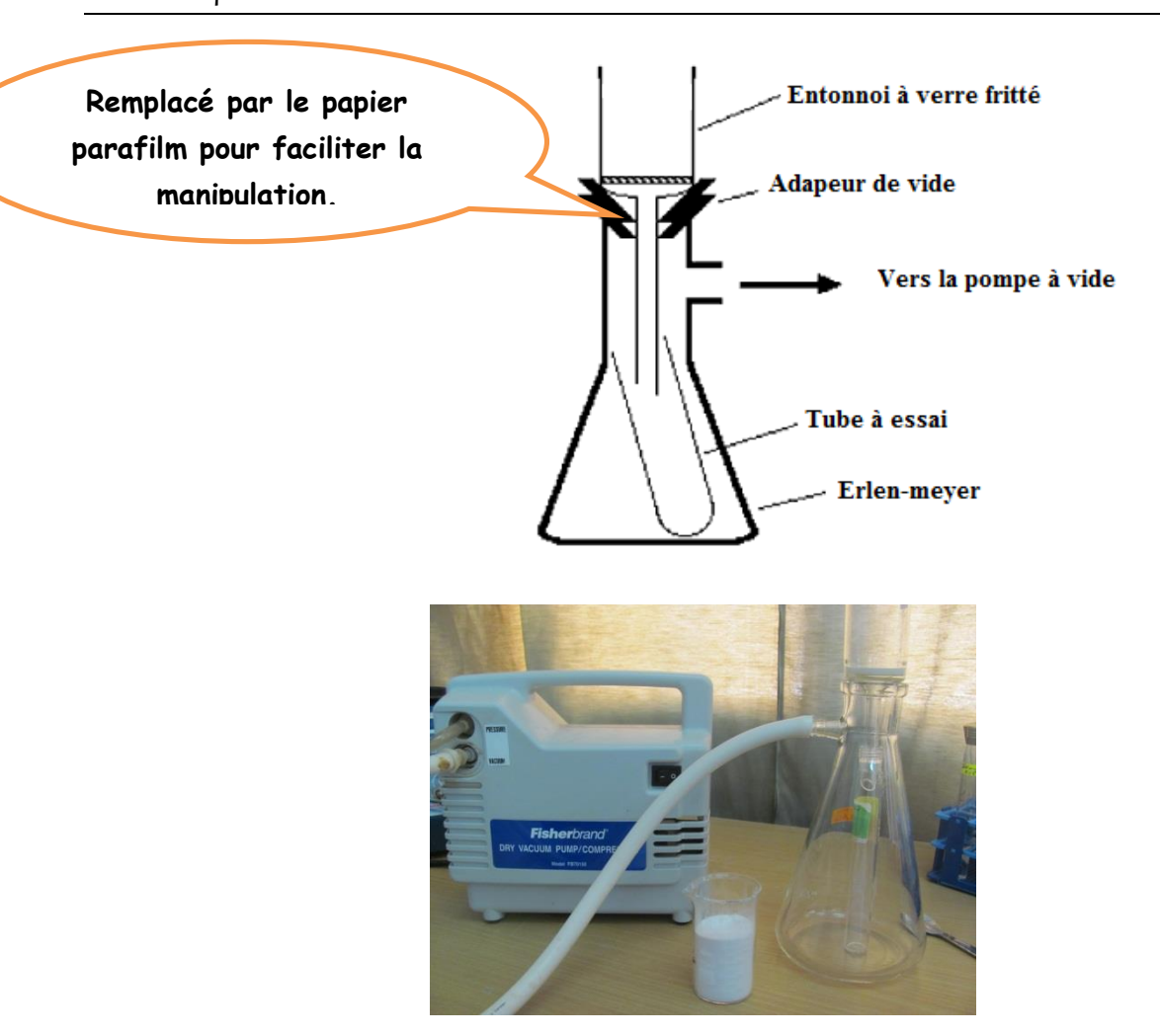


Figure 14 : Dispositif utilisé pour la chromatographie sous vide sur colonne sèche.

- 3. La colonne est remplie par la moitié de la quantité du gel pesée.
- 4. Le gel subit une vibration pour quøil soit bien tassé en mettant le dispositif sur le vortex (Fig. 15).

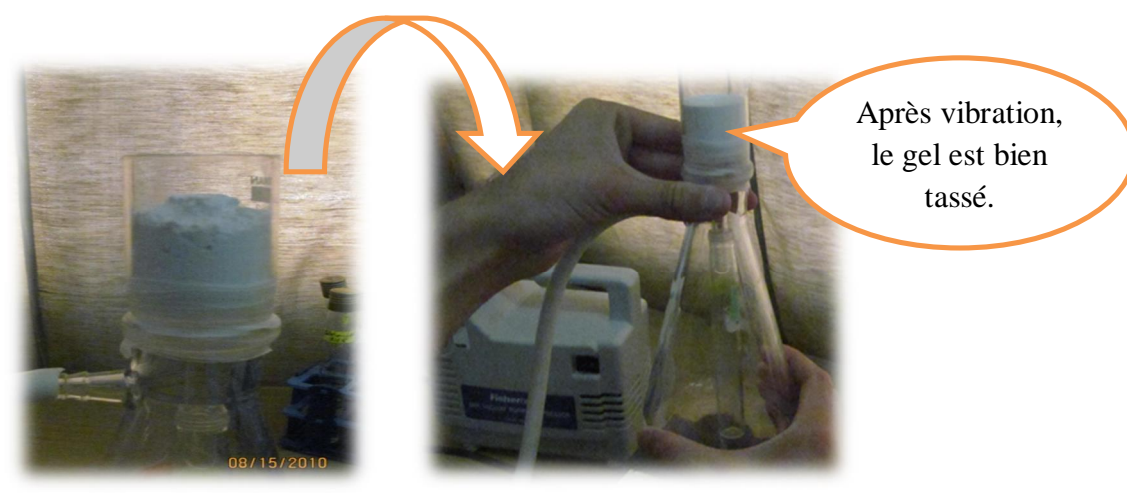


Figure 15 : Tassement de du gel.

- **5.** Le reste du gel est ajouté dans la colonne. Une autre vibration est indispensable pour avoir une phase stationnaire homogène.
- **6.** Le dispositif est bien fermé en utilisant le papier parafilm, ensuite la pompe à vide est mise en marche. Ce qui permet la condensation du gel.
- 7. Le gel est soigneusement compressé sur tout le pourtour de lœntonnoir en utilisant une spatule ou un bouchon en verre (Fig. 16).



Figure 16: Colonne sèche prête à lœutilisation.

V. 2. 2. Application de léchantillon

- 1. 1ml de lœxtrait (200mg/ml) est mélangé avec une petite quantité de gel de silice.
- **2.** Après évaporation du solvant dans lœtuve à 37°C pendant quelques minutes, lœchantillon est déposé au haut de la colonne sous forme dœune couche mince en utilisant une spatule.
- 3. la couche mince est ensuite compressée en appliquant le vide comme dans loétape de préparation de la colonne

V. 2. 3. Préparation de la phase mobile (Système éluant)

1. La colonne est éluée par un gradient de polarité en utilisant le meilleur système de séparation sur CCM.

2. Le gradient est préparé en ajoutant le solvant le moins polaire en premier, et en augmentant la polarité avec des pas 5% comme suit (**Tableau III**) :

Tableau III: Gradient descendant du système délution.

| N° de tube | Solvant | Proportions V/V (ml) |
|------------|------------------------------|----------------------|
| 1 | Ether de pétrole | 10 |
| 2 | Ether de pétrole/Chloroforme | 9,5/0,5 |
| 3 | Ether de pétrole/Chloroforme | 9/1 |
| 4 | Ether de pétrole/Chloroforme | 8,5/1,5 |

Et ainsi de suite jusquœ løbtention de la combinaison Ether de pétrole/chloroforme 0/10, en suite un gradient similaire est préparé en utilisant le chloroforme et acétate døthyle.

V. 2. 3. Elution

1. Avant døajouter løcchantillon il est indispensable de faire passer le solvant le plus apolaire à travers la colonne (dans notre cas 50 ml løcther de pétrole), en utilisant la pompe à vide (Fig. 17).



Un trait horizontal : un indice sur le bon tassement du gel.

Figure 17 : Pré-élution de la colonne.

2. Après le dépôt de lœchantillon au haut de la colonne, lœlution est réalisée en passant le gradient par ordre ascendant de polarité (Fig. 18).



Figure 18 : Elution des composés phénoliques.

- 3. Des fractions de 10 ml sont récupérées dans des tubes à essai.
- **4.** Les fractions récupérées sont, ensuite séchées à løétuve à 40°C.
- **5.** Les fractions sèches sont reconstituées dans le DMSO à 1% pour réaliser les tests døactivité antibactérienne.

V. 3. Analyse des fractions actives par HPLC

Les fractions ayant une activité antibactérienne ont subi une analyse par HPLC sous les conditions suivantes :

Appareille: HPLC (LC-20AT Shimadzu)

Colonne : Nucleosil 100-5 C_{18} (phase inverse).

Détecteur : UV/VIS SPD-201V Prominence.

Longueur døonde : 254 nm.

Phase mobile : méthanol/eau (60/40 v : v).

Débit: 0,5 ml/min.

Echantillon : 5 1 de chaque fraction, sont déposés dans lønjecteur.

VI. Analyses statistiques

Les comparaisons multiples et la détermination des taux de signification sont faites par le test ANOVA suivi du test HSD. Les différences sont considérées statistiquement significatives au seuil de p<0,05.

Résultats et discussion

I. Rendement de lœxtraction des composés phénoliques

La macération de la poudre de *Pulicaria odora* (feuilles) dans différents solvants organiques, a donné un extrait de couleur vert foncé avec le méthanol et løéthanol, et un extrait de couleur marron foncée avec løacétone. Les résultats ont montré que le rendement dæxtraction varie entre 3,66 % et 32,66 %. La valeur maximale est enregistrée pour le méthanol 50%, et la valeur minimale pour løacétone 100% (**Fig.19**).

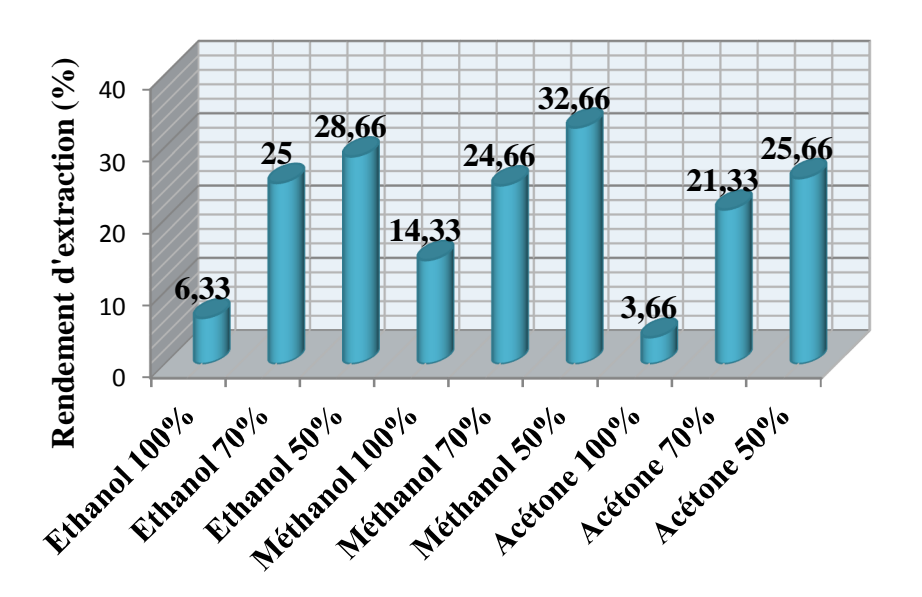


Figure 19 : Rendement de extraction des composés phénoliques de *Pulicaria odora*.

Alzoreky et Nakahara (2003), qui ont utilisé løacétone et le méthanol tamponné pour løextraction des composés phénoliques de *Pulicaria orientalis*, ont obtenu des taux døextraction de 8 et 6 % respectivement.

Des valeurs plus basses ont été retrouvées par **Mothana et Lindequist** (2005), avec læspèce *Pulicaria stephanocarpa*, en utilisant le chloroforme, le méthanol et læau (1,40, 2,98 et 2,20 % successivement).

En effet, lœfficacité de ce type dœxtraction est susceptible dœtre influencée par plusieurs facteurs comme la température, le temps de la macération et le type de solvant utilisé, car ils

sont capables de modifier le transfert de la matière dans lœxtraction solide-liquide (**Pinello et** *al.*, 2005).

Les solvants alcooliques sont capables déaugmenter la perméabilité des parois cellulaires en facilitant léextraction de puls grand nombre de molécules polaires, de moyenne et de faible polarité (Seidel, 2005).

II. Analyse phytochimique

II. 1. Dosage des polyphénols totaux

La teneur en polyphénols totaux des feuilles de *Pulicaria odora*, a été déterminée à partir døune courbe standard en utilisant løacide gallique comme étalon de référence (**Annexe III**).

Selon les résultats, le taux le plus élevé des polyphénols totaux est obtenu avec løéthanol 100% suivi par løacétone 100%, avec des valeurs de $158,38 \pm 0,60$ et $128,27 \pm 5,41$ mg Eq Ac gallique/g respectivement, tandis que le taux le plus bas est enregistré pour le méthanol 50% avec une valeur de $62,48 \pm 3,66$ mg Eq Ac gallique/g (**Fig. 20**).

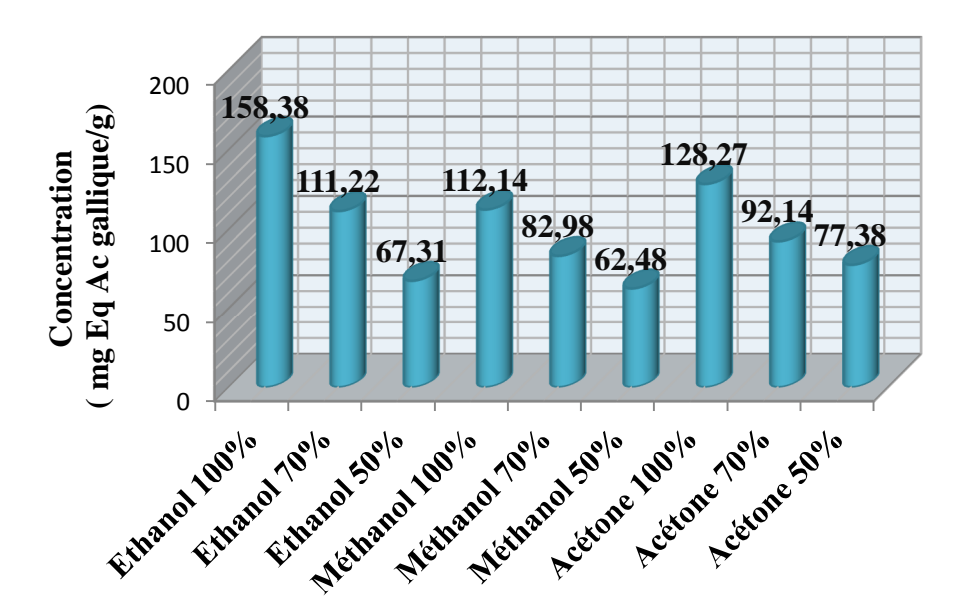


Figure 20 : Teneur en polyphénols totaux des différents extraits de *Pulicaria odora*.

Marwah et al. (2007), ont obtenu des valeurs très inférieures à nos résultats avec *Pulicaria* crispa et *Pluchea arabica*, soit 96.6 et 76.9 mg Eq Ac gallique par gramme dæxtrait sec, ces résultats ont été obtenus, en réalisant deux extractions successives avec le chloroforme et le méthanol aqueux à 20%, pendant deux semaines pour chaque extraction, en utilisant toute la plante et non pas les feuilles uniquement.

Une autre étude réalisée par **Petacci et al.** (2012), sur les feuilles de 12 espèces døAsteraceae a donné des valeurs allant de 32.65 (*Lychnophora ramosissima*) à 147.97 mg Eq Ac gallique par gramme døextrait sec (*Lychnophora ericoides*), en utilisant løéthanol comme solvant døextraction.

Le taux de polyphénols varie selon la partie de la plante étudiée (**Bouayed et al., 2007**), ceci est expliquée par le fait que les polyphénols sont plus présents dans les cellules photosynthétiques (**Tkerget et al., 2005**), pour lutter contre les insectes et løinvasion microbienne (**Harborne et Williams, 2000**).

Djeridane et *al.* (2006), ont trouvé que løabondance des polyphénols dans les feuilles est caractéristique de la famille des astéracées.

Selon **Albano et Miguel** (2011), des concentrations en composés phénoliques similaires peuvent être trouvées dans différentes plantes, en particuliers si elles font partie de la même famille, døaprès les résultats obtenus dans notre cas avec *Pulicaria odora*, cette plante est peut être considérée comme la plus riche en composés phénoliques par rapport aux autre espèces étudiées du genre *Pulicaria*.

Løanalyse statistique de ces données a montré que, løéthanol 100% est le meilleur solvant pour løaxtraction des polyphénols totaux de *Pulicaria odora*, suivi par løacétone 100%, et en dernier le méthanol 100%, avec une différence très hautement significative (p < 0,0001) (Annexe IV).

II. 2. Dosage des flavonoïdes

La teneur en flavonoïdes est déterminée à partir døune courbe døétalonnage utilisant la quercétine (Annexe III).

Les résultats du dosage des flavonoïdes ont montré que lœxtrait de lœthanol 100 % a donné la concentration la plus élevée (23,96 \pm 1,55 mg Eq Quercétine/g), suivi par celui du méthanol 100% avec une valeur de 17,47 \pm 1,65. Cependant, la valeur minimale est notée pour lœxtrait du méthanol 50% (6,12 \pm 0,62 mg Eq Quercétine/g) (**Fig. 21**).

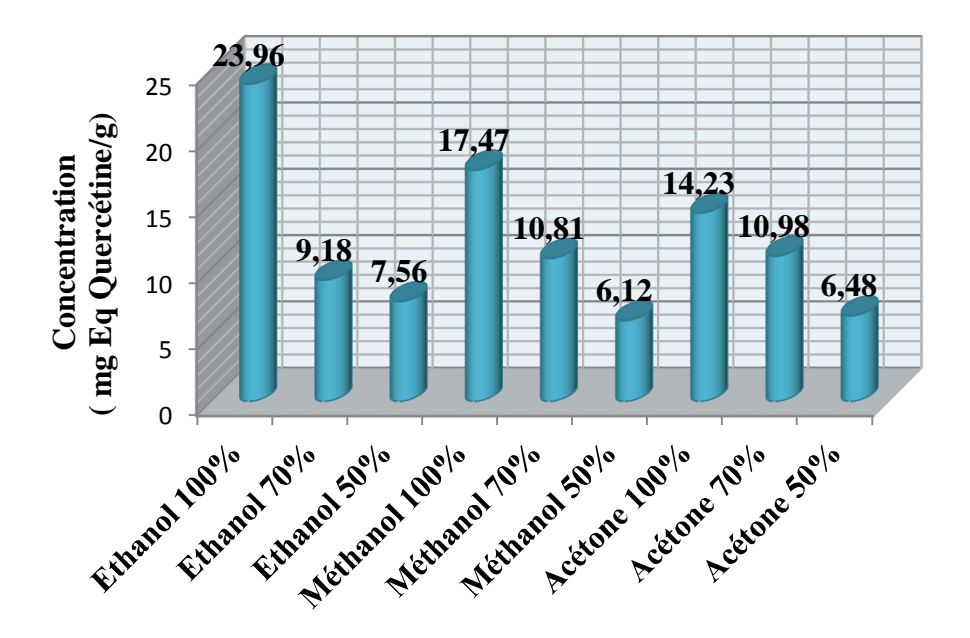


Figure 21 : Teneur en flavonoïdes des différents extraits de *Pulicaria odora*.

Conforti et *al.* (2009), ont trouvé des valeurs allant de 7,49 à 32,9 mg Eq Quercétine/g de matière sèche, en utilisant les feuilles de cinq espèces de la famille des astéracées, et léthanol aqueux à 70% pour léextraction.

Dans lœtude de **Liu et al.** (2008), des valeurs proches de nos résultats ont été retrouvées dans trois espèces de la famille des Asteraceae (de 24,26 à 28,35) en utilisant lœthanol à 60% pour læxtraction.

Døautres études ont suggéré la richesse en flavonoïdes des espèces végétales appartenant à la famille des Astéracées (**Bohm et Tod, 2001**).

Le traitement des résultats par le test des comparaisons multiples (HSD), a donné lørdre suivant, en termes dæfficacité à extraire les flavonoïdes de *Pulicaria odora* : løéthanol 100% (p < 0.0001), suivi par le méthanol 100% et løacétone 100%, sans différence significative entre ces deux derniers au risque de 5% (p > 0.132) (**Annexe IV**).

Selon Seidel (2005), lœau et le méthanol sont deux solvants polaires qui extraient particulièrement les flavonoïdes glycosylés et les tannins. Tandis que les flavonoïdes aglycones sont extraits par les alcools ou les mélanges eau-alcool (Marston et Hostettmann, 2006).

Les travaux menés par **Spigno et al.** (2007), ont montré que løéthanol extrait efficacement les flavonoïdes et catéchols des matières végétales. La différence dans la polarité des solvants dæxtraction influence la solubilité des constituants chimiques døun échantillon ainsi que le rendement døxtraction (**Sulaiman et al., 2011**).

Cæst pourquoi, le choix døun bon système de solvant est løétape la plus décisive pour løbtention døune bonne teneur en composés phénoliques, en flavonoïdes ou toute autre composé, à partir døun échantillon donné (Sulaiman et al., 2011).

III. Etude de leactivité antimicrobienne

III. 1. Etude de løactivité antibactérienne

Løactivité antibactérienne des extraits de *Pulicaria odora* est estimée en utilisant la méthode des spots vis-à-vis de quatre souches bactériennes (deux souches à Gram positif et deux autres à Gram négatif). Les résultats sont exprimés selon quatre niveaux døactivité : faible : D < 8mm, moyenne : 9 ÖD Ö14mm, forte 15 ÖD Ö19mm et très forte D > 20 mm (Bssaibis et Meziane 2009)(TableauIV).

Lœxtrait éthanolique à 100% a montré la plus haute activité contre les différentes souches testées, suivi par lœxtrait de méthanol 100% qui a une activité remarquable contre les quatre souches testées, et en dernier lœxtrait de lœxtra

Tableau IV: Résultats de lo activité antibactérienne des différents extraits de *Pulicaria odora*.

| | Diamètres des zones d'inhibition (mm) | | | |
|----------------------|---------------------------------------|---------------|---------------|---------------|
| Solvant deextraction | E. coli | P. aeruginosa | S. aureus | L. innocua |
| Ethanol 100% | $20 \pm 1,00$ | $19 \pm 0,57$ | 20± 1,15 | $20 \pm 0,57$ |
| Ethanol 70% | $17 \pm 1,15$ | $17 \pm 1,15$ | $17 \pm 0,00$ | $18 \pm 0,57$ |
| Ethanol 50% | $15 \pm 1,00$ | $14 \pm 0,00$ | $16 \pm 0,00$ | $16 \pm 0,57$ |
| Méthanol 100% | $18 \pm 0,57$ | $16 \pm 0,57$ | $17 \pm 0,00$ | $17 \pm 0,57$ |
| Méthanol 70% | $15 \pm 0,57$ | $15 \pm 1,15$ | $15 \pm 0,57$ | $14 \pm 0,57$ |
| Méthanol 50% | $14 \pm 0,57$ | $12 \pm 0,00$ | $12 \pm 0,57$ | $12 \pm 0,00$ |
| Acétone 100% | 0 | 0 | $15 \pm 0,57$ | 18±1,52 |
| Acétone 70% | 0 | 0 | $14 \pm 0,57$ | 17± 1,15 |
| Acétone 50% | 0 | 0 | $10 \pm 1,15$ | $12 \pm 1,15$ |
| Acide gallique | $17 \pm 0,57$ | 15±0,00 | 19± 0,57 | 22±1,15 |
| Acide tannique | 18±1,52 | 17± 0,57 | 20± 0,57 | 19± 0,57 |
| Quercétine | 16± 0,57 | 14±1,52 | 22±1,15 | 20±0,00 |
| DMSO 1% | 0 | 0 | 0 | 0 |

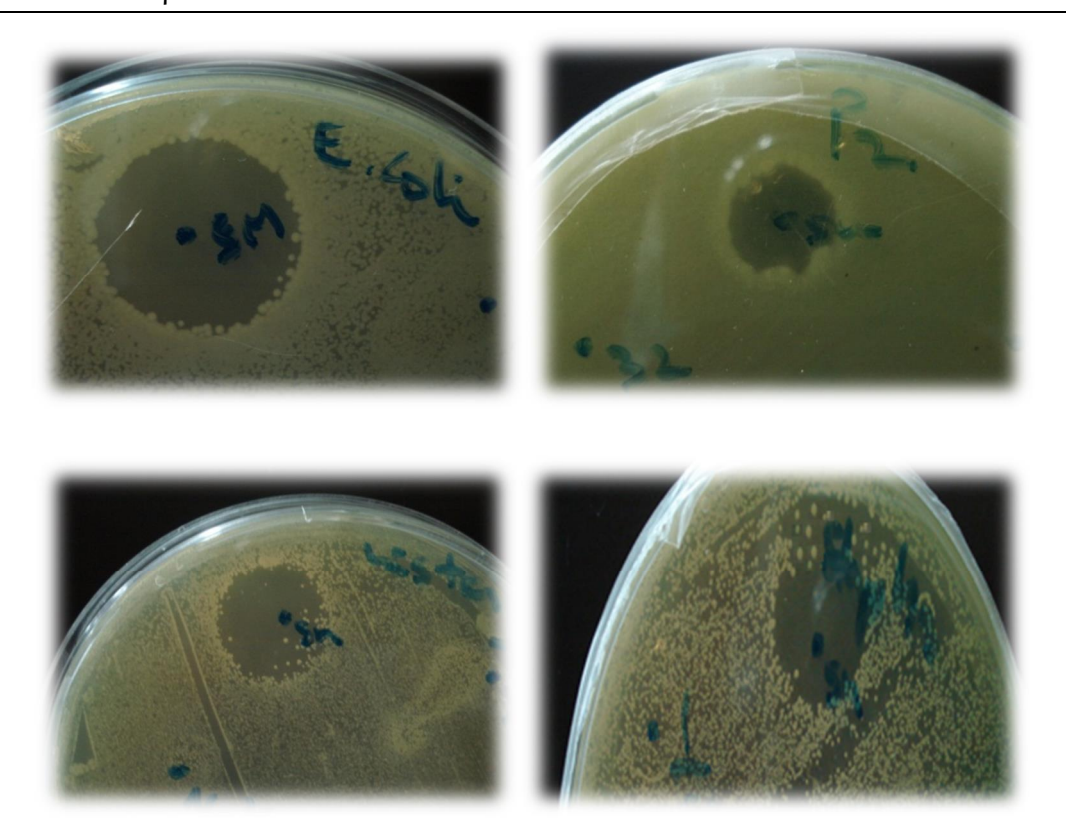


Figure 22 : Zones dønhibition de løextrait éthanolique à 100% de *Pulicaria odora*. (A) : *E.coli* ; (B) : *P.aeruginosa* ; (C) : *L.innocua* et (D) : *S.aureus*.

A læxception des extraits acétoniques, les résultats ont montré une forte activité antibactérienne des composés phénoliques de *Pulicaria odora*, sur les deux types de bactéries (Gram négatif et positif), aucune différence significative nøa été observée en terme de sensibilité entre les Gram négatif et positif (p>0,734) (Annexe IV).

Des études ont rapporté le pouvoir antibactérien dœutres espèces du genre *Pulicaria*, à savoir :

Pulicaria orientalis qui a inhibé la croissance des Gram positif (Staphylococcus aureus, Listeria monocytogenes, Bacillus cereus), avec des zones déinhibition allant de 12 à 17 mm (Alzoreky et Nakahara, 2003).

Pulicaria Crispa, qui a montré une activité antibactérienne vis-à-vis de Staphylococcus aureus, Bacillus cereus et Vibrio cholera avec des zones déinhibition de 13-17mm. Ces deux dernières plantes nont aucune activité contre E.coli. (Nickavar et Mojab 2003).

Løextrait méthanolique de *Pulicaria stephanocarpa a* donné une bonne activité contre les Gram positifs (*S.aureus, Staphylococcus epidermidis, Staphylococcus haemolyticus, Bacillus cereus, Micrococcus flavus*). Aucune activité nøa été détectée vis-à-vis dø*E.coli* et *P. aeruginosa* (**Mothana et Lindequist, 2005**).

Contrairement à ces espèces, *Pulicaria undulata* a montré une activité comparable à celle de notre plante vis-à-vis *Staphylococcus aureus* (19mm), *Escherichia coli* (20mm) et *Pseudomonas aeruginosa* (20mm). On note que lœxtrait utilisé étant 10 fois plus concentré que le nôtre (**El-Kamali et Mahjoub, 2009**).

Comparativement avec ces résultats, *Pulicaria odora* a donné une meilleure activité antibactérienne.

III. 2. Etude de løactivité antifongique

Les résultats ont montré que les composés phénoliques de *Pulicaria odora*, sont dotés døune bonne activité antifongique vis-à-vis des trois souches fongiques testées. Løextrait de løthanol 100% a donné la plus haute activité, et løextrait de løacétone 50% semble le moins actif avec une faible activité contre *Aspergillus flavus* et *Aspergillus niger*, et aucune activité vis-à-vis de *T. reesei* (**Tableau V**). Il a été observé que *Trichoderma reesei* est la moins sensible parmi les souches testés, et *Aspergillus niger* et le plus sensible (**Tableau V**).

Tableau V: Résultats de lœctivité antifongique des différents extraits de Pulicaria odora.

| | Diamètres des zones d'inhibition (mm) | | | |
|----------------|---------------------------------------|---------------|---------------|--|
| Solvant | A. flavus | A. niger | T. reesei | |
| Ethanol 100% | $17 \pm 0,57$ | $20 \pm 0,57$ | $14 \pm 0,57$ | |
| Ethanol 70% | $15 \pm 0,57$ | $17 \pm 0,57$ | $11 \pm 0,57$ | |
| Ethanol 50% | $13 \pm 0,57$ | $14 \pm 0,57$ | $10 \pm 0,57$ | |
| Méthanol 100% | $13 \pm 1,00$ | $15 \pm 0,57$ | $10\pm 0,57$ | |
| Méthanol 70% | $10 \pm 0,57$ | $12 \pm 0,57$ | 0 | |
| Méthanol 50% | $8 \pm 0,57$ | $10\pm 0,57$ | 0 | |
| Acétone 100% | $12 \pm 0,57$ | $13 \pm 0,57$ | 0 | |
| Acétone 70% | $11 \pm 0,57$ | $12 \pm 0,57$ | 0 | |
| Acétone 50% | $8 \pm 0,57$ | $10 \pm 0,57$ | 0 | |
| Acide gallique | $17 \pm 0,57$ | 15±0,00 | $12\pm 0,57$ | |
| Acide tannique | 15±1,52 | $13\pm 0,57$ | $14 \pm 0,57$ | |
| Quercétine | $10\pm 0,57$ | 13±1,52 | 11±1,15 | |
| DMSO 1% | 0 | 0 | 0 | |

Résultats et discussion

Etude expérimentale

Aucune activité antifongique nota été détectée pour les autres espèces du genre Pulicaria précédemment citées. Par contre dœutres études ont montré lœctivité antifongique de

quelques plantes de la famille des Asteraceae.

Karabegovi et al. (2011), ont montré une forte activité antifongique d\(\phi Artemisia campestris \)

et Artemisia vulgaris vis-à-vis d\(\varphi \) Aspergillus niger, Candida albicans et Saccharomyces

cerevisiae avec des zones dénhibition de 33,1; 26,5 et 30,6 mm, respectivement.

Une autre étude de Salie et al. (1996), a révélé une faible activité antifongique de Falicia

erigeroides et Eriocephalus africanus (Asteraceae) vis-à-vis de Candida albicans avec des

zones døinhibition allant de 6 à 9 mm.

Løanalyse statistique a montré que les souches fongiques sont moins sensibles (sauf

Aspergillus niger), que les souches bactériennes avec p <0,01 (Annexe IV).

À la lumière des résultats du dosage des polyphénols totaux, les tests doactivité

antimicrobienne et løanalyse statistique des données ; on a suggéré que løéthanol 100% est le

meilleur solvant pour lœxtraction des composés phénoliques présentant une activité

antimicrobienne, de Pulicaria odora.

III.3. Détermination des concentrations minimales inhibitrices, bactéricides et fongicides

Les CMI sont déterminées en utilisant différentes concentration de lœxtrait éthanolique

à 100%. Il est notable que les CMI sont éloignées des CMB/CMF pour toutes les souches

testées. Afin de déterminer løeffet bactériostatique ou bactéricide (fongicide/fongistatique)

Loukabi, 1999, a proposé le classement suivant :

CMI/CMB < 4 : Bactéricide/fongicide.

CMI/CMB Ö4: Bactériostatique/fongistatique.

Les résultats sont résumés dans le tableau VI.

40

Tableau VI: Les concentrations minimales inhibitrices, bactéricides et fongicides de lœxtrait éthanolique à 100% de *Pulicaria odora*.

| Concentrations | CMI | CMB/CMF | CMI/CMB |
|----------------|------|---------|-----------|
| | g/ml | g/ml | (CMI/CMF) |
| Souches | | | |
| P. aeruginosa | 1250 | >5000 | 4 |
| S. aureus | 106 | 2500 | 23,58 |
| L. innocua | 625 | 2500 | 4 |
| E. coli | 625 | 2500 | 4 |
| A. flavus | 106 | 5000 | 23,58 |
| A. niger | 312 | 5000 | 16,06 |
| T. reesei | 312 | 5000 | 16,06 |

Selon le tableau VI, la CMI la plus élevée a été retrouvée pour P. aeruginosa, tandis que les plus basses CMI et CMB ont été trouvées dans le cas de S. aureus, cette remarque est prouvée statiquement (p < 0,01): $Pseudomonas \ aeruginosa$ est statistiquement la souche la moins sensible parmi les sept souches testées (**Annexe IV**).

Les résultats obtenus ont révélé une meilleure activité à lægard des souches Gram positif contrairement aux souches Gram négatif testées. Généralement les extraits de plantes sont plus actifs à lægard des Gram positif que des Gram négatifs (Okoro et al., 2010).

Les résultats obtenus par **Alzoreky et Nakahara**, 2003 et **El-Kamali et Mahjoub**, 2009 concordent avec ceux observés dans notre étude. La resistance des bactéries Gram négatif à læncontre des substances naturellement antibactériennes est liée à leur surface hydrophile et leur membrane externe riche en lipopolysaccharides (LPS) qui servent de barrière de protection (**Russell et Donnell**, 1999).

Dans une synthèse bibliographique de **Tajkarimi et al.** (2010), il a été rapporté que les *Pseudomonas*, et plus particulièrement *Paeruginosa*, sont le groupe bactérien le moins sensible à læffet des composés bioactifs.

En fin, selon les résultats des rapports CMI/CMB et CMI/CMF on suggère que les composés phénoliques de *Pulicaria odora* ont une activité bactériostatique et fongistatique vis-à-vis des souches testés.

IV. Séparation des composés phénoliques

IV. 1. Détermination du meilleur système de séparation par CCM

Vingt-six systèmes solvants ont été testés pour leur aptitude à séparer les composés phénoliques de *Pulicaria odora* (**Tableau VII**), le meilleur système sera utilisé pour la séparation sur colonne. Après migration et révélation, tous les spots sont dénombrés et les *Rf* sont calculés, une étude statistique est menée pour le choix du meilleur système.

Tableau VII: Résultats de la séparation des composés phénoliques de *Pulicaria odora* par CCM.

| Système solvant | Composition | Proportions | Spots | Rf |
|-----------------|------------------------------------|-------------|-------|--|
| A | Ether de pétrole/méthanol | 1/1 | 2 | 0,08; 0,15 |
| A | // | 5/3 | 3 | 0,02; 0,08; 0,18 |
| A | // | 8/3 | 3 | 0,02; 0,06; 0,13 |
| A | // | 5/1 | 1 | 0,13 |
| A | // | 2/1 | 3 | 0,04; 0,10; 0,18 |
| В | Hexane/méthanol | 8/3 | 2 | 0,09; 0,14 |
| В | // | 5/1 | 3 | 0,05; 0,07; 0,10 |
| В | // | 2/1 | 3 | 0,16; 0,21; 0,27 |
| С | Ether de | 2/2/1 | | 0,07; 0,12; 0,26; 0,46; |
| | pétrole/Chloroforme/Acétate | | 8 | 0,60; 0,73; 0,92; 1 |
| | døéthyle | | | 0.15 0.20 0.24 0.4 0.46 |
| C | // | 2/2/1 | 10 | 0,17; 0,29; 0,34; 0,4; 0,46; 0,52; 0,56; 0,69; 0,78; |
| | // | 2/3/1 | 12 | 0,52; 0,56; 0,69; 0,78; 0,84; 0,9; 0,94 |
| С | // | 1/1/3 | 7 | 0,18; 0,22; 0,36; 0,47; |
| | " | 1, 1, 5 | , | 0,54; 0,77; 0,88; 0,96 |
| D | Chloroforme/Acetate déthyle | 3/1 | 2 | 0,43; 0,51 |
| D | // | 2/5 | 4 | 0,08; 0,18; 0,55; 0,81 |
| Е | Chloroforme/Acétone | 1/4 | 2 | 0,09; 0,97 |
| Е | // | 1/2 | 3 | 0,12; 0,53; 7,26 |
| F | Ether de pétrole/Acétate døéthyle | 1/2 | 4 | 0,20; 0,25; 0,44; 1 |
| F | // | 1/4 | 5 | 0,30; 0,41; 0,51; 0,70; 1 |
| F | // | 1/3 | 3 | 0,19; 0,28; 0,65 |
| G | Ether de pétrole/Méthanol | 1/4 | 2 | 0,13; 0,66 |
| G | // | 1/3 | 2 | 0,62; 0,78 |
| Н | Ether de pétrole/Chloroforme | 5/1 | 1 | 0,96 |
| Н | // | 3/1 | 2 | 0,88; 0,97 |
| Н | // | 3/2 | 1 | 0,90 |
| I | Hexane/Acétate døéthyle/Méthanol | 5/1/1 | 2 | 0,02; 0,06 |
| I | // | 5/0,5/1 | 5 | 0,02; 0,04; 0,09; 0,18; 2,70 |
| J | Hexane/Chloroforme/Acétate déthyle | 1/3/1 | 3 | 0,15; 0,27; 0,38 |

Løanalyse statistique a montré que le mélange (Acétate døéthyle/ Chloroforme/ Ether de pétrole) est le meilleur système pour la séparation des composés phénoliques de *Pulicaria odora*, avec une haute signification (p<0,001) (**Annexe IV**).

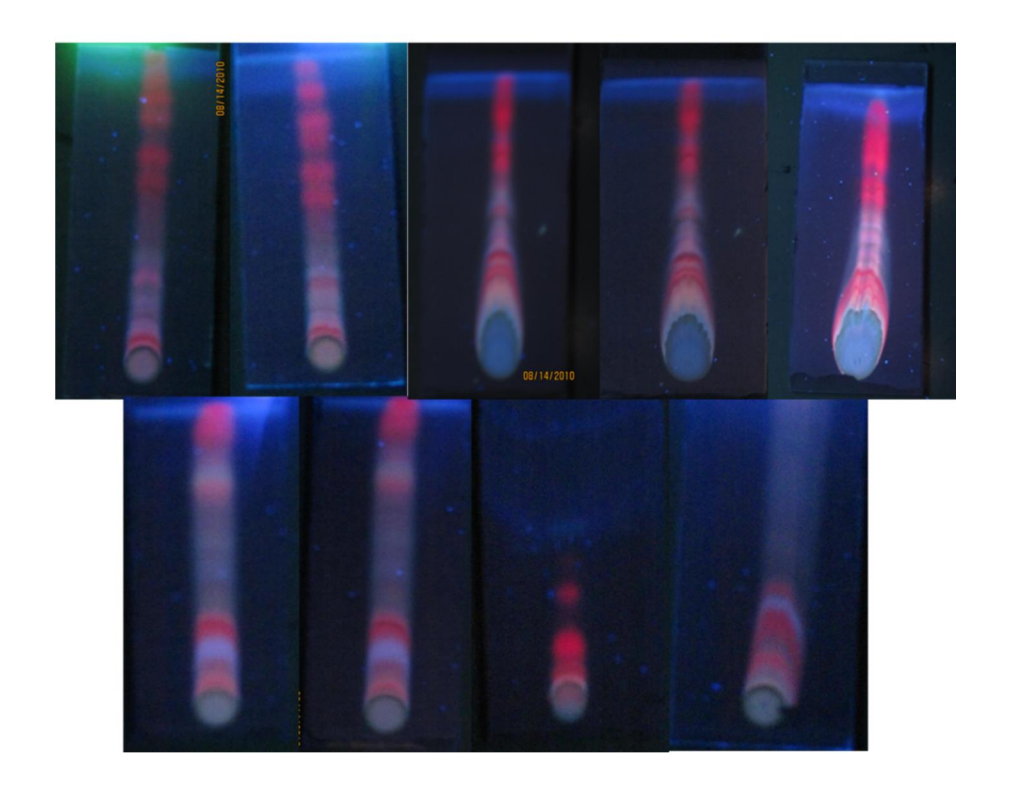


Figure 23 : Quelques plaques CCM révélées par UV à 365 nm.

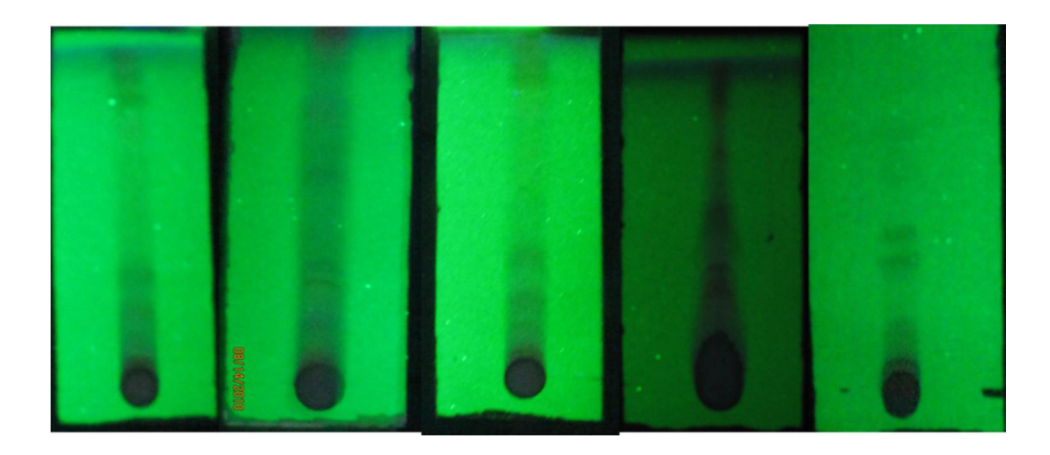


Figure 24: Quelques plaques CCM révélées par UV à 254 nm.

IV. 2. Chromatographie sous vide sur colonne sèche

Lœlution est réalisée en utilisant un gradient de polarité ascendant (Ether de pétrole/Chloroforme/Acétate dœthyle). 36 fractions ont été récupérées, et testées pour leur activité antibactérienne. Les résultats sont consignés dans le **Tableau VIII**.

Tableau VIII: Activité antibactérienne des fractions récupérées par chromatographie sous vide sur colonne sèche, de lœxtrait de *Pulicaria odora*.

| Tachons | E.coli | S.aureus | L.innocua | P.aeruginosa |
|---------|--------|----------|-----------|--------------|
| 1 | | | | |
| 2 | | | | |
| 3 | | ± | ± | |
| 4 | | | ± | |
| 5 | | ± | ± | |
| 6 | | ± | ± | |
| 7 | | ± | | |
| 8 | | | | |
| 9 | | | | |
| 10 | | | | |
| 11 | | | | |
| 12 | + | + | | |
| 13 | | | | |
| 14 | | | | |
| 15 | | | | |
| 16 | + | | | + |
| 17 | | | | |
| 18 | | | | |
| 19 | | | | |
| 20 | | | | |
| 21 | | | | |
| 22 | | | | |
| 23 | | | | |
| 24 | | | | |
| 25 | | | | |
| 26 | | | | |
| 27 | | | | |
| 28 | | | | |
| 29 | | | | |
| 30 | | | + | |
| 31 | | | ± | |
| 32 | | | | |
| 33 | + | + | + | |
| 34 | | | | |

Selon le tableau VII, on dénombre 10 fractions actives, regroupées sur 5 groupes comme suit :

Les fractions actives (3, 4, 5, 6 et 7), nøayant quøune faible activité vis-à-vis des Gram positifs, elles ne sont pas destinées à être analysées par HPLC.

Fraction 12, éluée à lœ Ether de pétrole/ chloroforme (1/9), active contre *E.coli* et *S.aureus* (Fraction active I).

Fraction 16, éluée au Chloroforme/Acétate déthyle (9/1), douée de activité contre les Gram négatifs, (la seule fraction active vis-à-vis de *P.aeruginosa*) ; **Fraction active II.**

Fractions 30, éluée au Chloroforme/Acétate døéthyle (2/8 et 1,5/8,5 respectivement), ayant une activité vis-à-vis de *L.innocua* uniquement, ce spectre étroit rend cette fraction très intéressante du point de vue thérapeutique (**Fraction active III**).

Fraction 33, éluée par le Chloroforme/Acétate dœthyle (0,5/9,5), ayant un spectre dœtivité large vis-à-vis de toutes les souches testées sauf *P.aeruginosa*; cœst la **Fraction active IV.**

IV. 3. Analyse des fractions actives par HPLC

Les 4 fractions actives, issues de la séparation sur colonne sèche des composés phénoliques de *Pulicaria odora*, ainsi que des standards ont subi une analyse par RP-HPLC analytique, (**Tableau IX**).

Tableau IX : Identification de quelques composés phénoliques de *Pulicaria odora*, en utilisant des standards.

| Standards | Temps de rétention | Fraction | Fraction | Fraction | Fraction |
|------------------|--------------------|----------|----------|----------|----------|
| | | I | II | III | IV |
| Ac. caféique | 3,13 | - | - | - | + |
| Ac. p-coumarique | 3,86 | - | + | - | - |
| Rutine | 5,33 | - | + | - | - |
| Quercétine | 3,57 | + | - | - | - |
| Ac. gallique | 3,61 | | + | - | - |
| Ac. tannique | 2,85 | + | - | - | - |

IV. 3. 1. Chromatogramme de la fraction active I

La fraction active I est caractérisée par la présence de la quercétine (pic numéro 7), et de løacide tannique (pic numéro 6), en grande quantité (21,49 % et 16,26 % respectivement), avec un composé majeur (23,30%) ayant un temps de rétention de 7,67 min. Cette fraction présenté une activité antibactérienne vis-à-vis de *S.aureus* et *E.coli* (**Fig. 25**) et **Tableau X.**

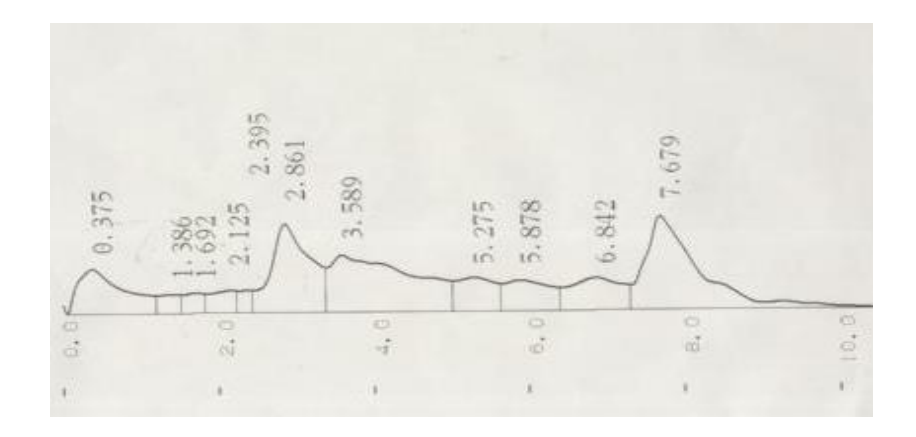


Figure 25 : Le chromatogramme de la fraction active I.

Tableau X : Résultats de løanalyse par HPLC de la fraction active I.

| Numéro du pic | Temps de retention (min) | Pourcentage |
|---------------|--------------------------|-------------|
| 1 | 0,37 | 9,76 |
| 2 | 1,38 | 1,82 |
| 3 | 1,69 | 1,87 |
| 4 | 2,12 | 2,66 |
| 5 | 2,39 | 1,43 |
| 6 | 2,86 | 16,26 |
| 7 | 3,58 | 21,49 |
| 8 | 5,27 | 6,07 |
| 9 | 5,87 | 6,36 |
| 10 | 6,84 | 7,69 |
| 11 | 7,67 | 23,30 |

Løactivité antibactérienne de la fraction active I vis-à-vis de *S.aureus* et *E.coli* est peut être liée à la richesse en quercétine et acide tannique. Plusieurs études ont rapporté løactivité inhibitrice de ces derniers vis-à-vis de divers microorganismes.

Rauha et al. (2000), ont rapporté que la quercétine est active contre Staphylococcus aureus, Staphylococcus epidermidis, Bacillus subtilis, Micrococcus luteus, Escherichia coli et Pseudomonas aeruginosa. Plaper et ses collaborateurs ont rapporté que la quercétine se lie à la sous-unité GyrB de løADN gyrase de E.coli et inhibe ses activité ATPasique (Plaper et al., 2003). Løactivité antibactérienne de la quercétine contre E.coli peut être en moins partiellement attribuée à løinhibition de løADN gyrase (Ohemeng et al., 1993).

Widsten et ses collaborateurs, ont observé que løacide tannique a inhibé la croissance de S. aureus (Widsten et al., 2010).

Akiyama et al., (2001) ont rapporté que loacide tannique a une grande capacité à lier le fer et peut fonctionner comme un sidérophore Loinhibition de la croissance des bactéries intestinales (B.fragilis, C. perfringens, E.coli et E. cloacae) par loacide tannique est probablement liée à sa capacité élevée à lier le fer (Zaidi-Yahiaoui et al., 2008).

IV. 3. 2. Chromatogramme de la fraction active II

Caractérisée par une activité anti Gram négatif, riche en rutine (18,15%) (Pic numéro 8), elle contient de løacide p-coumarique (5,40%) (Pic numéro 5) et de løacide gallique (5,68%) (Pic numéro 4), cette fraction est constituée majoritairement par le composé ayant un temps de rétention $tr = 7,70 \min (47,16\%)$ (**Fig. 26**)(**Tableau XI**).

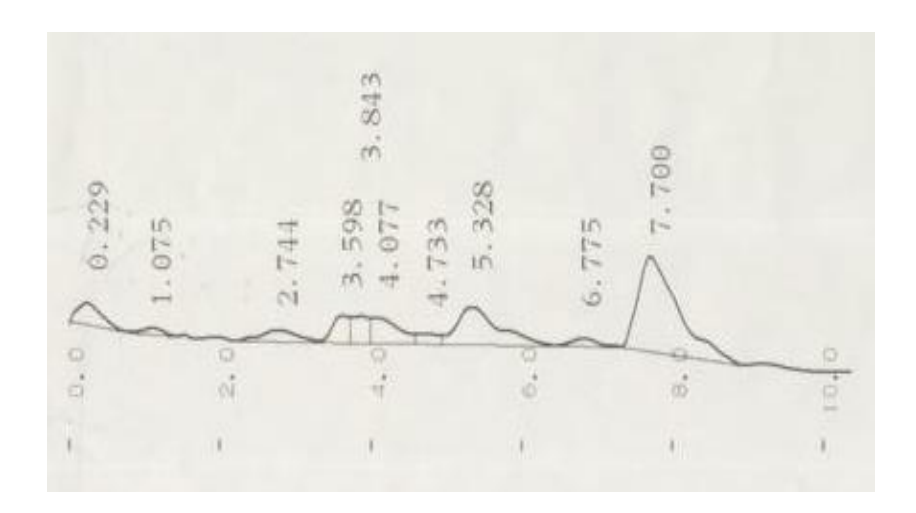


Figure 26 : Le chromatogramme de la fraction active II.

Tableau XI : Résultats de løanalyse par HPLC de la fraction active II.

| Numéro du pic | Temps de retention (min) | Pourcentage |
|---------------|--------------------------|-------------|
| 1 | 0,22 | 6,03 |
| 2 | 1,07 | 1,46 |
| 3 | 2,74 | 5,14 |
| 4 | 3,59 | 5,68 |
| 5 | 3,84 | 5,40 |
| 6 | 4,07 | 8,25 |
| 7 | 4,73 | 2,58 |
| 8 | 5,32 | 18,15 |
| 9 | 6,77 | 2,10 |
| 10 | 7,7 | 45,16 |

Les acides phénoliques (acide cinnamique, acide coumarique, acide caféique et férullique) ont montré une bonne activité contre les bactéries à Gram positif et seulement une faible activité contre les bactéries à Gram négatif (*Escherichia coli, Salmonella enterica*) à forte concentration (**Rodrigeuz-Vaquero et al., 2007a**).

Il est rapporté que la rutine, forme glycolysée de la quercétine, est la plus active des flavonoïdes avec une activité anti-Listeria (**Rodrigeuz-Vaquero et** *al.*, **2007b**).

Løactivité antibactérienne de la fraction active II vis-à-vis uniquement les bactéries à Gram négatif ne peut pas être liée à la présence de la rutine, de løacide p-coumarique et de løacide gallique, mais plutôt au composé majoritaire ayant un temps de rétention de (7,70 min), une analyse supplémentaire pour caractériser ce composé est donc nécessaire.

IV. 3. 3. Chromatogramme de la fraction active III

Le chromatogramme de la fraction active III est caractérisé par trois pics principaux (pics 3, 6 et 8) ayant des temps de rétention de 3,25 ; 5,36 et 8,39 min, avec des pourcentages de 21,01 %, 52,51% et 6,98 % respectivement. Cette fraction est douée døune activité anti *Listeria* (**Fig. 27**) (**Tableau XII**).

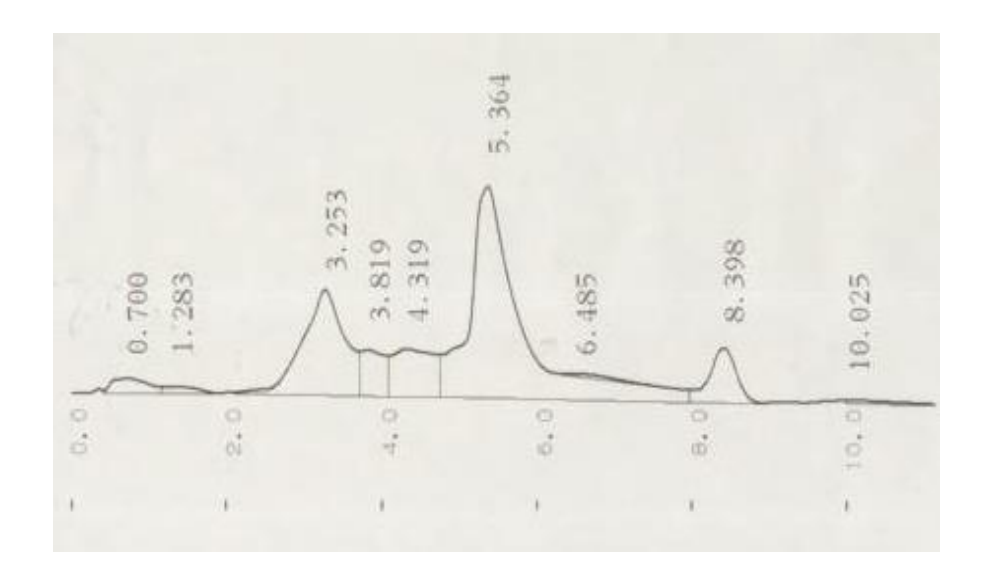


Figure 27 : Le chromatogramme de la fraction active III.

Tableau XII: Résultats de løanalyse par HPLC de la fraction active III.

| Numéro du pic | Temps de retention (min) | Pourcentage |
|---------------|--------------------------|-------------|
| 1 | 0,7 | 2,58 |
| 2 | 1,28 | 0,98 |
| 3 | 3,25 | 21,01 |
| 4 | 3,81 | 5,14 |
| 5 | 4,31 | 9,48 |
| 6 | 5,36 | 52,51 |
| 7 | 6,48 | 0,70 |
| 8 | 8,39 | 6,98 |
| 9 | 10,02 | 0,59 |

IV. 3. 4. Chromatogramme de la fraction active IV

Cette fraction est caractérisée par un spectre déactivité large, elle est constituée principalement par la présence de un composé ayant un temps de rétention de 5,06 min (71,94%), avec la présence de léacide caféique avec un taux de 3,49% (tr = 3,10) (**Fig. 28**) (**Tableau XIII**).

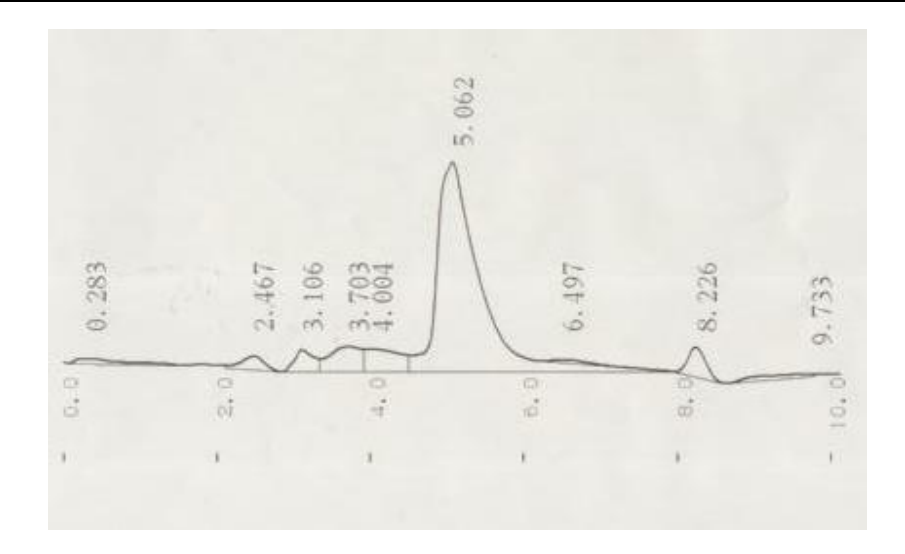


Figure 28 : Le chromatogramme de la fraction active IV.

Tableau XIII : Résultats de løanalyse par HPLC de la fraction active VI.

| Numéro du pic | Temps de retention (min) | Pourcentage |
|---------------|--------------------------|-------------|
| 1 | 0,28 | 1,94 |
| 2 | 2,46 | 2,63 |
| 3 | 3,10 | 3,49 |
| 4 | 3,70 | 6,43 |
| 5 | 4,00 | 6,13 |
| 6 | 5,06 | 71,94 |
| 7 | 6,49 | 0,95 |
| 8 | 8,22 | 4,25 |
| 9 | 9,73 | 2,19 |

Dans notre étude, la résolution de la chromatographie sous vide sur colonne sèche été très variable entre les différentes fractions actives. Le plus haut taux de purification a été trouvé avec la fraction active IV (71,94%).

Selon **Pedersen** et **Rosenbohm** (2001), il est possible d\(\precavoir \) des produits purs \(\text{à} \) 95% par HPLC en utilisant cette technique. La r\(\text{esolution} \) est influenc\(\text{ee} \) directement par la qualit\(\text{du} \) gel, la longueur de la colonne, et le gradient utilis\(\text{e} \).

Dans notre cas, il est possible d\(\text{augmenter} \) la r\(\text{solution} \) en utilisant un gradient avec des pas de 1%. **Harwood** (1985), a sugg\(\text{re} \) que l\(\text{gutilisation} \) du gel de silice pour la CCM sans liant

ce gel. En plus de cette propriété, il est moins cher que ceux utilisé pour les chromatographies sur colonne, ce qui abaisse significativement le cout de cette technique.

Selon Harwood et *al.* (1999), une meilleure séparation est obtenue si le mélange à séparer ne contient aucun composé polymère. Donc il préférable déliminer préalablement toutes substances polymères avant léapplication de cette technique.

CONCEUSION

Dans le but de déterminer la teneur en composés phénoliques, et dévaluer léactivité antimicrobienne de plante médicinale locale *Pulicaria odora*; les extrait méthanoliques, éthanoliques et acétoniques ont fait léobjet de cette étude.

Le rendement de læxtraction obtenu varie entre 3,66 % et 32,66 %, selon les solvants utilisés il peut être considéré comme un bon taux dæxtraction par rapport aux autres études rapportées précédemment. La méthode utilisée pour læxtraction est la macération dans le bain marie à 37°C pendant 24h, cette méthode sæst révélée très efficace pour læxtraction des polyphénols de *Pulicaria odora*.

Notre plante peut être considérée comme løune des espèces riches en polyphénols et en flavonoïdes : les taux allant jusqu \hat{a} 158,38 \pm 0,60 mg EQ Ac gallique/g et 23,96 \pm 1,55 mg Eq Quercétine/g respectivement. Les valeurs les plus élevées ont été obtenues avec løextrait éthanolique à 100%.

Les 9 extraits ont été testés pour leur activité antimicrobienne à légard de 7 souches, dont quatre souches bactériennes (*E.coli* ATCC 25922, *S.aureus* ATCC 25923, *L.innocua* CLIP 74915 et *P.aeruginosa* ATCC 27853) et 3 souches fongiques (*Aspergillus flavus* 2CA 936, *Aspergillus niger* NRRL 391 et *T. reesei* ATCC 76765).

A læxception des extraits acétoniques, tous les extraits ont montré une bonne activité antimicrobienne vis-à-vis des sept souches testées. Læxtrait éthanolique à 100% a été le plus actif vis-à-vis de toutes les souches testées. Il est à noter que les souches fongiques sont moins sensibles que les souches bactériennes, et les Gram négatives sont moins sensibles que les Gram positives : *P.aeruginosa* a enregistré la plus haute CMI à savoir 25 mg/ml.

Par ailleurs *T. reesei* a été la souche la moins sensible parmi les sept souches testées dont la plus grand zone døinhibition a été obtenue avec løextrait éthanolique à 100%, avec un diamètre de 14,33 mm. A la lumière de ces résultats et des tests statistiques, on a estimé que løéthanol à 100% peut être considéré comme le meilleur solvant pour løextraction des composés phénoliques, à activité antimicrobienne, de la plante *Pulicaria odora*.

Pour la séparation des composés phénoliques de *Pulicaria odora*, nous avons testé la méthode de la chromatographie sous vide sur colonne sèche (DCVC). Le choix de cette méthode est basé sur le fait quœlle est non couteuse, facile à réaliser, rapide.

Le choix du meilleur système solvant été réalisé en utilisant le test de comparaisons multiples (HSD), pour les résultats de la séparation par CCM. Un bon système solvant est déterminé par : le nombre de spots, la moyenne de la distance entre les spots et la distance entre le premier et le dernier spot. Dans notre test statistique nous avons pris en compte quœune seule variable (nombre de spots).

26 systèmes solvant ont été testés, løanalyse statistique a révélé que le mélange (Ether de pétrole/Chloroforme/Acétate døéthyle) a été le meilleur système de séparation parmi les systèmes solvant testés.

Ce meilleur système a été utilisé pour préparer un gradient de polarité ascendant avec des pas de 5%, pour lœ́lution des composés phénoliques dans la chromatographie sur sous vide sur colonne sèche. 34 fractions ont été récupérées et testées pour leur activité antibactérienne. Seulement cinq fractions ont été trouvées actives.

Pour évaluer læfficacité de la méthode de séparation sur colonne sèche, on a réalisé une analyse par HPLC en phase inverse pour les quatre fractions les plus actives contre les souches testées. Løanalyse des quatre chromatogrammes obtenus, suggère que la méthode de la chromatographie sous vide sur colonne sèche peut être considérée comme efficace et prometteuse pour la séparation de grande quantité de polyphénols (jusquøà quelque grammes en cas døutilisation de grandes colonne).

Le plus haut taux de purification a été obtenu avec la fraction active IV avec 71,94% de pureté, cette valeur peut être facilement améliorée en utilisant un système dœlution avec des pas de 1% pour la préparation du gradient.

Lødentification de composés phénoliques présents dans les différentes fractions actives, nøa pas eu lieu à cause de løabsence døune base de données liée à appareille HPLC utilisé. Néanmoins on a pu caractériser quelques-uns en utilisant des standards à savoir la quercétine la rutine, løacide tannique, løacide p-coumarique, løacide gallique, løacide caféique.

La plante *Pulicaria odora* sæst avérée riche en polyphénols et flavonoïdes, dotée døune forte activité antimicrobienne, avec un effet bactériostatique et fongistatique.

La chromatographie sous vide sur colonne sèche a permis d\u00e1voir des produits semi pure très facile à purifier par RP-HPLC pr\u00e9paratoire, dans le but d\u00e1voir des compos\u00e9s pure \u00e0 95\u00f3, qui

peuvent être subit une caractérisation par spectroscopie de masse (SM) et résonance magnétique nucléaire (RMN).

Les plantes médicinales restent toujours la source fiable des principes actifs connus par leurs propriétés thérapeutique. Notre plante *Pulicaria odora* est une source prometteuse døagents antimicrobiens. Døautres études concernant la purification et løidentification des molécules bioactives sont nécessaires.

Sachant que notre pays possède une biodiversité immense dont chaque plante se caractérise par un réservoir assez important de métabolites secondaires avec des caractéristiques thérapeutiques et pharmacologiques particulières qui demandent dœre exploitées par les recherches. A cet effet, et comme perspectives nous proposons de :

- Purifier et caractériser les molécules à activité anti *Pseudomonas*.
- > Approfondir lώtude de lœactivité antifongique de Pulicaria odora.
- Caractérisation de nouvelles substances à activité antimicrobienne en utilisant la spectroscopie de masse et la résonance magnétique nucléaire.
- ➤ Une identification complète des composés de *Pulicaria odora*.
- Létude du mécanisme de léaction bactéricide ou fongicide des composés à effets antimicrobien.
- Faire une étude complémentaire sur loactivité antioxydante de *Pulicaria odora*.

REFERENCES BIBLICCRAPHIQUES



Akiyama H, Fujii K, Yamasaki O, Oono T et Iwatsuki K. (2009). Antimicrobial action of several tannins against *Staphylococcus aureus*. Journal of Antimicrobial Chemotherapy. **48**, 487-491.

Albano SM. et Miguel MG. (2011). Biological activities of extract of plants grown in Portugal. Industrial Crops and Products. **33**: 338-343.

Alcaráz LE, Blanco SE, Puing ON, Tomas F et Ferreti FH. (2000). Antibacterial activity of flavonoids against méthicilin resistant *Staphylococcus aureus* strains. Journal of Theoritical Biology. **205**, 231-240.

Algabr MN, Ameddah S, Menad A, Mekkiou R, Chalchat JC, Benayeche S et Benayeche F. (2012). Essential oil composition of *Pulicaria Jaubertii* from Yemen. International journal of medicinal and aromatique plants. 2(4). 688.

Al-Hazimi M et Al-khatan Z. (1992). Chemistry of various Pulicaria species (Asteraceae). Journal of the chemical society of Pakistan. **14** (3): 233.

Al-Momani W, Abu-Basha E, Janakat S, Nicolas RAJ et Ayling RD. (2007). *In vitro* antimycoplasmal activity of six Jordanian medicinal plants against three Mycoplasma species. Trop Anim Health Prod. **39**, 515-519.

Al-Yahya MA, El-Sayed AM, Mossa JS, Kozlowski JF, Antoun MD, Ferin M, Baird WM, Cassady JM. (1988). Potential cancer chemopreventive and cytotoxic agents from *Pulicaria cripa*. Journalof Natural Products. 51 (3), 6216624.

Alzoreky NS et Nakahara K. (2003). Antibacterial activity of extracts from some edible plants commonly consumed in Asia. International Journal of Food Microbiology, 80: 225.

Ani V, Varadaraj MC, Naidu KA. (2006). Anioxydant and antimicrobial activities of polyphenolic compounds from bitter cumin (*Cuminum nigrum* L.). Eur Food Res Tchnol. 224, 109-155.

Awadh NAA, Julich WD, Kusnick C et Lindequist U. (2001). Screening of Yemeni medicinal plants for antibacterial and cytotoxic activities. Journal ef Ethnopharmacology. **74,** 173-179.



Bahurun T. (1997). Substances naturelles actives: la flore mauricienne, une source déapprochement visionnoment potentielle. Food and Agricultural Research Council, Réduit, Mauritius. 83-94.

Basile A, Giordano S, Lopez-Sáez JA et Cobianchi RC. (1999). Antibacterial activity of pure flavonoids isolated from mosses. Phytochemistry. 52, 1479-1482.

Bayer E, Butter KP, Finkenzeller X et Grau J. (1990). Guide de la flore méditeranné. Edition : Delachaux et Niestlé, S. A. Paris. p : 206-207.

Beattie KD, Raouf R, Gander L, May TW, Ratcowsky CD, Donner CD, Gill M, Grice ID et Tiralongo E. (2010). Antimicrobial methabolites from Australian macrofungi from genus Cortinarius. Phytochemistry, xxx, xxx-xxx. (Article in press).

Bernard FX, Sable S, Cameron B, Provost J, Desnottes JF, Crouzet J et Blanche F. (1997). Glycosylated flavones es selective inhibitors of topoisomerase IV. Antimcrobial Agents and Chemotherapy. 41, 992-998.

Boban N, Tonkic M, Modun D, Budimir D, Mudnic I, Davorka Sutlovic D, Punda-Polic V et Boban M. (2010). Thermally treated wine retains antibacterial effects to food-born pathogens. Food Control. 21, 1161-1165.

Bohm BA, et Tod F. (2001). Flavonoids of the Sunflower Family (Asteraceae). Edition Spriger. New York. 15p.

Bouayed J, Piri K, Rammel H, Dicko A, Desor F, Younos C et Soulimani R. (2007). Comparative evaluation of the antioxydant potential of some Iranian medicinal plants. Food chemistry. **104**: 364-368.

Briones-Nagata MP, Martinez-Goss MR et Hori K. (2007). A comparison of morphocytology and chemical composition of the two forms of the cyanobacterium, Nostoc commune Vauch, from Philippines and Japan. Journal of Applied Phycology. 19, 675-683.

Brown AK, Papaemmanouil A, Bhowruth V, Bhatt A, Dover LG et Besra GS. (2007). Flavonoid inhibitors as novel antimycobacterial agents targeting Rv0636, a putative dehydratase enzyme involved in *Mycobacterium tuberculosis* fatty acids synthase II. Microbiology. **153**, 3314-3322.

Brunton J. (1999). Pharmacognosie, phytochimie des plante medecinales. 3^{eme} Edition. Edition. Tec et Doc. Lavoisier. Paris. 1120p.

Bssaibis G et Meziane A. (2009). Activité antibacterienne de Dittrichia viscosa (L.) W. Greuter-Review. Microbiol. Ind. San et Environn. **3** (1), 44-55.

Burger O, Weiss E, Sharon N, Tabak M, Neeman I et Ofek I. (2002). Inhibition of *Helicobacter pylori* adhesion to humain gastric mucus by a high-molecular-wheight constituent of cranberry juice. Critical Reviews in Food Science and Nutrition. 42, 279-284.

Buzzini P, Turchetti B, Ieri F, Goretti M, Branda E, Mulinacci M et Romani A. (2007). Catechins and proanthocyanidins: naturally occouring *O*-heterocycles with antimicrobial activity. Top Heterocycl Chem. **10**, 239-263.



Caturla N, Vera-Samper E, Villalain J, Mateo CR et Micol V. (2003). The relationship between the antioxydant and antibacterial properties of galloylated catechins and the structure of phospholipid model membranes. Free Radical Biology and Medecine. 34, 648-662.

Cevallos-Casals BA, et Cisneros-Zevallos L. (2010). Impact of germination on phenolic content and antioxydant activity of 13 edible seed species. Food Chemistry. 119, 1485-1490.

Chanwitheesuk A, Teerawutgulrag A, Kilburn JD et Rakariyatham N. (2007). Antimicrobial gallic acide from *Caesalpinia mimosoides* Lamk. Food Chemistry. **100**, 1044-1048.

Cho YS, Schiller NL, Kahng HY et Oh KH. (2007). Cellular Response and Proteomic Analysis of *Escherichia coli* Exposedd to Green Tea Polyphenols. Curr Microbiol. 55, 501-506.

Cimolai N et Cimolai T. (2007). The cranberry and the urinairy truct. Eur J Clin Microbiol Infect Dis. 26, 767-776.

Comité de løantibiogramme de la Société Française de Microbiologie. Communiqué 2010.

Conforti F, Sosa S, Marrelli M, Menichini F, Statti GA, Uzunov D, Tubaro A, Menichini F. (2009). The protective ability of Mediterranean dietary plants against the oxidative damage: The role of radical oxygen species in inflammation and the polyphenol, flavonoid and sterol contents. Food Chemistry. 112: 592.

Cottiglia F, Loy G, Garau D, Floris C, Caso M, Pompei R et Bonsognore L. (2001). Antimicrobial evaluation of coumarins and flavonoids from the stems of Daphne gnidium L. Phytomedecine. 8 (4), 302-305.

Cowan MM. (1999). Plants products as antimicrobial agents. Clinical Microbiology Reviews. 12(4), 564-582.

Cushnie TPT et Lamb AJ. (2005a). Antimicrobial activity of flavonoids. International Journal of Antimicrobial Agents. 26, 343-356.

Cushnie TPT et Lamb AJ. (2005b). Detection of galangin-induced cytoplasmic membrane damage in *Staphylococcus aureus* by measuring potassium loss. Journal of Ethnopharmacologie. **101**, 243-248.



De Bruyne T, Pieters L, Deelstra H et Vlietinck A. (1999). Condensed vegetable tannins : Biodeversity in structure and biological activities. Biochemical Systematic and Ecology. **27**, 445-459.

Dembitsky VM. (2005). Astonishing diversity of natural surfactants: 6. Biologically active marine and terrestrial alkaloid glycosides- a review. Lipids. **41**(1), 1-27.

Derbel S et Ghedira K. (2005). Les phytonutriment et leur impact sur la santé. Phytothérapie. **1**, 28-34.

Dietrich H et Pour-Nikfardjam MS. (2009). Influence of phenolic compounds and tannins on wine-related microorganisms. Biology of Microorganismes on Grapes, in Must and in Wine. 307-334.

Djeridane A, Yousfi M, Nedjemi B, Boutassouna D, Stocker P et Vidal N. (2006). Antioxydant activity of some Algerian medecinale plants extracts countaining phenolic compounds. Food Chemistry. 97, 654-660.



Eldeen IMS, Elgorashi EE et Van Staden J. (2005). Antimicrobial anti-inflammatory anticholinesterase and mutagenic effects of extracts obtained from some trees used in South African traditional medicine. Journal of Ethopharmacology. 102, 457-464.

El-Kamali HH et Mahjoub SA. (2009). Antibacterial Activity of *Francoeuria crispa*, *Pulicaria undulata*, *Ziziphus spina-christi* and *Cucurbita pepo* Against Seven Standard Pathogenic Bacteria. Ethnobotanical Leaflets. **13**: 22-33.

El-Seedi RH, Burman R, Mansour A, Turki Z, Boulos L, Gullbo J et Goransson U. (2013). The traditional medical uses and cytotoxic activities of sixty-one Egyptian plants: Discoveryofanactivecardiacglycosidefrom Urgineamaritima. Journal of Ethnopharmacology. 145, 746-757

Ezoubeiri A, Gadhi CA, Fdil N, Benharref A, Jana M et Vanhaelen M. (2005). Isolation and antimicrobial activity of two phenolic compounds from *Pulicaria odora* L. Journal of Ethnopharmacology. **99**, 2876292.



Frutos P, Hervás G, Giráldez FJ et Mantecón AR. (2004). Review. Tannins and ruminant nutrition. Spanish Journal of Agrecultural Research. 2(2), 191-202.



Gaussen H, Leroy J-F et Ozenda P. (1982). Précis de botanique 2 : Végétaux supérieurs. Ed. Masson, Paris. 112p.

Ghedira K. (2005). Les flavonoïdes: structure, propriétés biologiques, rôle prophylactique et emploi en thérapeutique. Phytothérapie. **4,**162-169.

Goel G, Puniya AK, Aguilar CN et Singh K. (2005). Interaction of gut microflora with tannins in feeds. Naturwissenschaften. 92, 497-503.

González-Segovia R, Quintanar JL, Salinas E, Ceballos-Salazar R, Eviles-Jiménez F et Torres-López J. (2008). Effect off flavonoid quercetine on inflammation and lipid peroxydation induced by *Helicobacter pylori* in gastric mucosa of guinea pig. Journal of Gastroenterology. **43**, 441-447.

Gravot A. (2002). Etude de P450s impliqué dans la biosynthèse des furocoumarines chez *Ruta graveolens*. Thèse de doctorat, Institut National Polytechnique de Lorraine. (INPL), 221p.



Halliwell, B. (2008). Are polyphenols antioxydants or pro-oxydants? What we do learn from cell culture and in vivo studies?. Archive of Biochemistry and Biophysics. **xxx**, xxx-xxx (Article in press).

Hanbali FEL, Akssira M, Ezoubeiri A, Gadhi CA, Mellouki F, Benherraf Ahmed, Blazquez AM et Herminio B. (2005). Chemical composition and antibacterial activity of essential oil of *Pulicaria odora* L. Journal of Ethnopharmacology. **99**, 3996401.

Haraguchi H, Tanimoto K, Tamura Y, Mizutani K et Kinoshita T. (1998). Mode of antibacterial action of retrochalcones from Glycyrrhiza inflata Phytochemistry. 48, 125-129.

Harborne JB et Williams CA. (2000). Advances in flavonoid research since 1992-a review. Phytochemistry. **55**, 481-504.

Harwood LM, Moody CJ, Percy JM. (1999). Experimental Organic Chemistry, 2nd Edition: Blackwell Science. Oxford. pp. 33-35.

Harwood LM. (1985). Dry-column Flash Chromatography. Aldrichimica Acta. 18: 25.

Heim K, Tagliaferro AR et Bobilya DJ. (2002). Flavonoids antioxydants: Chemistry, metabolisme and structure-activity relationship. Journal of Nutritional Biochemistry. 13, 572-584.

Hesse M., Meier H et Zeeh B. (1997). Méthodes spectroscopiques pour la chimie organique. Edition : Masson. pp. 225-250.



Ikigai H, Nakae T, Hara Y et Shimamura T. (1993). Bactericidal catechins damage the lipid bilayer. Biochimica Acta. **1147**, 132-136.

Ismail HI, Chan KW, Mariod AA et Ismail M. (2010). Phenolic content and antioxydant activity of cantaloupe (*Cucumis melo*) methanolic extracts. Food Chemistry. **119**, 643-647.



Kannan RRR, Arumugam R, Meenakshi S and Anantharaman P. (2010). Thin layer chromatography analysis of antioxidant constituents from seagrasses of Gulf of Mannar Biosphere Reserve, South India. International Journal of ChemTech Research. 2(3), 1526 1530.

Karabegovi I, Nikolova M, Veli kovi D, Stoji evi S, Veljkovi V et Lazi M. (2011). Comparison of Antioxidant and Antimicrobial Activities of Methanolic Extracts of the *Artemisia* sp. Recovered by Different Extraction Techniques. Chinese Journal of Chemical Engineering, 19 (3): 508.

Karou D, Dicko MH, Simpore J et Traore AS. (2005). Antioxydant and antimicrobial activities of polyphenols from ethnomedicinal plants of Burkina Faso. African Journal of Biotechnology. **4**(8), 823-828.

Kellner R, Mermet J-M, Otto M et Widmer HM. (1998). Analytical chemistry. Edition: Wiley-VCH. 122p.

Kim TJ, Silva JL, Kim MK et Jung YS. (2010). Enhanced antioxidant capacity and antimicrobial activity of tannic acid by thermal processing. Food Chemistry. 118, 740-746.

Kong Y, Fu Y-J, Zu Y-G, Chang FR, Chen YH, Liu XL, Stelten J et Schiebel H-M. (2010). Cajanoslactone, a new cuomarin with anti-bacterial activity from pigeon pea [Cajanus cajan (L.) Millsp] leaves. Food chemistry. 121, 1150-1155.

Kuete V, Tangmouo JG, Penlap Beng V, Ngounou FN et Lontsi D. (2006). Antimicrobiol activity of the methanolic extract from the stem bark of *Tridesmostemon omphalocarpoides* (Sapotaceae). Journal of Ethnopharmacology. xxx, xxx-xxx (Article in press).



Lev-Yadun S et Gould KS. (2009). Role of anthocyanins in plant defence. Science Business Media. 150, 22-48.

Liu H, Qiu N, Ding H et Yao R. (2008). Polyphenols contents and antioxidant capacity of 68 Chinese herbals suitable for medical or food uses. Food Research International. 41:368.

Loukabi G. (1999). Activité antimicrobienne des extraits aqueux totaux de Detarimicrocarpum sur huit espèces bactériennes impliquées dans certaines maladies infectieuses au BurkinaFasso-Review. CAMES-Serie A (1).

Luthar Z. (1992). Polyphenol classification and tannin content of buckwheat seeds (Fagopyrum esculentum Moench). Fagopyrum. 12, 36-42.



Mahfouz M, Ghazal A, El-Dakhakhny M, Ghoneim MT. (1973). Pharmacological studies on the active principle isolated from *Pulicaria dysenterica*. Journal of Drug Research. 5 (2), 1516172.

Manthey JA, Guthrie N et Grohmann K. (2001). Biological properties of Citrus flavonoids pertaining to cancer and inflammation. Current Medecinal Chemistry. 8, 135-153.

Marston A et Hostettmann K. (2006). Developments in the application of counter-current chromatography to plant analysis. Journal of Chromatography. 1112 (2): 181-194.

Martin S, Andriantsitohaina R. (2002). Mécanismes de la protection cardiaque et vasculaire des polyphénols au niveau de lœndothélium. Annales de Cardiologie et d'Angéiologi.51(6), 304-315.

Marwah RG, Fatope MO, Al Mahrooqi R, Varma GB, Al Abadi H et Al-Burtamani SKS. (2007). Antioxidant capacity of some edible and wound healing plants in Oman. Food Chemistry ,101: 469.

Min BR1, Pinchak WE1, Merkel R, Walker S, Tomita G and Anderson RC. (2008). Comparative antimicrobial activity of tannins extracts from perennial plants on mastitis pathogens. Scientific Research and Essay. 3(2), 66-73.

Mirzoeva OK, Grishanin RN et Calder PC. (1997). Antimicrobial action of propolis and some of it components: the effect on growth, membrane potential and motility of bacteria. Microbiol Res. 152, 239-246.

Mori A, Nishino C, Enoki N et Tawata S. (1987). Atnibacterial activity and mode of action of plant flavonoids against *Proteus vulgaris* and *Staphylococcus aureus*. Phytochemistry. **26**, 2231-2234.

Mothana RAA et Lindequist U. (2005). Antimicrobial activity of some medicinal plants of the island Soqotra. Journal of Ethnopharmacology, **96**: 180.

Murray R. (1992). Instrumentation in analytical chemistry. Edition: Louise Voress. pp.84-122.



Naczk M et Shahidi F. (2006). Phenolics in cereals, fruits and vegetables: Occurrence, extraction and analysis-a review. Journal of Pharmaceutical and Biomedical Analysis. **41**, 1523-1542.

Narayana KR, Reddy MR, Chaluvadi MR et Krishna DR. (2001). Bioflavonoids classification, pharmacological, biochemical effects and therapeutic potential. India Journal of Pharmacology. 33, 2-16.

Nickavar B et Mojab F.(2003). Antibacterial activity of *Pulicaria dysenterica* Extracts. Fitoterapia. **74**: 391.

Nijveldt R, Robert J, Nood E, Danny EC, Van Hoorn P, Boetens G, Klaske VN et Paul F. (2001). Flavonoids: a review of probable mecanisms of action and potential application. American Journel of Clinical Nutrition. 74: 18-25.

Nikitina VS, Kuzamina LY, Melentæv AI et Shendelø GV. (2007). Antibacterial activity of polyphenolic compounds isolated from plants of Geraniaceae and Rosaceae families. Applied biochemistry and Microbiology. 43(6), 629-634.



Ohemeng KA, Schwender CF, FU KP et Barrett JF. (1993). DNA gyrase inhibitory and antibacterial activity of some flavones (1). Bioorganic and Medicinal Chemistry Letters. **3**, 225-230.

Okoro IO, Osagie A et Asibor EO. (2009). Antioxydant and antimicrobial activities of polyphénols from ethnomedicinal plants of Nigeria. African Journal of Biotechnology. **9** (20): 2989-2993.

Okuda T. (2005). Systematic and health effects of chemically distict tannins in medicinal plants. Phytochemistry. **66**, 2012-2031.

Ong KC et Khoo H-E. (1997). Biological effects of Myricetin-a review. Gen Pharmac. 29(2), 121-126.

Orhan DD, Özçelik B, Özgen S et Ergun F. (2010). Antibacterial, antifugal, and antiviral activities of flavonoids. Microbiological Research. xxx, xxx-xxx (Article in press).

Orhan I, Özçelik B et Sener B. (2007). Antiviral and antimicrobial evaluation of some heterocyclic compounds from Turkish plants. Top Heterocycl Chem. **11**, 303-323.



Pedersen DS et Rosenbohm C. (2001). Dry Column Vacuum Chromatography. Synthesis. **16**:243162434.

Peer WA et Murphy AS. (2006). Flavonoids as signal molecules: Targets of flavonoid Action. In: The science of flavonoids. The Ohio State University Columbus, Ohio, USA, pp. 239-357.

Petacci F, Tavares WS, Freitas SS, Teles AM, Serrão JE et Zanuncio JC. (2012). Phytochemistry and quantification of polyphenols in extracts of the asteraceae weeds from diamantina, minas gerais state, brazil. Planta Daninha, Viçosa-MG. 30 (1): 12.

Pietta PG. (2000). Flavonoids as antioxydants. Journal of Natural Products. 63, 1035-1042.

Pincemail J, Bonjean K, Cayeux K et Defraigne J-O. (2002). Mécanisme physiologique de la défense antioxydante, Physiological action of antioxydant defences. Nutrition Clinique et Métabilisme. 16, 233-239.

Pinello M, Del Fabbro P, Manzocco L, José Nunez M et Nicoli MC. (2005). Optimization of continuous phenol extraction from *Vitis vinifera* bybroducts. Food Chemistry, **92**: 109-117.

Plaper A, Golob M, Hafner I Oblak M, Solmajer T et Jerala R. (2003). Characterization of quercetin binding site on DNA gyrase. Biochem Biophys Res Commun. 306, 530-536.

Poklar Ulrih N, Ota A, Tentjurk M, Kure S et Abram V. (2010). Flavonoids and cell membrane fluidity. Food Chemistry. 121, 78-84.

Primer A. (1996). Fondamental of modern UV-visible spectroscopy. Hewlett-Packard® Company.12, 59-65.

Puupponen-Pimi, R, Nohynek L, Alakomi H-L. et Oksman-Caldentey K-M. (2005a). Bioactive berry compounds-novel tools against pathogens. Appl Microbiol Biotechnol. 67, 8-18.

Puupponen-Pimi, R, Nohynek L, Alakomi H-L. et Oksman-Caldentey K-M. (2005b). The action of berry phenolics against humain intestinal pathogens. BioFactors. 23, 243-251.



Quezel P et Santa S. (1963). Nouvelle flore døAlgérie et des régions désertiques méridionales. Edition CNRS. Paris. 163p.



Rahman I, Saibal K, Biswas SK et Kirkham PA. (2006). Regulation of inflammation and redox signaling by dietary Polyphenols. Biochemical Pharmacology. 72, 1439-1452.

Rauha JP, Remes S, Heinonen M, Hopia A, K hkönen M, Kujala T, Pihlaja K, Vuorela H et Vuorela P. (2000). Antimicrobial effects of finnish plant extracts containing flavonoids and other phenolic compounds. International Journal of Food Microbiology. 56, 3-12.

Rodriguez-Vaquero MJ, Alberto MR et Manca de Nadra MC. (2007a). Antibacterial effect of phenolic compounds from different wines. Food Control. 18, 93-101.

Rodriguez-Vaquero MJ, Alberto MR et Manca de Nadra MC. (2007b). influence of phenolic compounds from wines on the growth of *Listeria monocytogenes* Food Control. 18, 587-593.

Roginsky V et Lissi EA. (2005). Review of methods to determine chain-breaking antioxydant activity in food. Food Chemistry. 92, 235-254.

Rouessac F et Rouessac A. (2004). Analyse chimique 6^{eme} édition : Méthodes et techniques instrumentales modernes. Edition : Dunod. pp.36-107.

Russell AD et Mc Donnell G. (1999). Anticeptics and Disinfectants : Activity, Action and Resistance. Clinical Microbiology. **12**: 147-179.



Salie F, Eagles PFK et Leng HMJ. (1996). Preliminary antimicrobial screening of four South African Asteraceae species. Journal of Ethnopharmacology. 52: 30-31.

Samy RP et Gopalakrishnakone P. (2008). Therapeutic potential of plants as antimicrobials for drugs discovery-a review. eCAM, 1-12.

Sato M, Tsuchiya H, Akagiri M, Takagi N et Iinuma M. (1997). Growth inhibition of oral bacteria related to denture stomatitis by anticandidal chalcones. Australian Dental Journal. 42, 343-346.

Scalbert A. (1991). Antimicrobial properties of tannins. Phytochemistry. 30, 3875-3883.

Seidel V. (2005). Initial and Bulk Extraction. *In*: Sarker S D, Latif Z and Gray A I. Natural products isolation. Edition: Humana Press (Totowa). pp.27-37.

Sharma A. Patel VK et Ramteke P. (2009). Identification of vibriocidal compounds from medicinal plants using chromatographic fingerprinting. World J Microbiol Biotechnol. **25**, 19-25.

Shinozuka K, Kikuchi Y, Nishino C, Mori A et Tawata S.(1988). Inhibitory effect of flavonoids on DNA-dependent DNA and RNA polymerases. 44(10), 882-885.

Shiota S, Shimizu S, Mizushima T, Ito H, Hatano T, Yoshida T et Tsutchiya T. (2004). Mecanisms of action of Corilagin and Tellimagradin I that remarkably potentiate the activity of ólactams against Methicillin-Resistant Staphylococcus aureus. Microbiology Immunology. 48, 67-73.

Shuaibi MN, Wuyep PTA, Yanagi T, Hirayama K, Ichinose A, Tanake T et Kouno I. (2008). Trypanocidal activity of extracts and compounds from the stem bark of *Anogeissus leicarpus* ane *Terminalia avicennoides*. Parasitol Res. 102, 697-703.

Therget M, Kotnik P, Hadolin M, Hras AR, Simonic M et Knez Z. (2005). Phenols, proanthocyanidine, flavones and flavonols in some plants materials and their antioxidant activities. Food chemistry, 89: 191-198.

Skoog DA, Holler FJ et Nieman TA. (1998). Principles of instrumental analysis, 5th Edition. Edition: Saunders College Publishing. pp.113-144.

Song JH, Yang T-C, Chang K-W, Han S-K, Yi H-K et Jeon JG. (2007). *In vitro* effects of a fraction separated from *Polygonum cuspidatum* root on the viability, in suspension and biofilms formation of mutans streptococci. Journal of Ethnopharmacology. **112**, 419-425.

Spigno G, Tramelli L et De Faveri DM. (2007). Effect of time, temperature and solvant on concentration activity of grape marc phenolics. Journal of Food Engineering. **81**: 200-208.

Stanisavljevi I, Stoji evi S, Veli kovi D, Veljkovi V et Lazi M. (2009). Antioxidant and Antimicrobial Activities of Echinacea (*Echinacea purpurea* L.) Extracts Obtained by Classical and Ultrasound Extraction. Chinese Journal of Chemical Engineering. **17**(3), 478-483.

Stapleton PD, Shah S, Hamilton-Miller JMT, Hara Y, Nagaoka Y, Kumagai A, Uesato S et Taylor PW. (2004). Anti-Staphylococcus aureus activity of and oxacilline resistance modulating capacity of 3 *O*-acyl-catechin. International Journal of Antimicrobial Agents. 24, 374-380.

Stein AC, Sortino M, Avancini C, Zacchino S, Poser GV. (2005). Ethnoveterinary medicine in the search for antimicrobial agents: Antifungal activity of some species of *Pterocaulon* (Asteraceae). Journal of Ethnopharmacology. 99: 2116214.

Stepanovi S, Anti N, Daki I et ^T**Vabi -Vlahovi M.** (2003). *In vitro* antimicrobial activity of propolis and synergism between propolis and antimicrobial drugs. Microbiological Research. **158**, 353-357.

Sudano Rocaro A, Blanco AR, Giuliano F, Rusciano D et Enea V (2004). Epigallocatechin-gallate enhances the activity of tetracycline instaphylococci by inhibing its efflux from bacterial cells. Antimicrobial Agents Chemotherapy. **48**, 1968-1973.

Sulaiman SF, Sajak AB, Ooi KL, Supriatno Seow EM. (2011). Effect of solvents in extracting polyphénols and antioxydants of selected raw vegetables. Journal of Food composition and Analysis. 24: 506-515.



Taguri T, Tanaka T et Kouno I. (2006). Antibacterial spectrum of plant polyphenols and extract depending upon hydroxyphenyl structure. Biology Pharmacology Bulltin. 29(11), 2226-2235.

Tajkarimi MM, Ibrahima SA et Cliver DO. (2010). Antimicrobial herb and spice compounds in food. Food Control. 21: 1199-1218.

Tanira MOM, BH, Bashir AK, Wasfi IA, Chandranath I.(1996). Evaluation of the relaxant activity of some United Arab Emirates plants on intestinal smooth muscle. Journal of Pharmacy and Pharmacology. **48** (5), 5456550.

Timbal J, Lecointe A, Dupont P et Keller R. (1989). Flore forestière française : Edition Institut pour le developpement forestier. 102p.

Trabelsi N, Megdiche W, Ksouri R. Falleh H, Oueslati S, Soumaya B, Hajlaoui H et Abdelly C. (2010). Solvent effects on phenolic contents and the biologica activities of the halophyte Limaniastrum monopetalum leaves. LWT- Food Science and Technology. 43, 632-639.

Troszy ska A, Narolewska O, Robredo S, Estrella I, Hernández T, Lamparski G et Amarowicz R. (2010). The effect of polysaccharides on the astringency induced by phenolic compounds. Food Quality and Preference. 21, 463-469.

Tsuchiya H et Iinuma M. (2000). Reduction of membrane fluidity by abtimicrobial sophoraflavonone G isolated from Sophora exigua. Phytomedicine. **7**, 161-165.



Urzua A, Caroli M, Vasquez L, Mendoza L, Wilkens M et Tojo E. (1998). Antimicrobial study of the resinous exudate and of diterpenoids isolated from *Eupatorium salvia* (Asteraceae). Journal of Ethnopharmacology. **62**: 2516254.



Vergé S, Soulet S, Lacan F, Mas T, Arnaudinaud V, Nay B, Castagnino C, Delaunay J-C, Chèze C, Monti J-P, Deffieux G, Mérillion J-M, Nuhrich A et Vercauteren J. (1999). Les polyphenols du vin: de la chimie pour la vie. Bull Soc Pharm Bordeaux. 138, 75-90.



Widsten P, Heathcote C, Kandelbauer A, Guebitz G, Nyanhongo GS, Prasetyo EN et Kudanga T (2010). Enzymatic surface functionalisation of lignocellulosic materials with tannins for enhancing antibacterial properties. Process Biochemistry. xxx, xxx-xxx (Article in press).

Williams CA, Harborne JB, Greenham JR, Grayer RJ, Kite GC et Eagles J. (2003). Variations in lipophilic and vacuolar flavonoids among European *Pulicaria* species. Phytochemistry. **64**: 2756283.

Wong PYY et Kitts DD. (2006). Studies on the dual antioxydant and antimicrobial properties of parsley (Petroselinum crispum) and cilandro (Coriandrum sativum) estracts. Food Chemistry. **97**, 505-515.



Yadav JP, Arya V, Yadav S, Panghal M, Kumar S et Seema Dhankhar S. (2009). Cassia Occidentalis L.: A review on its ethnobotany, phytochemical and pharmacological profile. Fitoterapia. xxx, xxx-xxx (Article in press).

Yamamoto H et Ogawa T. (2002). Antimicrobial activity of perilla seet polyphenols against oral pathogenic bacteria. Bioscience Biotechnology Biochemistry. 66 (4), 921-924.

Yu H, Zhang L, Li L, Zheng C, Guo L, Li W, Sun P et Qin L. (2010). Recent developpements and future prospects of antimicrobial metabolites produced by endophytes. Microbiological Reseach. xxx, xxx-xxx (Article in press).



Zaidi-Yahiaoui R, Zaidi F et Ait Bessai A. (2008). Influence of gallic and tannic acid on enzymatic activity and growth of *Pectobacterium chrysanthemi* (*Dickeya chrysanthemi* bv. *Chrysanthemi*). African Journal of Biotechnology. 7(4). 482-486.

Zhang J, Shen Q, Lu J-C, Li J-Y, Liu W-Y, Yang J-J, Li J et Xiao K. (2010). Phenolic compounds from the leaves f Cyclocarya paliurus (Batal.) Ijinskaja and their inhibitory activity against PTP1B. Food Chemistry. 119, 1491-1496.

Zhang Y-M et Rock CH. (2004). Evaluation of epigallocatechin gallate and related plant polyphenols as inhibitors of the FabG abd FabI reductase of bacterial type II Fatty-Acid Synthase. The Journal of Biological Chemistry, **279** (30), 30994-31001.

Zhang Y-M, Lu Y-J et Rock CH. (2004). The reductase steps of the type II Fatty Acid Synthase as antimicrobial targets. Lipids. 39 (11), 1055-1060.

Zhao WH, Asano N, Hu Z-Q et Shimamura T. (2003). Restoration of antibacterial activity of ólactams by epigallocatéchine galate against ólactamase-producing species depending on location of ólactamase. J Pharm Pharmacol. **55**, 735-740.

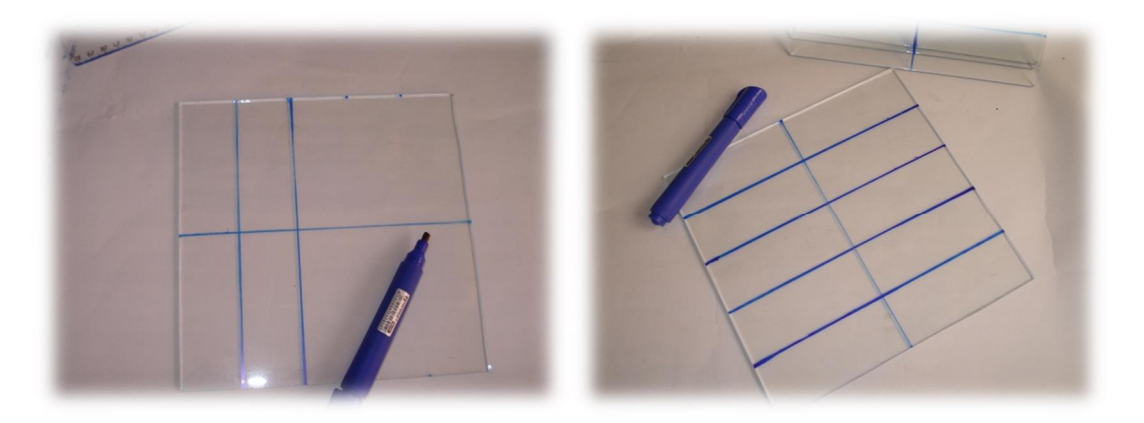
Zhao WH, Hu Z-Q, Okubo S, Hara Y et Shimamura T. (2001). Mechanism of synergy between epigallocatechin gallate and ólactams against methicillin-Resistant Staphylococcus aureus. Antimicrobial Agents Chemotherapy. 45, 1737-1742.

Zhao X, Sun H, Hou A, Zhao Q, Wei T et Xin W. (2005). Antioxydant properties of two gallotannins isolated from the leaves of Pistacia weinmannifolia. Biochimica et Biophysica Acta. 1725, 103-110.



Chromatographie sur couche mince (CCM)

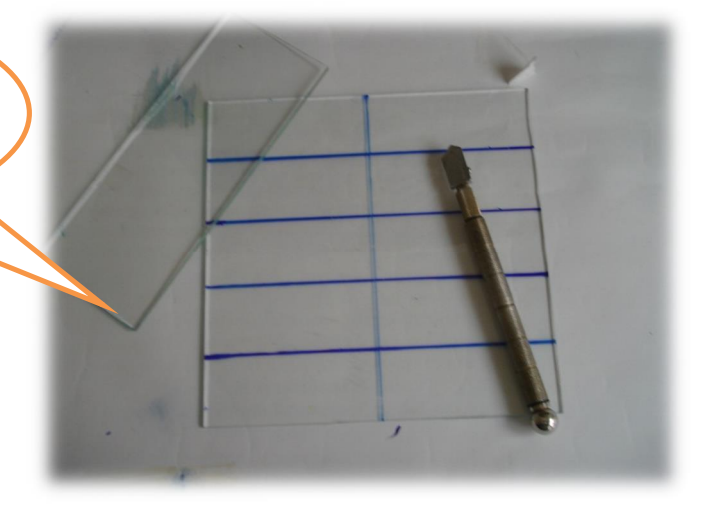
- A. Comment préparer les plaques de 4x10 cm?
- **1.** Acheter quatre plaques en verre (20 x 20 cm).
- 2. Nettoyer les plaques rigoureusement en utilisant un détergent.
- 3. Sécher les plaques à løaire libre ou à løétuve.
- 4. Tracer les plaques en utilisant un marqueur comme il est montré dans la figure.



5. En utilisant un coupe-verre, repasser sur les traits (Figure).



Ne jamais utiliser la règle, utiliser plutôt une autre plaque en verre.



6. Nettoyer les plaques une autre fois pour éliminer l'ancre.



7. Mélanger énergétiquement 50 g de gel de silice avec 100 ml d'eau distillée.



8. Déposer le gel dans le cube de létaleur et choisir lépaisseur voulue.

9. Etaler le gel sur les plaques en déplaçant le cube rapidement le long des plaques.



10. Après que les plaques soient sèches (environ 4 heures), activer les plaques en les mettre dans løétuve à 100 °C pendant 30 min.



11. Après refroidissement des plaques à l'aire libre, découper ces dernières comme il est montré dans la figure.

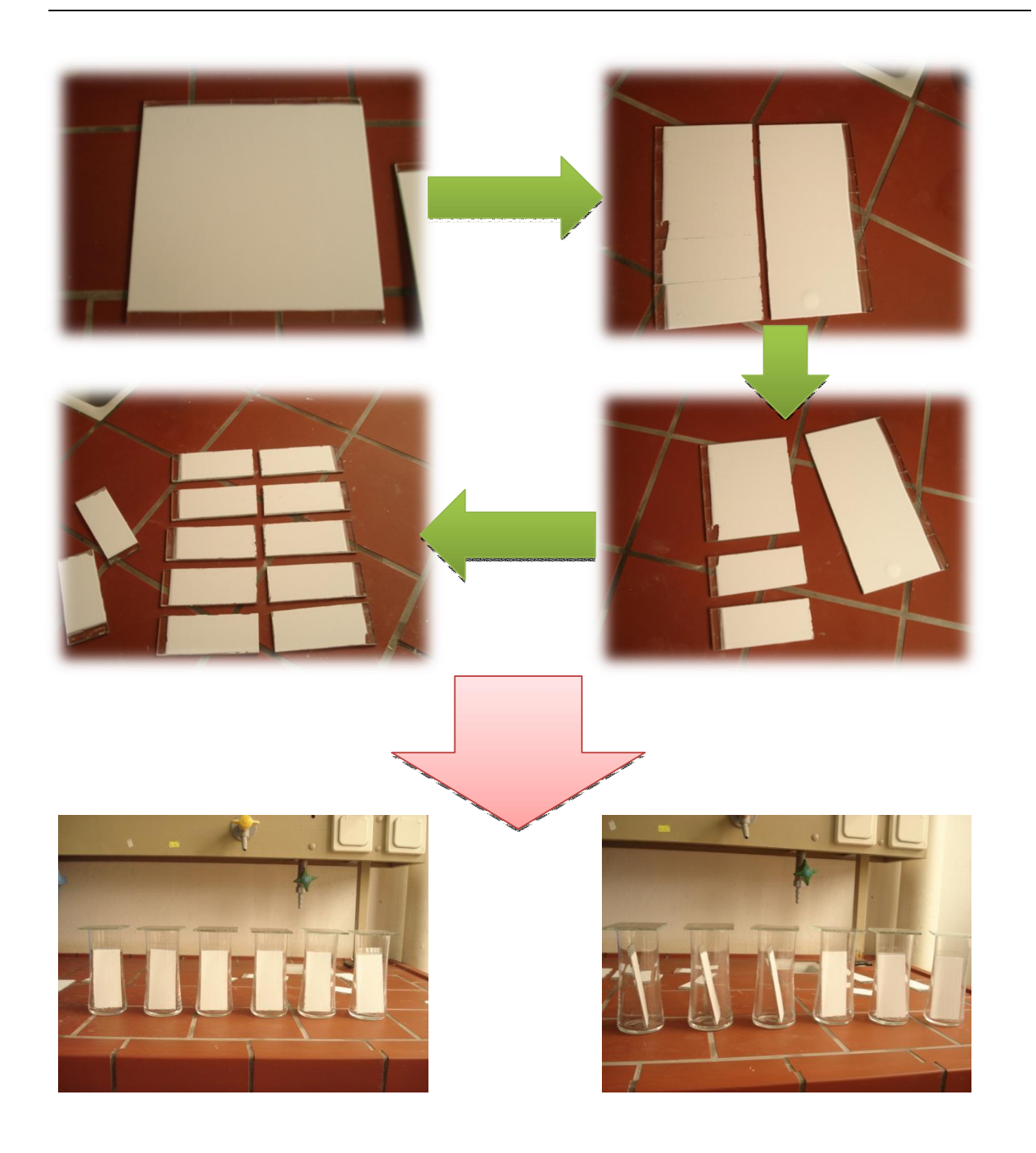


Tableau XIV: Lignes directrices sur les paramètres de taille et volume pour la chromatographie sur colonne sèche (**Harwood et** *al.*, 1999).

| Diamètre de løentonnoir | Poids de la silice | Poids de løéchantillon | Volume des fractions récupérées |
|----------------------------|-----------------------|---------------------------|------------------------------------|
| 30 mm | 15 g | 15-500 mg | 10-15 ml |
| 40 mm | 30 g | 0,5 - 3 g | 15-30 ml |
| 70 mm | 100 g | 2-15 g | 20-50 ml |

Tableau XV: Résultats du rendement dœxtraction.

| | | Rendement | % | | |
|---------------|---------|-----------|---------|------------|-------------|
| Solvant | Essai 1 | Essai 2 | Essai 3 | Moyenne | Ecart type |
| Ethanol 100% | 7 | 6 | 6 | 6,33333333 | 0,577350269 |
| Ethanol 70% | 24 | 26 | 25 | 25 | 1 |
| Ethanol 50% | 28 | 30 | 28 | 28,6666667 | 1,154700538 |
| Méthanol 100% | 13 | 14 | 16 | 14,3333333 | 1,527525232 |
| Méthanol 70% | 24 | 25 | 25 | 24,6666667 | 0,577350269 |
| Méthanol 50% | 31 | 34 | 33 | 32,6666667 | 1,527525232 |
| Acétone 100% | 3 | 5 | 3 | 3,66666667 | 1,154700538 |
| Acétone 70% | 21 | 21 | 22 | 21,3333333 | 0,577350269 |
| Acétone 50% | 26 | 26 | 25 | 25,6666667 | 0,577350269 |

Tableau XVI: Résultats du dosage des polyphénols totaux.

| | Ab | sorbance 765 | nm | Concentration (mg Eq Ac gallique/g) | | | | |
|---------------|---------|--------------|---------|--------------------------------------|---------|---------|-----------|------------|
| Solvant | Essai 1 | Essai 2 | Essai 3 | Essai 1 | Essai 2 | Essai 3 | Moyenne | Ecart type |
| Ethanol 100% | 1,374 | 1,376 | 1,384 | 157,93 | 158,16 | 159,07 | 158,38667 | 0,6028543 |
| Ethanol 70% | 0,969 | 0,968 | 0,966 | 111,37 | 111,26 | 111,03 | 111,22 | 0,1734935 |
| Ethanol 50% | 0,586 | 0,583 | 0,588 | 67,35 | 67,01 | 67,58 | 67,313333 | 0,2867635 |
| Méthanol 100% | 0,98 | 0,972 | 0,975 | 112,64 | 111,72 | 112,06 | 112,14 | 0,4651881 |
| Méthanol 70% | 0,776 | 0,717 | 0,673 | 89,19 | 82,41 | 77,35 | 82,983333 | 5,9407856 |
| Méthanol 50% | 0,579 | 0,517 | 0,535 | 66,55 | 59,42 | 61,49 | 62,486667 | 3,6680013 |
| Acétone 100% | 1,071 | 1,165 | 1,112 | 123,1 | 133,9 | 127,81 | 128,27 | 5,4146745 |
| Acétone 70% | 0,822 | 0,772 | 0,811 | 94,48 | 88,73 | 93,21 | 92,14 | 3,0206456 |
| Acétone 50% | 0,7 | 0,696 | 0,624 | 80,45 | 79,99 | 71,72 | 77,386667 | 4,9128641 |

Tableau XVII: Résultats du dosage des flavonoïdes.

| | Ab | sorbance 43 | 0 nm | Concentration (mg Eq Quercitine/g) | | | | |
|---------------|---------|-------------|---------|-------------------------------------|---------|---------|-----------|------------|
| Solvant | Essai 1 | Essai 2 | Essai 3 | Essai 1 | Essai 2 | Essai 3 | Moyenne | Ecart type |
| Ethanol 100% | 0,046 | 0,046 | 0,041 | 24,86 | 24,86 | 22,16 | 23,96 | 1,5588457 |
| Ethanol 70% | 0,017 | 0,015 | 0,019 | 9,19 | 8,1 | 10,27 | 9,1866667 | 1,0850038 |
| Ethanol 50% | 0,014 | 0,014 | 0,014 | 7,56 | 7,56 | 7,56 | 7,56 | 0 |
| Méthanol 100% | 0,035 | 0,029 | 0,033 | 18,92 | 15,67 | 17,84 | 17,476667 | 1,6551838 |
| Méthanol 70% | 0,023 | 0,02 | 0,017 | 12,43 | 10,81 | 9,19 | 10,81 | 1,62 |
| Méthanol 50% | 0,012 | 0,01 | 0,012 | 6,48 | 5,4 | 6,48 | 6,12 | 0,6235383 |
| Acétone 100% | 0,027 | 0,025 | 0,027 | 14,59 | 13,51 | 14,59 | 14,23 | 0,6235383 |
| Acétone 70% | 0,015 | 0,023 | 0,023 | 8,1 | 12,43 | 12,43 | 10,986667 | 2,4999267 |
| Acétone 50% | 0,012 | 0,012 | 0,012 | 6,48 | 6,48 | 6,48 | 6,48 | 0 |

Tableau XVIII : Résultats de løactivité antimicrobienne vis-à-vis dø*E.coli*.

| | Zone d'inl | nibition d' E . | | | |
|---------------|------------|-------------------|---------|-----------|------------|
| Solvant | Essai 1 | Essai 2 | Essai 3 | Moyenne | Ecart type |
| Ethanol 100% | 21 | 19 | 20 | 20 | 1 |
| Ethanol 70% | 18 | 16 | 18 | 17,333333 | 1,1547005 |
| Ethanol 50% | 16 | 15 | 14 | 15 | 1 |
| Méthanol 100% | 18 | 18 | 19 | 18,333333 | 0,5773503 |
| Méthanol 70% | 16 | 15 | 15 | 15,333333 | 0,5773503 |
| Méthanol 50% | 15 | 14 | 15 | 14,666667 | 0,5773503 |
| Acétone 100% | 0 | 0 | 0 | 0 | 0 |
| Acétone 70% | 0 | 0 | 0 | 0 | 0 |
| Acétone 50% | 0 | 0 | 0 | 0 | 0 |

Tableau XIX : Résultats de løactivité antimicrobienne vis-à-vis de *P.aeruginosa*.

| | Zone d'inhibi | tion de <i>P. aeru</i> | | | |
|---------------|---------------|------------------------|---------|-----------|------------|
| Solvant | Essai 1 | Essai 2 | Essai 3 | Moyenne | Ecart type |
| Ethanol 100% | 20 | 19 | 20 | 19,666667 | 0,5773503 |
| Ethanol 70% | 18 | 16 | 18 | 17,333333 | 1,1547005 |
| Ethanol 50% | 14 | 14 | 14 | 14 | 0 |
| Méthanol 100% | 17 | 16 | 16 | 16,333333 | 0,5773503 |
| Méthanol 70% | 14 | 14 | 16 | 14,666667 | 1,1547005 |
| Méthanol 50% | 12 | 12 | 12 | 12 | 0 |
| Acétone 100% | 0 | 0 | 0 | 0 | 0 |
| Acétone 70% | 0 | 0 | 0 | 0 | 0 |
| Acétone 50% | 0 | 0 | 0 | 0 | 0 |

Tableau XX : Résultats de loactivité antimicrobienne vis-à-vis de *S. aureus*.

| | Zone d'inhib | oition de S. a | ureus (mm) | | |
|---------------|--------------|----------------|------------|-----------|------------|
| Solvant | Essai 1 | Essai 2 | Essai 3 | Moyenne | Ecart type |
| Ethanol 100% | 19 | 19 | 21 | 19,666667 | 1,1547005 |
| Ethanol 70% | 17 | 17 | 17 | 17 | 0 |
| Ethanol 50% | 16 | 16 | 16 | 16 | 0 |
| Méthanol 100% | 17 | 17 | 17 | 17 | 0 |
| Méthanol 70% | 15 | 15 | 16 | 15,333333 | 0,5773503 |
| Méthanol 50% | 12 | 13 | 12 | 12,333333 | 0,5773503 |
| Acétone 100% | 15 | 16 | 15 | 15,333333 | 0,5773503 |
| Acétone 70% | 14 | 15 | 14 | 14,333333 | 0,5773503 |
| Acétone 50% | 9 | 11 | 9 | 9,6666667 | 1,1547005 |

Tableau XXI: Résultats de loactivité antimicrobienne vis-à-vis de L.innocua.

| | Zone d'inhil | bition de <i>L. inn</i> | nocua (mm) | | |
|---------------|--------------|-------------------------|------------|-----------|------------|
| Solvant | Essai 1 | Essai 2 | Essai 3 | Moyenne | Ecart type |
| Ethanol 100% | 20 | 21 | 20 | 20,333333 | 0,5773503 |
| Ethanol 70% | 18 | 19 | 18 | 18,333333 | 0,5773503 |
| Ethanol 50% | 16 | 17 | 16 | 16,333333 | 0,5773503 |
| Méthanol 100% | 16 | 17 | 17 | 16,666667 | 0,5773503 |
| Méthanol 70% | 14 | 15 | 14 | 14,333333 | 0,5773503 |
| Méthanol 50% | 12 | 12 | 12 | 12 | 0 |
| Acétone 100% | 18 | 16 | 19 | 17,666667 | 1,5275252 |
| Acétone 70% | 18 | 16 | 16 | 16,666667 | 1,1547005 |
| Acétone 50% | 11 | 13 | 13 | 12,333333 | 1,1547005 |

Tableau XXII : Résultats de loactivité antimicrobienne vis-à-vis do A. flavus.

| | Zone d'inhib | oition de A . f | lavus (mm) | | |
|---------------|--------------|---------------------|------------|-----------|------------|
| Solvant | Essai 1 | Essai 2 | Essai 3 | Moyenne | Ecart type |
| Ethanol 100% | 17 | 17 | 16 | 16,666667 | 0,5773503 |
| Ethanol 70% | 16 | 15 | 15 | 15,333333 | 0,5773503 |
| Ethanol 50% | 14 | 13 | 13 | 13,333333 | 0,5773503 |
| Méthanol 100% | 14 | 13 | 12 | 13 | 1 |
| Méthanol 70% | 9 | 10 | 10 | 9,6666667 | 0,5773503 |
| Méthanol 50% | 9 | 8 | 8 | 8,3333333 | 0,5773503 |
| Acétone 100% | 12 | 11 | 12 | 11,666667 | 0,5773503 |
| Acétone 70% | 11 | 10 | 11 | 10,666667 | 0,5773503 |
| Acétone 50% | 9 | 8 | 8 | 8,3333333 | 0,5773503 |

Tableau XXIII: Résultats de løactivité antimicrobienne vis-à-vis døA.niger.

| | Zone d'in | hibition de $A.n$ | | | |
|---------------|-----------|-------------------|---------|-----------|------------|
| Solvant | Essai 1 | Essai 2 | Essai 3 | Moyenne | Ecart type |
| Ethanol 100% | 20 | 21 | 20 | 20,333333 | 0,5773503 |
| Ethanol 70% | 17 | 18 | 17 | 17,333333 | 0,5773503 |
| Ethanol 50% | 15 | 14 | 14 | 14,333333 | 0,5773503 |
| Méthanol 100% | 15 | 15 | 16 | 15,333333 | 0,5773503 |
| Méthanol 70% | 11 | 12 | 12 | 11,666667 | 0,5773503 |
| Méthanol 50% | 10 | 11 | 10 | 10,333333 | 0,5773503 |
| Acétone 100% | 13 | 14 | 13 | 13,333333 | 0,5773503 |
| Acétone 70% | 12 | 12 | 11 | 11,666667 | 0,5773503 |
| Acétone 50% | 10 | 10 | 9 | 9,6666667 | 0,5773503 |

Tableau XXIV : Résultats de loactivité antimicrobienne vis-à-vis de *T. reesei*.

| | Zone d'inhibit | ion de <i>Trichod</i> | lerma (mm) | | |
|---------------|----------------|-----------------------|------------|-----------|------------|
| Solvant | Essai 1 | Essai 2 | Essai 3 | Moyenne | Ecart type |
| Ethanol 100% | 14 | 15 | 14 | 14,333333 | 0,5773503 |
| Ethanol 70% | 12 | 11 | 11 | 11,333333 | 0,5773503 |
| Ethanol 50% | 10 | 11 | 10 | 10,333333 | 0,5773503 |
| Méthanol 100% | 10 | 11 | 11 | 10,666667 | 0,5773503 |
| Méthanol 70% | 0 | 0 | 0 | 0 | 0 |
| Méthanol 50% | 0 | 0 | 0 | 0 | 0 |
| Acétone 100% | 0 | 0 | 0 | 0 | 0 |
| Acétone 70% | 0 | 0 | 0 | 0 | 0 |
| Acétone 50% | 0 | 0 | 0 | 0 | 0 |

Annexe III Courbes d'étalonnage

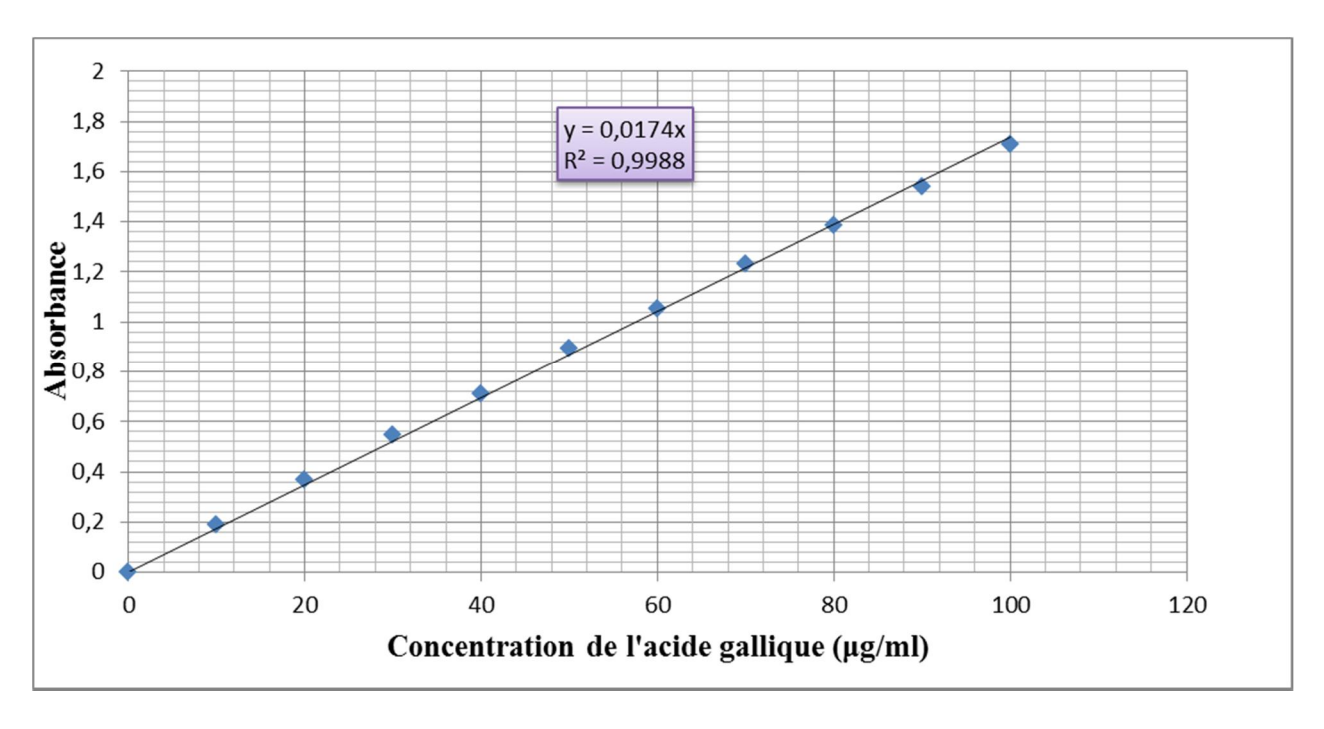


Figure 29 : Courbe détalonnage des polyphénols totaux.

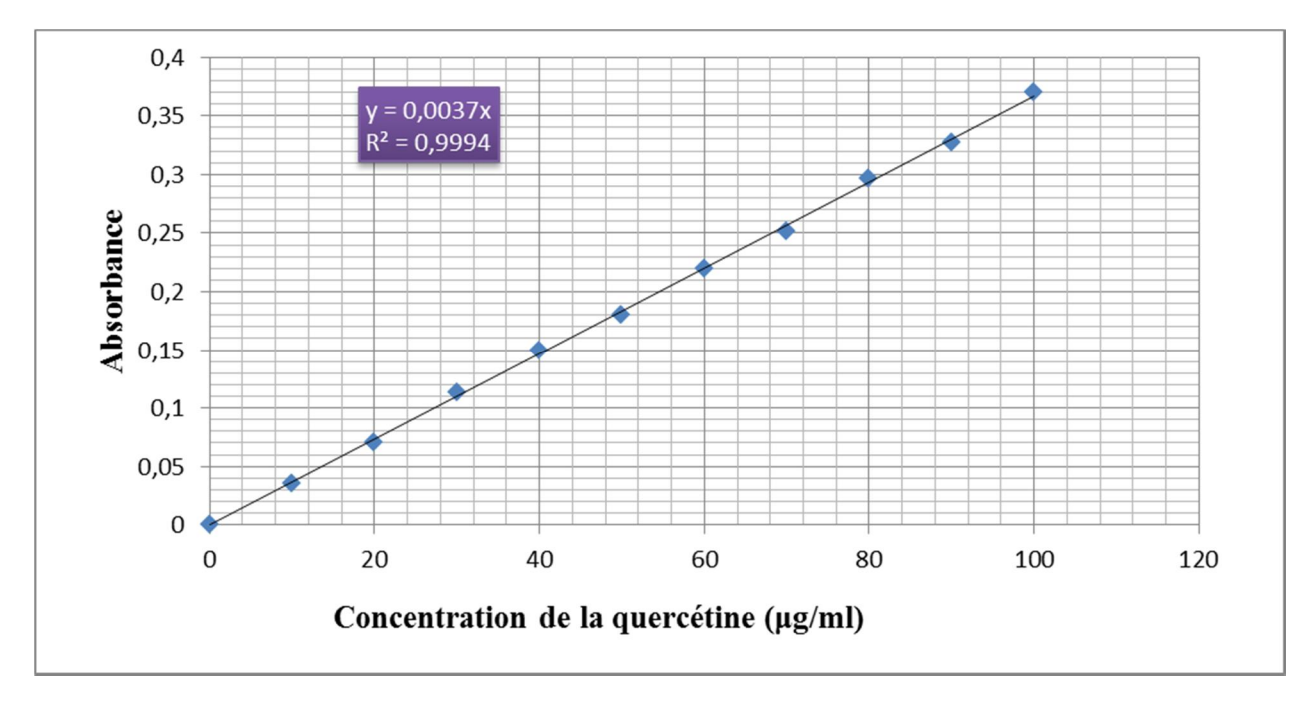


Figure 30 : Courbe détalonnage des flavonoïdes.

Dosage des polyphénols totaux

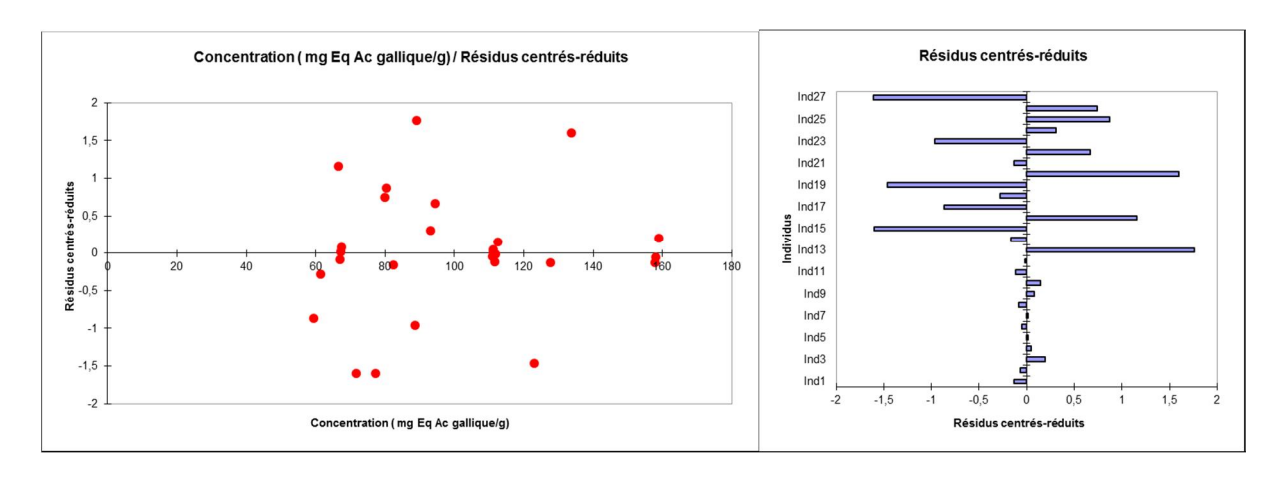
ANOVA

| Source | ddl | Somme des carrés | Carré moyen | F de Fisher | Pr > F |
|---------|-----|------------------|----------------|-------------|----------|
| Modèle | 8 | 23439,898 | 2929,987 | 235,406 | < 0,0001 |
| Résidus | 18 | 224,037 | 12,447 | | |
| Total | 26 | 23663,935 | | | |

TESTS DE COMPARAISON MULTIPLE

| Modalités | Différence | ifférence rédui | √aleur critiqu∈ | Pr. > Diff | Significatif |
|------------------------------|------------|-----------------|-----------------|------------|--------------|
| Ethanol 100% ~ Méthanol 50% | 95,900 | 33,292 | 3,504 | 0,000 | Oui |
| Ethanol 100% ~ Ethanol 50% | 91,073 | 31,616 | 3,504 | 0,000 | Oui |
| Ethanol 100% ~ Acétone 50% | 81,000 | 28,119 | 3,504 | 0,000 | Ou |
| Ethanol 100% ~ Méthanol 70% | 75,403 | 26,177 | 3,504 | 0,000 | Ou |
| Ethanol 100% ~ Acétone 70% | 66,247 | 22,998 | 3,504 | 0,000 | Ou |
| Ethanol 100% ~ Ethanol 70% | 47,167 | 16,374 | 3,504 | 0,000 | Ou |
| Ethanol 100% ~ Méthanol 100% | 46,247 | 16,055 | 3,504 | 0,000 | Ou |
| Ethanol 100% ~ Acétone 100% | 30,117 | 10,455 | 3,504 | 0,000 | Ou |
| Acétone 100% ~ Méthanol 50% | 65,783 | 22,837 | 3,504 | 0,000 | Ou |
| Acétone 100% ~ Ethanol 50% | 60,957 | 21,161 | 3,504 | 0,000 | Oui |
| Acétone 100% ~ Acétone 50% | 50,883 | 17,664 | 3,504 | 0,000 | Oui |
| Acétone 100% ~ Méthanol 70% | 45,287 | 15,721 | 3,504 | 0,000 | Ou |
| Acétone 100% ~ Acétone 70% | 36,130 | 12,543 | 3,504 | 0,000 | Ou |
| Acétone 100% ~ Ethanol 70% | 17,050 | 5,919 | 3,504 | 0,000 | Ou |
| Acétone 100% ~ Méthanol 100% | 16,130 | 5,600 | 3,504 | 0,001 | Ou |
| Méthanol 100% ~ Méthanol 50% | 49,653 | 17,237 | 3,504 | 0,000 | Ou |
| Méthanol 100% ~ Ethanol 50% | 44,827 | 15,562 | 3,504 | 0,000 | Ou |
| Méthanol 100% ~ Acétone 50% | 34,753 | 12,065 | 3,504 | 0,000 | Ou |
| Méthanol 100% ~ Méthanol 70% | 29,157 | 10,122 | 3,504 | 0,000 | Ou |
| Méthanol 100% ~ Acétone 70% | 20,000 | 6,943 | 3,504 | 0,000 | Ou |
| Méthanol 100% ~ Ethanol 70% | 0,920 | 0,319 | 3,504 | 1,000 | Nor |
| Ethanol 70% ~ Méthanol 50% | 48,733 | 16,918 | 3,504 | 0,000 | Ou |
| Ethanol 70% ~ Ethanol 50% | 43,907 | 15,242 | 3,504 | 0,000 | Ou |
| Ethanol 70% ~ Acétone 50% | 33,833 | 11,745 | 3,504 | 0,000 | Ou |
| Ethanol 70% ~ Méthanol 70% | 28,237 | 9,802 | 3,504 | 0,000 | Ou |
| Ethanol 70% ~ Acétone 70% | 19,080 | 6,624 | 3,504 | 0,000 | Ou |
| Acétone 70% ~ Méthanol 50% | 29,653 | 10,294 | 3,504 | 0,000 | Ou |
| Acétone 70% ~ Ethanol 50% | 24,827 | 8,619 | 3,504 | 0,000 | Ou |
| Acétone 70% ~ Acétone 50% | 14,753 | 5,122 | 3,504 | 0,002 | Ou |
| Acétone 70% ~ Méthanol 70% | 9,157 | 3,179 | 3,504 | 0,093 | Nor |
| Méthanol 70% ~ Méthanol 50% | 20,497 | 7,115 | 3,504 | 0,000 | Ou |
| Méthanol 70% ~ Ethanol 50% | 15,670 | 5,440 | 3,504 | 0,001 | Ou |
| Méthanol 70% ~ Acétone 50% | 5,597 | 1,943 | 3,504 | 0,596 | Nor |
| Acétone 50% ~ Méthanol 50% | 14,900 | 5,173 | 3,504 | 0,002 | Ou |
| Acétone 50% ~ Ethanol 50% | 10,073 | 3,497 | 3,504 | 0,051 | Nor |
| Ethanol 50% ~ Méthanol 50% | 4,827 | | 3,504 | 0,753 | Nor |

| Modalités | Moyenne | | | R | egroupements | | | |
|---------------|---------|---|---|---|--------------|---|---|---|
| Ethanol 100% | 158,387 | Α | | | | | | |
| Acétone 100% | 128,270 | | В | | | | | |
| Méthanol 100% | 112,140 | | | С | | | | |
| Ethanol 70% | 111,220 | | | С | | | | |
| Acétone 70% | 92,140 | | | | D | | | |
| Méthanol 70% | 82,983 | | | | D | E | | |
| Acétone 50% | 77,387 | | | | | E | F | |
| Ethanol 50% | 67,313 | | | | | | F | G |
| Méthanol 50% | 62,487 | | | | | | | G |



⊘osage des flavonoïdes

ANOVA

| Source | ddl | Somme des carrés | Carré moyen | F de Fisher | Pr > F |
|---------|-----|---------------------|----------------|----------------|----------|
| Modèle | 8 | 818,902 | 102,363 | 57,584 | < 0,0001 |
| Résidus | 18 | 31,997 | 1,778 | | |
| Total | 26 | 850,899 | | | |

TESTS DE COMPARAISON MULTIPLE

| Modalités Différence ifférence réduivaleur critique Pr. > Diff Ethanol 100% ~ Methanol 50% 17,840 16,388 3,504 0,00 Ethanol 100% ~ Acetone 50% 17,480 16,057 3,504 0,00 Ethanol 100% ~ Ethanol 50% 16,400 15,065 3,504 0,00 Ethanol 100% ~ Ethanol 70% 13,150 12,080 3,504 0,00 Ethanol 100% ~ Methanol 70% 13,150 12,080 3,504 0,00 Ethanol 100% ~ Acetone 70% 12,973 11,917 3,504 0,00 Ethanol 100% ~ Acetone 100% 9,730 8,938 3,504 0,00 Ethanol 100% ~ Methanol 50% 11,357 10,432 3,504 0,00 Methanol 100% ~ Methanol 50% 10,997 10,102 3,504 0,00 Methanol 100% ~ Ethanol 50% 9,917 9,109 3,504 0,00 Methanol 100% ~ Ethanol 70% 8,290 7,615 3,504 0,00 Methanol 100% ~ Acetone 70% 6,490 5,962 3,504 0,00 | 0 Ou |
|--|--|
| Ethanol 100% ~ Acetone 50% | 0 Ou |
| Ethanol 100% ~ Ethanol 50% | 0 Ou |
| Ethanol 100% ~ Ethanol 70% | 0 Ou 0 Ou 0 Ou 0 Ou 0 Ou 0 Ou 0 Ou |
| Ethanol 100% ~ Methanol 70% Ethanol 100% ~ Acetone 70% Ethanol 100% ~ Acetone 70% Ethanol 100% ~ Acetone 100% Ethanol 100% ~ Acetone 100% Ethanol 100% ~ Methanol 100% Ethanol 100% ~ Methanol 100% Methanol 100% ~ Methanol 50% Methanol 100% ~ Acetone 50% Methanol 100% ~ Ethanol 50% Methanol 100% ~ Ethanol 50% Methanol 100% ~ Ethanol 50% Methanol 100% ~ Ethanol 50% Methanol 100% ~ Ethanol 50% Methanol 100% ~ Ethanol 50% Methanol 100% ~ Ethanol 50% Methanol 100% ~ Ethanol 70% Methanol 100% ~ Methanol 70% Methanol 100% ~ Acetone 70% Methanol 100% ~ Acetone 70% Methanol 100% ~ Acetone 50% Methanol 100% Me | 0 Ou 0 Ou 0 Ou 0 Ou 0 Ou 0 Ou |
| Ethanol 100% ~ Acetone 70% | 0 Ou 0 Ou 0 Ou 0 Ou 0 Ou |
| Ethanol 100% ~ Acetone 100% Ethanol 100% ~ Methanol 100% Methanol 100% ~ Methanol 50% Methanol 100% ~ Methanol 50% Methanol 100% ~ Acetone 50% Methanol 100% ~ Ethanol 70% Methanol 100% ~ Methanol 70% Methanol 100% ~ Methanol 70% Methanol 100% ~ Acetone 70% Methanol 100% ~ Acetone 100% Acetone 100% ~ Acetone 100% Acetone 100% ~ Ethanol 50% Acetone 100% ~ Methanol 50% Acetone 100% ~ Ethanol 50% Acetone 100% ~ Ethanol 50% Acetone 100% ~ Acetone 50% Acetone 70% ~ Methanol 50% Acetone 70% ~ Ethanol 70% Acetone 70% ~ Acetone 50% Acetone 70% ~ Acetone 50% Acetone 70% ~ Acetone 50% Acetone 70% ~ Acet | 0 Ou 0 Ou 0 Ou 0 Ou |
| Ethanol 100% ~ Methanol 100% | 0 Ou 0 Ou 0 Ou |
| Methanol 100% ~ Methanol 50% 11,357 10,432 3,504 0,00 Methanol 100% ~ Acetone 50% 10,997 10,102 3,504 0,00 Methanol 100% ~ Ethanol 50% 9,917 9,109 3,504 0,00 Methanol 100% ~ Ethanol 70% 8,290 7,615 3,504 0,00 Methanol 100% ~ Methanol 70% 6,667 6,124 3,504 0,00 Methanol 100% ~ Acetone 70% 6,490 5,962 3,504 0,00 Methanol 100% ~ Acetone 100% 3,247 2,982 3,504 0,13 Acetone 100% ~ Methanol 50% 8,110 7,450 3,504 0,00 Acetone 100% ~ Ethanol 50% 6,670 6,127 3,504 0,00 Acetone 100% ~ Ethanol 70% 5,043 4,633 3,504 0,00 Acetone 100% ~ Methanol 70% 3,420 3,142 3,504 0,10 Acetone 100% ~ Methanol 70% 3,243 2,979 3,504 0,10 Acetone 70% ~ Methanol 50% 4,867 4,471 3,504 0,00 Acetone 70% ~ Acetone 50% 4,507 4,140 3,504 0,01 | 0 Ou 0 Ou |
| Methanol 100% ~ Acetone 50% 10,997 10,102 3,504 0,00 Methanol 100% ~ Ethanol 50% 9,917 9,109 3,504 0,00 Methanol 100% ~ Ethanol 70% 8,290 7,615 3,504 0,00 Methanol 100% ~ Methanol 70% 6,667 6,124 3,504 0,00 Methanol 100% ~ Acetone 70% 6,490 5,962 3,504 0,00 Methanol 100% ~ Acetone 100% 3,247 2,982 3,504 0,13 Acetone 100% ~ Methanol 50% 8,110 7,450 3,504 0,00 Acetone 100% ~ Acetone 50% 7,750 7,119 3,504 0,00 Acetone 100% ~ Ethanol 50% 6,670 6,127 3,504 0,00 Acetone 100% ~ Ethanol 70% 5,043 4,633 3,504 0,00 Acetone 100% ~ Methanol 70% 3,420 3,142 3,504 0,10 Acetone 70% ~ Methanol 50% 4,867 4,471 3,504 0,00 Acetone 70% ~ Acetone 50% 4,867 4,471 3,504 0,00 Acetone 70% ~ Ethanol 50% 4,507 4,140 3,504 0,09 | 0 Ou |
| Methanol 100% ~ Ethanol 50% 9,917 9,109 3,504 0,00 Methanol 100% ~ Ethanol 70% 8,290 7,615 3,504 0,00 Methanol 100% ~ Methanol 70% 6,667 6,124 3,504 0,00 Methanol 100% ~ Acetone 70% 6,490 5,962 3,504 0,00 Methanol 100% ~ Acetone 100% 3,247 2,982 3,504 0,13 Acetone 100% ~ Methanol 50% 8,110 7,450 3,504 0,00 Acetone 100% ~ Acetone 50% 7,750 7,119 3,504 0,00 Acetone 100% ~ Ethanol 50% 6,670 6,127 3,504 0,00 Acetone 100% ~ Ethanol 70% 5,043 4,633 3,504 0,00 Acetone 100% ~ Methanol 70% 3,420 3,142 3,504 0,10 Acetone 100% ~ Methanol 50% 4,867 4,471 3,504 0,00 Acetone 70% ~ Methanol 50% 4,867 4,471 3,504 0,00 Acetone 70% ~ Ethanol 50% 4,507 4,140 3,504 0,01 Acetone 70% ~ Ethanol 50% 3,427 3,148 3,504 0,09 | |
| Methanol 100% ~ Ethanol 70% 8,290 7,615 3,504 0,00 Methanol 100% ~ Methanol 70% 6,667 6,124 3,504 0,00 Methanol 100% ~ Acetone 70% 6,490 5,962 3,504 0,00 Methanol 100% ~ Acetone 100% 3,247 2,982 3,504 0,13 Acetone 100% ~ Methanol 50% 8,110 7,450 3,504 0,00 Acetone 100% ~ Acetone 50% 7,750 7,119 3,504 0,00 Acetone 100% ~ Ethanol 50% 6,670 6,127 3,504 0,00 Acetone 100% ~ Ethanol 70% 5,043 4,633 3,504 0,00 Acetone 100% ~ Methanol 70% 3,420 3,142 3,504 0,10 Acetone 100% ~ Acetone 70% 3,243 2,979 3,504 0,13 Acetone 70% ~ Methanol 50% 4,867 4,471 3,504 0,00 Acetone 70% ~ Acetone 50% 4,507 4,140 3,504 0,01 Acetone 70% ~ Ethanol 50% 3,427 3,148 3,504 0,09 Acetone 70% ~ Ethanol 50% 1,800 1,653 3,504 0,76 </td <td></td> | |
| Methanol 100% ~ Methanol 70% 6,667 6,124 3,504 0,00 Methanol 100% ~ Acetone 70% 6,490 5,962 3,504 0,00 Methanol 100% ~ Acetone 100% 3,247 2,982 3,504 0,13 Acetone 100% ~ Methanol 50% 8,110 7,450 3,504 0,00 Acetone 100% ~ Acetone 50% 7,750 7,119 3,504 0,00 Acetone 100% ~ Ethanol 50% 6,670 6,127 3,504 0,00 Acetone 100% ~ Ethanol 70% 5,043 4,633 3,504 0,00 Acetone 100% ~ Methanol 70% 3,420 3,142 3,504 0,10 Acetone 100% ~ Acetone 70% 3,243 2,979 3,504 0,13 Acetone 70% ~ Methanol 50% 4,867 4,471 3,504 0,00 Acetone 70% ~ Acetone 50% 4,507 4,140 3,504 0,01 Acetone 70% ~ Ethanol 50% 3,427 3,148 3,504 0,09 Acetone 70% ~ Ethanol 70% 1,800 1,653 3,504 0,76 | |
| Methanol 100% ~ Acetone 70% 6,490 5,962 3,504 0,00 Methanol 100% ~ Acetone 100% 3,247 2,982 3,504 0,13 Acetone 100% ~ Methanol 50% 8,110 7,450 3,504 0,00 Acetone 100% ~ Acetone 50% 7,750 7,119 3,504 0,00 Acetone 100% ~ Ethanol 50% 6,670 6,127 3,504 0,00 Acetone 100% ~ Ethanol 70% 5,043 4,633 3,504 0,00 Acetone 100% ~ Methanol 70% 3,420 3,142 3,504 0,10 Acetone 100% ~ Acetone 70% 3,243 2,979 3,504 0,13 Acetone 70% ~ Methanol 50% 4,867 4,471 3,504 0,00 Acetone 70% ~ Acetone 50% 4,507 4,140 3,504 0,01 Acetone 70% ~ Ethanol 50% 3,427 3,148 3,504 0,09 Acetone 70% ~ Ethanol 70% 1,800 1,653 3,504 0,76 | |
| Methanol 100% ~ Acetone 100% 3,247 2,982 3,504 0,13 Acetone 100% ~ Methanol 50% 8,110 7,450 3,504 0,00 Acetone 100% ~ Acetone 50% 7,750 7,119 3,504 0,00 Acetone 100% ~ Ethanol 50% 6,670 6,127 3,504 0,00 Acetone 100% ~ Ethanol 70% 5,043 4,633 3,504 0,00 Acetone 100% ~ Methanol 70% 3,420 3,142 3,504 0,10 Acetone 100% ~ Acetone 70% 3,243 2,979 3,504 0,13 Acetone 70% ~ Methanol 50% 4,867 4,471 3,504 0,00 Acetone 70% ~ Acetone 50% 4,507 4,140 3,504 0,01 Acetone 70% ~ Ethanol 50% 3,427 3,148 3,504 0,09 Acetone 70% ~ Ethanol 70% 1,800 1,653 3,504 0,76 | |
| Acetone 100% ~ Methanol 50% 8,110 7,450 3,504 0,00 Acetone 100% ~ Acetone 50% 7,750 7,119 3,504 0,00 Acetone 100% ~ Ethanol 50% 6,670 6,127 3,504 0,00 Acetone 100% ~ Ethanol 70% 5,043 4,633 3,504 0,00 Acetone 100% ~ Methanol 70% 3,420 3,142 3,504 0,10 Acetone 100% ~ Acetone 70% 3,243 2,979 3,504 0,13 Acetone 70% ~ Methanol 50% 4,867 4,471 3,504 0,00 Acetone 70% ~ Acetone 50% 4,507 4,140 3,504 0,01 Acetone 70% ~ Ethanol 50% 3,427 3,148 3,504 0,09 Acetone 70% ~ Ethanol 70% 1,800 1,653 3,504 0,76 | |
| Acetone 100% ~ Acetone 50% 7,750 7,119 3,504 0,00 Acetone 100% ~ Ethanol 50% 6,670 6,127 3,504 0,00 Acetone 100% ~ Ethanol 70% 5,043 4,633 3,504 0,00 Acetone 100% ~ Methanol 70% 3,420 3,142 3,504 0,10 Acetone 100% ~ Acetone 70% 3,243 2,979 3,504 0,13 Acetone 70% ~ Methanol 50% 4,867 4,471 3,504 0,00 Acetone 70% ~ Acetone 50% 4,507 4,140 3,504 0,01 Acetone 70% ~ Ethanol 50% 3,427 3,148 3,504 0,09 Acetone 70% ~ Ethanol 70% 1,800 1,653 3,504 0,76 | |
| Acetone 100% ~ Ethanol 50% 6,670 6,127 3,504 0,00 Acetone 100% ~ Ethanol 70% 5,043 4,633 3,504 0,00 Acetone 100% ~ Methanol 70% 3,420 3,142 3,504 0,10 Acetone 100% ~ Acetone 70% 3,243 2,979 3,504 0,13 Acetone 70% ~ Methanol 50% 4,867 4,471 3,504 0,00 Acetone 70% ~ Acetone 50% 4,507 4,140 3,504 0,01 Acetone 70% ~ Ethanol 50% 3,427 3,148 3,504 0,09 Acetone 70% ~ Ethanol 70% 1,800 1,653 3,504 0,76 | |
| Acetone 100% ~ Ethanol 70% 5,043 4,633 3,504 0,00 Acetone 100% ~ Methanol 70% 3,420 3,142 3,504 0,10 Acetone 100% ~ Acetone 70% 3,243 2,979 3,504 0,13 Acetone 70% ~ Methanol 50% 4,867 4,471 3,504 0,00 Acetone 70% ~ Acetone 50% 4,507 4,140 3,504 0,01 Acetone 70% ~ Ethanol 50% 3,427 3,148 3,504 0,09 Acetone 70% ~ Ethanol 70% 1,800 1,653 3,504 0,76 | |
| Acetone 100% ~ Methanol 70% 3,420 3,142 3,504 0,10 Acetone 100% ~ Acetone 70% 3,243 2,979 3,504 0,13 Acetone 70% ~ Methanol 50% 4,867 4,471 3,504 0,00 Acetone 70% ~ Acetone 50% 4,507 4,140 3,504 0,01 Acetone 70% ~ Ethanol 50% 3,427 3,148 3,504 0,09 Acetone 70% ~ Ethanol 70% 1,800 1,653 3,504 0,76 | |
| Acetone 100% ~ Acetone 70% 3,243 2,979 3,504 0,13 Acetone 70% ~ Methanol 50% 4,867 4,471 3,504 0,00 Acetone 70% ~ Acetone 50% 4,507 4,140 3,504 0,01 Acetone 70% ~ Ethanol 50% 3,427 3,148 3,504 0,09 Acetone 70% ~ Ethanol 70% 1,800 1,653 3,504 0,76 | |
| Acetone 70% ~ Methanol 50% 4,867 4,471 3,504 0,00 Acetone 70% ~ Acetone 50% 4,507 4,140 3,504 0,01 Acetone 70% ~ Ethanol 50% 3,427 3,148 3,504 0,09 Acetone 70% ~ Ethanol 70% 1,800 1,653 3,504 0,76 | |
| Acetone 70% ~ Acetone 50% 4,507 4,140 3,504 0,01 Acetone 70% ~ Ethanol 50% 3,427 3,148 3,504 0,09 Acetone 70% ~ Ethanol 70% 1,800 1,653 3,504 0,76 | |
| Acetone 70% ~ Ethanol 50% 3,427 3,148 3,504 0,09 Acetone 70% ~ Ethanol 70% 1,800 1,653 3,504 0,76 | |
| Acetone 70% ~ Ethanol 70% 1,800 1,653 3,504 0,76 | |
| | |
| Acetone 70% ~ Methanol 70% 0,177 0,162 3,504 1,00 | |
| | |
| Methanol 70% ~ Methanol 50% 4,690 4,308 3,504 0,01 | 0 Ou |
| Methanol 70% ~ Acetone 50% 4,330 3,978 3,504 0,01 | 9 Ou |
| Methanol 70% ~ Ethanol 50% 3,250 2,985 3,504 0,13 | 2 Nor |
| Methanol 70% ~ Ethanol 70% 1,623 1,491 3,504 0,84 | 6 Nor |
| Ethanol 70% ~ Methanol 50% 3,067 2,817 3,504 0,17 | 7 Nor |
| Ethanol 70% ~ Acetone 50% 2,707 2,486 3,504 0,30 | 0 Nor |
| Ethanol 70% ~ Ethanol 50% 1,627 1,494 3,504 0,84 | 4 Nor |
| Ethanol 50% ~ Methanol 50% 1,440 1,323 3,504 0,91 | 1 Nor |
| Ethanol 50% ~ Acetone 50% 1,080 0,992 3,504 0,98 | 2 Nor |
| Acetone 50% ~ Methanol 50% 0,360 0,331 3,504 1,00 | 0 Nor |
| Valeur critique du d de Tukey : 4,955 | |
| Modalités Moyenne Regroupements | |
| Ethanol 100% 23,960 A | |
| Methanol 100% 17,477 B | |
| Acetone 100% B C | |
| Acetone 70% 10,987 C D | |
| Methanol 70% 10,810 C D | |
| Ethanol 70% 9,187 D | E |
| Ethanol 50% 7,560 D Acetone 50% 6,480 | E E |
| Methanol 50% 6,120 | E |

Détermination de l'extrait le plus actif vis-à-vis des souches testées

ANOVA

 Modèle
 8
 3280,646
 410,081
 18,127
 < 0,0001</td>

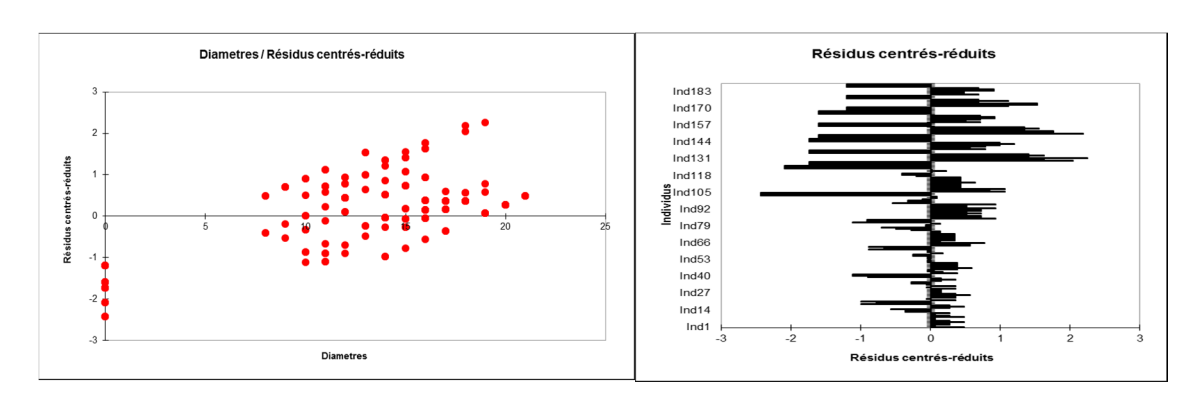
 Résidus
 180
 4072,095
 22,623

Total 188 7352,741

TESTS DE COMPARAISON MULTIPLE

| Modalités | Différence | Différence réduite | Valeur critique | Pr. > Diff | Significatif |
|------------------------------|------------|--------------------|-----------------|------------|--------------|
| Ethanol 100% ~ Acetone 50% | 13,000 | 8,857 | 3,140 | < 0,0001 | Ou |
| Ethanol 100% ~ Acetone 70% | 11,095 | 7,559 | 3,140 | < 0,0001 | Ou |
| Ethanol 100% ~ Acetone 100% | 10,429 | 7,105 | 3,140 | < 0,0001 | Ou |
| Ethanol 100% ~ Methanol 50% | 8,762 | 5,969 | 3,140 | < 0,0001 | Ou |
| Ethanol 100% ~ Methanol 70% | 7,143 | 4,866 | 3,140 | < 0,0001 | Ou |
| Ethanol 100% ~ Ethanol 50% | 4,524 | 3,082 | 3,140 | 0,059 | Nor |
| Ethanol 100% ~ Methanol 100% | 3,381 | 2,303 | 3,140 | 0,346 | Nor |
| Ethanol 100% ~ Ethanol 70% | 2,429 | 1,655 | 3,140 | 0,773 | Nor |
| Ethanol 70% ~ Acetone 50% | 10,571 | 7,202 | 3,140 | < 0,0001 | Ou |
| Ethanol 70% ~ Acetone 70% | 8,667 | 5,904 | 3,140 | < 0,0001 | Ou |
| Ethanol 70% ~ Acetone 100% | 8,000 | 5,450 | 3,140 | < 0,0001 | Ou |
| Ethanol 70% ~ Methanol 50% | 6,333 | 4,315 | 3,140 | 0,001 | Ou |
| Ethanol 70% ~ Methanol 70% | 4,714 | 3,212 | 3,140 | 0,041 | Ou |
| Ethanol 70% ~ Ethanol 50% | 2,095 | 1,427 | 3,140 | 0,886 | Nor |
| Ethanol 70% ~ Methanol 100% | 0,952 | 0,649 | 3,140 | 0,999 | Nor |
| Methanol 100% ~ Acetone 50% | 9,619 | 6,553 | 3,140 | < 0,0001 | Ou |
| Methanol 100% ~ Acetone 70% | 7,714 | 5,256 | 3,140 | < 0,0001 | Ou |
| Methanol 100% ~ Acetone 100% | 7,048 | 4,801 | 3,140 | 0,000 | Ou |
| Methanol 100% ~ Methanol 50% | 5,381 | 3,666 | 3,140 | 0,010 | Ou |
| Methanol 100% ~ Methanol 70% | 3,762 | 2,563 | 3,140 | 0,210 | Nor |
| Methanol 100% ~ Ethanol 50% | 1,143 | 0,779 | 3,140 | 0,997 | Nor |
| Ethanol 50% ~ Acetone 50% | 8,476 | 5,775 | 3,140 | < 0,0001 | Ou |
| Ethanol 50% ~ Acetone 70% | 6,571 | 4,477 | 3,140 | 0,000 | Ou |
| Ethanol 50% ~ Acetone 100% | 5,905 | 4,023 | 3,140 | 0,003 | Ou |
| Ethanol 50% ~ Methanol 50% | 4,238 | 2,887 | 3,140 | 0,099 | Nor |
| Ethanol 50% ~ Methanol 70% | 2,619 | 1,784 | 3,140 | 0,692 | Nor |
| Methanol 70% ~ Acetone 50% | 5,857 | 3,990 | 3,140 | 0,003 | Ou |
| Methanol 70% ~ Acetone 70% | 3,952 | 2,693 | 3,140 | 0,158 | Nor |
| Methanol 70% ~ Acetone 100% | 3,286 | 2,238 | 3,140 | 0,386 | Nor |
| Methanol 70% ~ Methanol 50% | 1,619 | 1,103 | 3,140 | 0,973 | Nor |
| Methanol 50% ~ Acetone 50% | 4,238 | 2,887 | 3,140 | 0,099 | Nor |
| Methanol 50% ~ Acetone 70% | 2,333 | 1,590 | 3,140 | 0,809 | Nor |
| Methanol 50% ~ Acetone 100% | 1,667 | 1,135 | 3,140 | 0,968 | Nor |
| Acetone 100% ~ Acetone 50% | 2,571 | 1,752 | 3,140 | 0,713 | Nor |
| Acetone 100% ~ Acetone 70% | 0,667 | 0,454 | 3,140 | 1,000 | Nor |
| Acetone 70% ~ Acetone 50% | 1,905 | 1,298 | 3,140 | 0,931 | Nor |

| Modalités | Moyenne | | Regro | oupements | | |
|---------------|---------|---|-------|-----------|---|---|
| Ethanol 100% | 18,714 | Α | | | | |
| Ethanol 70% | 16,286 | Α | | | | |
| Methanol 100% | 15,333 | Α | В | | | |
| Ethanol 50% | 14,190 | Α | В | С | | |
| Methanol 70% | 11,571 | | В | С | D | |
| Methanol 50% | 9,952 | | | С | D | E |
| Acetone 100% | 8,286 | | | | D | Е |
| Acetone 70% | 7,619 | | | | D | E |
| Acetone 50% | 5,714 | | | | | Е |



Détermination de l'ordre de sensibilité des souches testées en utilisant les diamètres des zones d'inhibition

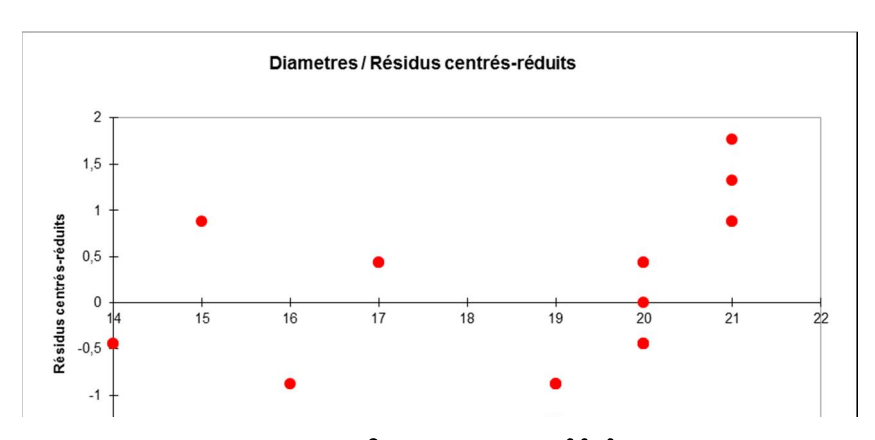
ANOVA

| Source | ddl | Somme des carrés | Carré moyen | F de Fisher | Pr > F |
|---------|-----|---------------------|----------------|----------------|----------|
| Modèle | 6 | 96,286 | 16,048 | 28,083 | < 0,0001 |
| Résidus | 14 | 8,000 | 0,571 | | |
| Total | 20 | 104,286 | | | |

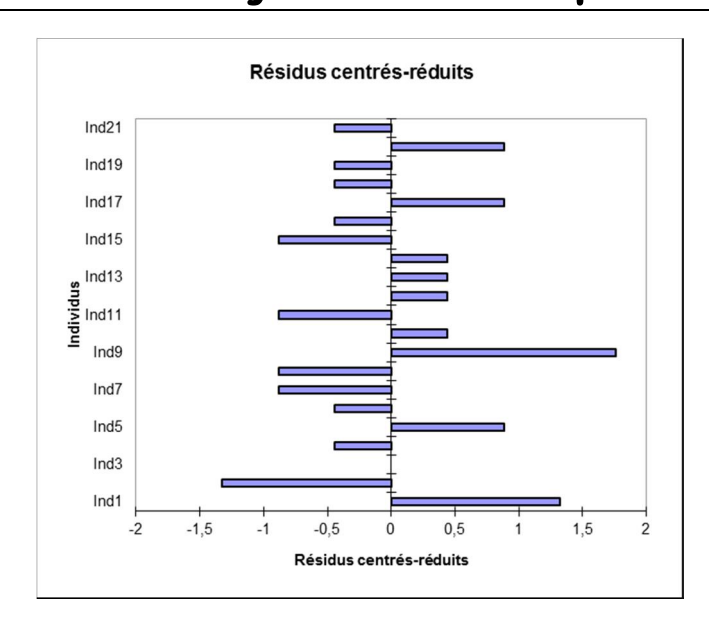
TESTS DE COMPARAISON MULTIPLE

| Tukey (HSD) / Analyse des dif | Tukey (HSD) / Analyse des différences entre les groupes avec un intervalle de confiance à 95,00 % : | | | | | | |
|---------------------------------|---|--------------------|-----------------|------------|--------------|--|--|
| Modalités | Différence | Différence réduite | Valeur critique | Pr. > Diff | Significatif | | |
| L. innocua ~ Trichoderma | 6,000 | 9,721 | 3,415 | 0,000 | Ou | | |
| L. innocua ~ A. flavus | 3,667 | 5,941 | 3,415 | 0,001 | Ou | | |
| L. innocua ~ S. aureus | 0,667 | 1,080 | 3,415 | 0,924 | Nor | | |
| L. innocua ~ P. aeruginosa | 0,667 | 1,080 | 3,415 | 0,924 | Nor | | |
| L. innocua ~ E.coli | 0,333 | 0,540 | 3,415 | 0,998 | Nor | | |
| L. innocua ~ A.niger | 0,000 | 0,000 | 3,415 | 1,000 | Nor | | |
| A.niger ~ Trichoderma | 6,000 | 9,721 | 3,415 | 0,000 | Ou | | |
| A.niger ~ A. flavus | 3,667 | 5,941 | 3,415 | 0,001 | Ou | | |
| A.niger ~ S. aureus | 0,667 | 1,080 | 3,415 | 0,924 | Nor | | |
| A.niger ~ P. aeruginosa | 0,667 | 1,080 | 3,415 | 0,924 | Nor | | |
| A.niger ~ E.coli | 0,333 | 0,540 | 3,415 | 0,998 | Nor | | |
| E.coli ~ Trichoderma | 5,667 | 9,181 | 3,415 | 0,000 | Ou | | |
| E.coli ~ A. flavus | 3,333 | 5,401 | 3,415 | 0,001 | Oui | | |
| E.coli ~ S. aureus | 0,333 | 0,540 | 3,415 | 0,998 | Nor | | |
| E.coli ~ P. aeruginosa | 0,333 | 0,540 | 3,415 | 0,998 | Nor | | |
| P. aeruginosa ~ Trichoderma | 5,333 | 8,641 | 3,415 | 0,000 | Ou | | |
| P. aeruginosa ~ A. flavus | 3,000 | 4,861 | 3,415 | 0,004 | Ou | | |
| P. aeruginosa ~ S. aureus | 0,000 | 0,000 | 3,415 | 1,000 | Nor | | |
| S. aureus ~ Trichoderma | 5,333 | 8,641 | 3,415 | 0,000 | Ou | | |
| S. aureus ~ A. flavus | 3,000 | 4,861 | 3,415 | 0,004 | Ou | | |
| A. flavus ~ Trichoderma | 2,333 | 3,780 | 3,415 | 0,026 | Ou | | |
| Valeur critique du d de Tukey . | : 4,829 | | | | | | |

| Modalités | Moyenne | Regroupements | | S |
|---------------|---------|---------------|---|---|
| L. innocua | 20,333 | Α | | |
| A.niger | 20,333 | Α | | |
| E.coli | 20,000 | Α | | |
| P. aeruginosa | 19,667 | Α | | |
| S. aureus | 19,667 | Α | | |
| A. flavus | 16,667 | | В | |
| Trichoderma | 14,333 | | | С |



Annexe IV Analyses statistiques



Détermination de la différence de sensibilité entre les Gram positif et négatif

ANOVA

| Source | ddl | Somme des carrés | Carré moyen | F de Fisher | Pr > F |
|---------|-----|------------------|-------------|-------------|--------|
| Modèle | 1 | 0,083 | 0,083 | 0,122 | 0,734 |
| Résidus | 10 | 6,833 | 0,683 | | |
| Total | 11 | 6,917 | | | |

TESTS DE COMPARAISON MULTIPLE

| Tukey (HSD) / Analyse des différences entre les groupes avec un intervalle de confiance à 95,00 % : | | | | | | |
|---|------------|--------------------|-----------------|------------|--------------|--|
| | | | | | | |
| Modalités | Différence | Différence réduite | Valeur critique | Pr. > Diff | Significatif | |
| Gram positif ~ Gram negatif | 0,167 | 0,349 | 2,228 | 0,734 | Non | |
| Valeur critique du d de Tukey : 3,151 | | | | | | |

| Classement et regroupements des groupes non significativement différents | | | | | |
|--|---------|---------------|--|--|--|
| | | | | | |
| Modalités | Moyenne | Regroupements | | | |
| Gram positif | 20,000 | Α | | | |
| Gram negatif | 19,833 | Α | | | |

Détermination de la différence de sensibilité entre les souches bactériennes et fongiques

ANOVA

| Source | ddl | Somme des carrés | Carré moyen | F de Fisher | Pr > F |
|--------|-----|------------------|-------------|-------------|--------|
| Modèle | 1 | 40,480 | 40,480 | 12,054 | 0,003 |

Annexe IV Analyses statistiques

TESTS DE COMPARAISON MULTIPLE

| Tukey (HSD) / Analyse des différences entre les groupes avec un intervalle de confiance à 95,00 % : | | | | | | | |
|---|------------|--------------------|-----------------|------------|--------------|--|--|
| | | | | | | | |
| Modalités | Différence | Différence réduite | Valeur critique | Pr. > Diff | Significatif | | |
| Bactérie ~ Champignoin | 2,806 | 3,472 | 2,093 | 0,003 | Oui | | |

| Classement et regroupements des groupes non significativement différents : | | | | | |
|--|---------|----------|--------|--|--|
| | | | | | |
| Modalités | Moyenne | Regroupe | ements | | |
| Bactérie | 19,917 | 7 A | | | |
| Champignoin | 17,111 | | В | | |

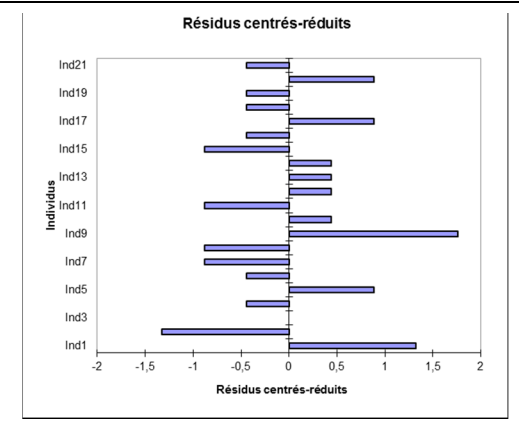
Détermination de l'ordre de sensibilité des souches testées en utilisant les

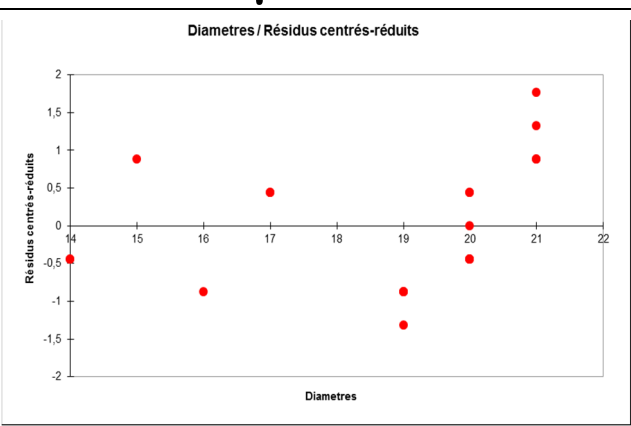
TESTS DE COMPARAISON MULTIPLE

| Tukey (HSD) / Analyse des différences entre les groupes avec un intervalle de confiance à 95,00 % : | | | | | |
|---|------------|-----------------------|-------------------|------------|--------------|
| | D:#4**** | Différence a médicite | Valous suiti suus | D= > D:# | Ciamifo atif |
| Modalités | Différence | Différence réduite | Valeur critique | Pr. > Diff | Significatif |
| L. innocua ~ Trichoderma | 6,000 | 9,721 | 3,415 | 0,000 | Oui |
| L. innocua ~ A. flavus | 3,667 | 5,941 | 3,415 | 0,001 | Oui |
| L. innocua ~ S. aureus | 0,667 | 1,080 | 3,415 | 0,924 | Non |
| L. innocua ~ P. aeruginosa | 0,667 | 1,080 | 3,415 | 0,924 | Non |
| L. innocua ~ E.coli | 0,333 | 0,540 | 3,415 | 0,998 | Non |
| L. innocua ~ A.niger | 0,000 | 0,000 | 3,415 | 1,000 | Non |
| A.niger ~ Trichoderma | 6,000 | 9,721 | 3,415 | 0,000 | Oui |
| A.niger ~ A. flavus | 3,667 | 5,941 | 3,415 | 0,001 | Oui |
| A.niger ~ S. aureus | 0,667 | 1,080 | 3,415 | 0,924 | Non |
| A.niger ~ P. aeruginosa | 0,667 | 1,080 | 3,415 | 0,924 | Non |
| A.niger ~ E.coli | 0,333 | 0,540 | 3,415 | 0,998 | Non |
| E.coli ~ Trichoderma | 5,667 | 9,181 | 3,415 | 0,000 | Oui |
| E.coli ~ A. flavus | 3,333 | 5,401 | 3,415 | 0,001 | Oui |
| E.coli ~ S. aureus | 0,333 | 0,540 | 3,415 | 0,998 | Non |
| E.coli ~ P. aeruginosa | 0,333 | 0,540 | 3,415 | 0,998 | Non |
| P. aeruginosa ~ Trichoderma | 5,333 | 8,641 | 3,415 | 0,000 | Oui |
| P. aeruginosa ~ A. flavus | 3,000 | 4,861 | 3,415 | 0,004 | Oui |
| P. aeruginosa ~ S. aureus | 0,000 | 0,000 | 3,415 | 1,000 | Non |
| S. aureus ~ Trichoderma | 5,333 | 8,641 | 3,415 | 0,000 | Oui |
| S. aureus ~ A. flavus | 3,000 | 4,861 | 3,415 | 0,004 | Oui |
| A. flavus ~ Trichoderma | 2,333 | 3,780 | 3,415 | 0,026 | Oui |
| Valeur critique du d de Tukey | : 4,829 | | | | |

| Classement et regroupements des groupes non significativement différents : | | | | | | |
|--|--------|---|--|--|--|--|
| | | | | | | |
| Modalités Moyenne Regroupements | | | | | | |
| L. innocua | 20,333 | А | | | | |
| A.niger | 20,333 | Α | | | | |
| E.coli | 20,000 | Α | | | | |
| P. aeruginosa | 19,667 | Α | | | | |
| _ | | | | | | |

Annexe IV Analyses statistiques





Détermination du meilleur système de séparation des composés phénoliques de Nulicaria odora par CCM

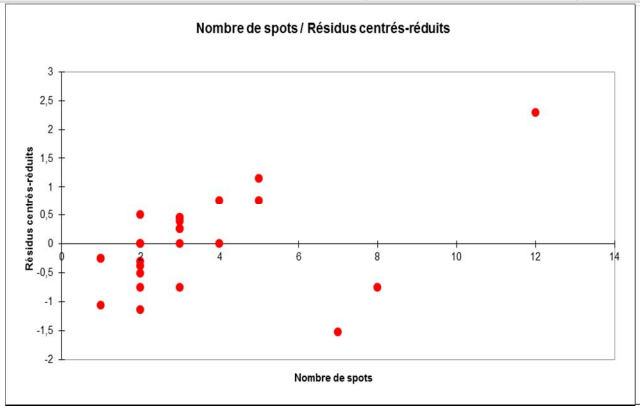
ANOVA

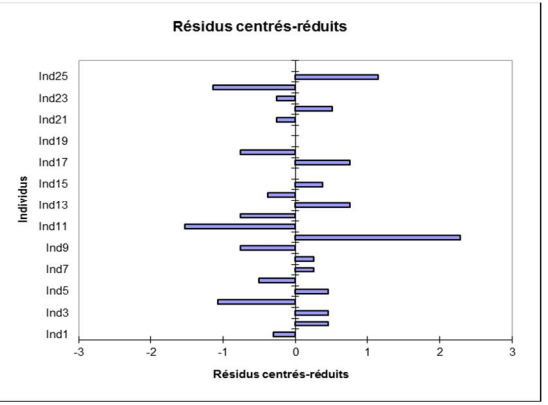
| | | Somme des | | | |
|---------|-----|-----------|-------------|-------------|----------------------|
| Source | ddl | carrés | Carré moyen | F de Fisher | Pr > F |
| Modèle | 9 | 120,621 | 13,402 | 7,788 | 0,0001 |
| Résidus | 16 | 27,533 | 1,721 | | |
| Total | 25 | 148,154 | | | |

TESTS DE COMPARAISON MULTIPLE

| Classement et regroupements des groupes non significativement différents : | | | | |
|--|---------|----|-------------|--|
| | | | | |
| Modalités | Moyenne | Re | groupements | |
| С | 9,000 | Α | | |
| F | 4,000 | | В | |
| 1 | 3,500 | | В | |
| J | 3,000 | | В | |
| D | 3,000 | | В | |
| В | 2,667 | | В | |
| E | 2,500 | | В | |
| Α | 2,400 | | В | |
| G | 2,000 | | В | |
| Н | 1,333 | | В | |

| Modalités | Différence | Différence réduite | Valeur critique | Pr. > Diff | Significatif |
|--------------|------------|--------------------|-----------------|------------|--------------|
| C ~ H | 7,667 | 7,158 | 3,641 | 0,001 | Oı |
| C ~ G | 7,000 | 5,845 | 3,641 | 0,001 | Οι |
| C ~ A | 6,600 | 6,889 | 3,641 | 0,000 | Οι |
| C ~ E | 6,500 | 5,428 | 3,641 | 0,002 | Oı |
| C ~ B | 6,333 | 5,913 | 3,641 | 0,001 | Ou |
| C ~ D | 6,000 | 5,010 | 3,641 | 0,004 | Ou |
| C ~ J | 6,000 | 3,961 | 3,641 | 0,027 | Ou |
| C ~ I | 5,500 | 4,593 | 3,641 | 0,008 | Οι |
| C ~ F | 5,000 | 4,668 | 3,641 | 0,007 | Οι |
| F ~ H | 2,667 | 2,490 | 3,641 | 0,341 | No |
| F ~ G | 2,000 | 1,670 | 3,641 | 0,796 | Noi |
| F ~ A | 1,600 | 1,670 | 3,641 | 0,796 | Noi |
| F~E | 1,500 | 1,253 | 3,641 | 0,951 | Noi |
| F ~ B | 1,333 | 1,245 | 3,641 | 0,953 | Noi |
| F ~ D | 1,000 | 0,835 | 3,641 | 0,997 | Noi |
| F ~ J | 1,000 | 0,660 | 3,641 | 0,999 | Noi |
| | 0,500 | 0,418 | 3,641 | 1,000 | Noi |
| I ~ H | 2,167 | 1,809 | 3,641 | 0,722 | Noi |
| I∼G | 1,500 | 1,143 | 3,641 | 0,972 | Noi |
| I ~ A | 1,100 | 1,002 | 3,641 | 0,988 | Noi |
| | 1,000 | 0,762 | 3,641 | 0,998 | Noi |
| I ~ B | 0,833 | 0,696 | 3,641 | 0,999 | Noi |
| . □ I ~ D | 0,500 | 0,381 | 3,641 | 1,000 | Noi |
| | 0,500 | 0,311 | 3,641 | 1,000 | Noi |
| J ~ H | 1,667 | 1,100 | 3,641 | 0,978 | Noi |
| J ~ G | 1,000 | 0,622 | 3,641 | 1,000 | No |
| J ~ A | 0,600 | 0,418 | 3,641 | 1,000 | No |
| J ~ E | 0,500 | 0,311 | 3,641 | 1,000 | Noi |
| J ~ B | 0,333 | 0,220 | 3,641 | 1,000 | Noi |
| J ~ D | 0,000 | 0,000 | 3,641 | 1,000 | Noi |
| D ~ H | 1,667 | 1,392 | 3,641 | 0,913 | Noi |
| D ~ G | 1,000 | 0,762 | 3,641 | 0,998 | Noi |
| D ~ A | 0,600 | 0,547 | 3,641 | 1,000 | Noi |
| D ~ E | 0,500 | 0,381 | 3,641 | 1,000 | Noi |
| D ~ B | 0,333 | 0,278 | 3,641 | 1,000 | Noi |
| B ~ H | 1,333 | 1,245 | 3,641 | 0,953 | Noi |
| B ~ G | 0,667 | 0,557 | 3,641 | 1,000 | Noi |
| B ~ A | 0,267 | 0,278 | 3,641 | 1,000 | No |
| B ~ E | 0,167 | 0,139 | 3,641 | 1,000 | No |
| E ~ H | 1,167 | 0,974 | 3,641 | 0,990 | No |
| E ~ G | 0,500 | 0,381 | 3,641 | 1,000 | No |
| E ~ A | 0,100 | 0,091 | 3,641 | 1,000 | No |
| A ~ H | 1,067 | 1,113 | 3,641 | 0,976 | No |
| A ~ G | 0,400 | 0,364 | 3,641 | 1,000 | No |
| G~H | 0,460 | 0,557 | 3,641 | 1,000 | Noi |





Résumé : Le but de cette étude est dœstimer la teneur en composés phénoliques dœune plante médicinale locale *Pulicaria odora*, ainsi que dœvaluer son activité antimicrobienne, et la séparation de leurs composés phénoliques par chromatographie sous vide sur colonne sèche. Le dosage des polyphénols totaux et flavonoïdes a montré la richesse de notre plante en ces derniers avec des valeurs allant jusquœ $158,38 \pm 0,60\,$ mg EQ Ac gallique/g et $23,96 \pm 1,55\,$ mg Eq Quercétine/g respectivement. Les tests dœactivité antimicrobienne on révélé une forte activité de *Pulicaria odora* vis-à-vis de toutes les souches testées. La séparation par chromatographie sur colonne sèche a permis de récupérer 35 fractions dont seulement quatre sont actives. Lænalyse des fractions actives par RP-HPLC a relevé une bonne efficacité de la séparation sous vide sur colonne sèche, avec des taux de purification allant jusquœ 71,94%.

Mots clés: Pulicaria odora, activité antimicrobienne, Chromatographie sous vide sur colonne sèche.

الملخص: الهدف من هذه الدراسة هو تقدير محتوى نبتة طبية محلية من المركبات الفينولية, وتحديد نشاطها ضد الجرثومي وكذلك فصل مركباتها الفينولية باستعمال كروماتوغرافيا العمود الجاف ذات الضغط المنخفض. تقدير متعددات الفينول و الفلافونويدات اظهر غنى هذه النبتة مع قيم حتى 158,38 مغ مك حمض الغاليك و 23,69 مغ مك كارسيتين على التوالي. اختبارات النشاط ضد الجرثومي اظهرت نشاط قوي للنبتة ضد كل العشائر المختبرة. الفصل بواسطة كروماتوغرافيا العمود الجاف, مكن من الحصول على 35 جزء حيث اربعة منها فقط ذات نشاط ضد جرثومي. تحليل الاجزاء النشطة باستعمال كروماتوغرافيا الطور السائل فائقة الاداء ذات الطور المقلوب اظهر فعالية كروماتوغرافيا العمود الجاف في فصل المركبات الفينولية مع درجة تنقية تصل الى 71,94

الكلمات المفتاحية:Pulicaria odora كروماتو غرافيا العمود الجاف ذات الضغط المنخفض , النشاط ضد الجرثومي

Abstract: The aim of this study is to estimate phenolic compounds content of an edible medicinal plant *Pulicaria odora*, and evaluate its antimicrobial activity, with a separation of its phenolic compounds using Dry Column Vacuum Chromatography (DCVC). Results showed the wroth of our plant in both polyphenols and flavonoids with values up to 158.38 ± 0.60 mg EQ Gallic Ac/g and 23.96 ± 1.55 mg Eq Quercetin/g. Antimicrobial tests revealed a strong activity of *Pulicaria odora* against all tested strains. Separation of polyphenols by dry column vacuum chromatography allowed recovering 35 fractions, which only four among them are active. Analysis of active fractions by RP-HPLC revealed good separation efficacy by DCVC with purification yield up to 71.94%.

Key words: Pulicaria odora, antimicrobial activity, Dry Column Vacuum Chromatography.

الحمد لله رب العالمين